

## **BAB V**

### **ANALISIS DAN PEMBAHASAN**

### **5.1 Analisis Potensi Likuifaksi**

### 5.1.1 Data Umum

Objek penelitian berada di Proyek Pembangunan *New Yogyakarta International Airport* (NYIA) yang berada di daerah Kulon Progo dapat dilihat pada Lampiran 7. Penelitian ini berfokus pada pembangunan landasan pacu bandara yang digunakan untuk pendaratan dan lepas landas pesawat dapat dilihat pada Lampiran 8. Pada bulan April sampai Juni 2017 telah dilakukan survei geoteknik. Adapun survei yang dilakukan meliputi:

1. Bor Dalam (bor mesin/*Deep Boring*) sebanyak 84 titik dengan interval SPT 2 meter. Pengeboran berhenti pada kedalaman 20 meter atau hingga didapat  $N_{SPT} > 50 \text{ blow}/30 \text{ cm}$  sebanyak 4 kali.
  2. Sondir Manual atau CPT (*Cone Penetration Test*) sebanyak 95 titik, dengan kedalaman maksimum 20 meter atau hingga nilai  $qc \leq 150 \text{ kg/cm}^2$ .
  3. *Test pit* sebanyak 5 titik dengan ukuran (1 m x 1 m x 1,5 m) untuk mengetahui keberadaan utilitas di daerah survei dan juga lapisan tanah.

Lokasi survei geoteknik dapat dilihat pada Gambar 5.1 dan Lampiran 3.

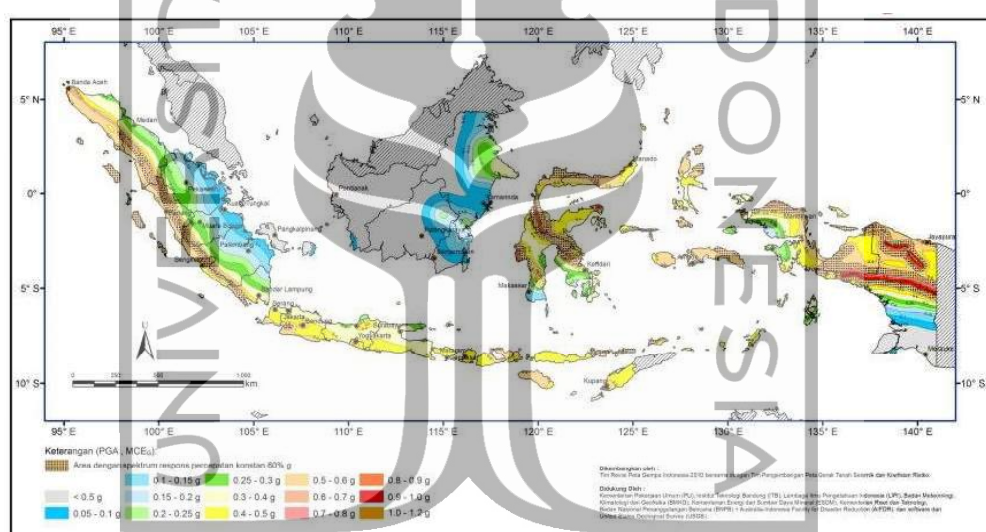


## **Gambar 5.1 Lokasi Survei Geoteknik**

### 5.1.2 Peta Wilayah Gempa

Untuk mengetahui potensi likuifaksi adalah dengan cara mendapatkan nilai faktor keamanan dari hasil perbandingan nilai yang mencerminkan kekuatan anah terhadap beban siklis yang biasanya diakibatkan oleh beban gempa bumi dengan nilai tegangan yang disebabkan oleh gempa bumi.

Nilai CSR sesuai dengan seberapa besar kekuatan gempa bumi yang terjadi pada suatu zona tertentu yang pada penelitian ini bertepatan di daerah Kulon Progo. Berdasarkan Peta Wilayah Gempa Indonesia SNI 1726-2012 daerah Kulon Progo mempunya nilai PGA sebesar 0,4 – 0,5 g dan diambil PGA = 0,4 g. Detailnya dapat dilihat pada Gambar 5.2 di bawah ini.



Gambar 5.2 Peta Wilayah Gempa Indonesia Menurut SNI 1726-2012  
(Sumber: SNI 1726-2012)

### 5.1.3 Data Tanah

Titik *deep boring* pada landasan pacu terdapat 6 titik yaitu DB-01, DB-02, DB-03, DB-04, DB-05, DB-06. Detail lokasi setiap titik *deep bore* pada landasan pacu dapat dilihat pada Lampiran 9 dan data tanah pada setiap titik *deep bore* dapat dilihat pada Tabel 5.1 berikut ini.

**Tabel 5.1 Data SPT**

| No. | <i>Bore Hole</i> | Koordinat |         | Kedalaman<br>(m) | MAT<br>(m) |
|-----|------------------|-----------|---------|------------------|------------|
|     |                  | X         | Y       |                  |            |
| 1   | DB-01            | 397818    | 9125420 | 14               | 3,2        |
| 2   | DB-02            | 397540    | 9125519 | 12               | 2,7        |
| 3   | DB-03            | 937246    | 9125626 | 14               | 3,77       |
| 4   | DB-04            | 396961    | 9125732 | 14               | 2,7        |
| 5   | DB-05            | 396695    | 9125825 | 12               | 2,2        |
| 6   | DB-06            | 396334    | 9125937 | 12               | 2,4        |

(Sumber : PPBIY, 2017)

Sampel titik sondir diambil sebanyak 6 titik yaitu CPT-01, CPT-02, CPT-03, CPT-07, CPT-09, CPT-11. Letak lokasi setiap sampel titik sondir dapat dilihat pada Lampiran 10 dan data tanah pada setiap titik dapat dilihat pada Tabel 5.2 berikut ini.

**Tabel 5.2 Data CPT**

| No. | <i>Bore Hole</i> | Kedalaman<br>(m) | MAT<br>(m) |
|-----|------------------|------------------|------------|
|     |                  |                  |            |
| 1   | CPT-01           | 5                | 5,0        |
| 2   | CPT-02           | 5,6              | 5,8        |
| 3   | CPT-03           | 4,2              | 4,4        |
| 4   | CPT-07           | 5                | 4,4        |
| 5   | CPT-09           | 4,8              | 5,2        |
| 6   | CPT-10           | 5                | 5,2        |

(Sumber : PPBIY)

#### 5.1.4 Analisis Data SPT

Dengan menggunakan program *Microsoft Excel* untuk memudahkan dalam analisis potensi likuifaksi dan ditunjukkan dalam bentuk grafik.

Contoh perhitungan *Bore Hole* DB-01.

Data DB-01 dapat dilihat pada Lampiran 1 dan Data tanah uji laboratorium dapat dilihat pada Lampiran 4.



Gambar 5.3 Lapisan Tanah DB-01

Data Umum :

Kedalaman lapisan (z) :

: 14 meter

Muka air tanah :

: 3,2 meter

 $a_{\max}$ 

: 0,4 g

Percepatan gravitasi (g)

:  $9,81 \text{ m/s}^2$ Berat volume air ( $\gamma_w$ ):  $9,81 \text{ kN/m}^3$ 1. Perhitungan tegangan efektif ( $\sigma'$ )

## a. Lapisan 1

$$\begin{aligned}\text{Tegangan total } (\sigma_1) &= h \times \gamma \\ &= 2 \times 12,438\end{aligned}$$

$$\begin{aligned}\text{Tekanan angka pori } (u) &= 0 \text{ kN/m}^2 \\ \text{Tegangan efektif } (\sigma'_1) &= \sigma - u \\ &= 24,876 - 0 \\ &= 24,876 \text{ kN/m}^2\end{aligned}$$

## b. Lapisan 2

$$\begin{aligned}\text{Tegangan total } (\sigma_2) &= \sigma_1 + (h \times \gamma) \\ &= 24,876 + (2 \times 13,711) \\ &= 52,298 \text{ kN/m}^2\end{aligned}$$

$$\text{Tekanan angka pori } (u) = h_w \times \gamma_w$$

$$= 0,8 \times 9,81 \\ = 7,848 \text{ kN/m}^2$$

$$\begin{aligned}\text{Tegangan efektif } (\sigma_2') &= \sigma - u \\ &= 52,298 - 7,848 \\ &= 44,45 \text{ kN/m}^2\end{aligned}$$

c. Lapisan 3

$$\begin{aligned}\text{Tegangan total } (\sigma_3) &= \sigma_2 + (h \times \gamma) \\ &= 52,298 + (2 \times 14,984) \\ &= 82,266 \text{ kN/m}^2\end{aligned}$$

$$\begin{aligned}\text{Tekanan angka pori } (u) &= h w \times \gamma w \\ &= 2,8 \times 9,81 \\ &= 27,468 \text{ kN/m}^2\end{aligned}$$

$$\begin{aligned}\text{Tegangan efektif } (\sigma_3') &= \sigma - u \\ &= 82,266 - 27,468 \\ &= 54,798 \text{ kN/m}^2\end{aligned}$$

d. Lapisan 4

$$\begin{aligned}\text{Tegangan total } (\sigma_4) &= \sigma_3 + (h \times \gamma) \\ &= 82,266 + (2 \times 14,984) \\ &= 112,234 \text{ kN/m}^2\end{aligned}$$

$$\begin{aligned}\text{Tekanan angka pori } (u) &= h w \times \gamma w \\ &= 4,8 \times 9,81\end{aligned}$$

$$\begin{aligned}\text{Tegangan efektif } (\sigma_4') &= \sigma - u \\ &= 112,234 - 47,088 \\ &= 65,146 \text{ kN/m}^2\end{aligned}$$

e. Lapisan 5

$$\begin{aligned}\text{Tegangan total } (\sigma_5) &= \sigma_4 + (h \times \gamma) \\ &= 82,266 + (2 \times 15,042) \\ &= 142,318 \text{ kN/m}^2\end{aligned}$$

$$\begin{aligned}\text{Tekanan angka pori } (u) &= h w \times \gamma w \\ &= 6,8 \times 9,81\end{aligned}$$

$$= 66,708 \text{ kN/m}^2$$

$$\begin{aligned}\text{Tegangan efektif } (\sigma_5') &= \sigma - u \\ &= 142,318 - 66,708 \\ &= 75,61 \text{ kN/m}^2\end{aligned}$$

f. Lapisan 6

$$\begin{aligned}\text{Tegangan total } (\sigma_6) &= \sigma_5 + (h \times \gamma) \\ &= 142,318 + (2 \times 15,099) \\ &= 172,516 \text{ kN/m}^2\end{aligned}$$

$$\begin{aligned}\text{Tekanan angka pori } (u) &= hw \times \gamma w \\ &= 8,8 \times 9,81 \\ &= 86,328 \text{ kN/m}^2 \\ \text{Tegangan efektif } (\sigma_6') &= \sigma - u \\ &= 172,516 - 86,328 \\ &= 86,188 \text{ kN/m}^2\end{aligned}$$

g. Lapisan 7

$$\begin{aligned}\text{Tegangan total } (\sigma_7) &= \sigma_6 + (h \times \gamma) \\ &= 172,516 + (2 \times 13,086) \\ &= 192,145 \text{ kN/m}^2 \\ \text{Tekanan angka pori } (u) &= hw \times \gamma w \\ &= 10,8 \times 9,81 \\ &= 101,043 \text{ kN/m}^2\end{aligned}$$

$$\begin{aligned}\text{Tegangan efektif } (\sigma_7') &= \sigma - u \\ &= 192,145 - 101,043 \\ &= 91,102 \text{ kN/m}^2\end{aligned}$$

2. Perhitungan nilai reduksi tegangan (rd)

Koefisien reduksi tegangan menunjukkan fleksibilitas profil tanah. Untuk menghitung harga rerata dari rd (Whitmann, 1986)

Syarat :

$$rd = 1,0 - 0,00765z \quad (\text{untuk } z \leq 9,15 \text{ m})$$

$$rd = 1,174 - 0,0267z \quad (\text{untuk } 9,15 < z \leq 23 \text{ m})$$

a. Lapisan 1

$$\begin{aligned} rd &= 1,0 - 0,00765 \times z \\ &= 1,0 - 0,00765 \times 2 \\ &= 0,9847 \end{aligned}$$

b. Lapisan 2

$$\begin{aligned} rd &= 1,0 - 0,00765 \times z \\ &= 1,0 - 0,00765 \times 4 \\ &= 0,9694 \end{aligned}$$

c. Lapisan 3

$$\begin{aligned} rd &= 1,0 - 0,00765 \times z \\ &= 1,0 - 0,00765 \times 6 \\ &= 0,9541 \end{aligned}$$

d. Lapisan 4

$$\begin{aligned} rd &= 1,0 - 0,00765 \times z \\ &= 1,0 - 0,00765 \times 8 \\ &= 0,939 \end{aligned}$$

e. Lapisan 5

$$\begin{aligned} rd &= 1,0 - 0,00765 \times z \\ &= 1,0 - 0,00765 \times 8 \\ &= 0,907 \end{aligned}$$

f. Lapisan 6

$$\begin{aligned} rd &= 1,174 - 0,0267 \times z \\ &= 1,174 - 0,0267 \times 10 \\ &= 0,8536 \end{aligned}$$

g. Lapisan 7

$$\begin{aligned} rd &= 1,174 - 0,0267 \times z \\ &= 1,174 - 0,0267 \times 12 \\ &= 0,8135 \end{aligned}$$

### 3. Perhitungan nilai *Cyclic Stress Ratio* (CSR)

Seed dan Idriss (1971) merumuskan suatu persamaan sebagai berikut :

$$\text{CSR} = \left( \frac{\tau_{av}}{\sigma'_{vo}} \right) = 0,65 \left( \frac{amax}{g} \right) \left( \frac{\sigma_{vo}}{\sigma_{vo'}} \right) rd$$

keterangan:

$a_{max}$  : percepatan gempa arah horizontal

$g$  : percepatan gravitasi

$\sigma_v$  : tegangan total dan tegangan efektif

$rd$  : koefisien reduksi tegangan

a. Lapisan 1

$$\begin{aligned} \text{CSR} &= 0,65 \left( \frac{amax}{g} \right) \left( \frac{\sigma_{v1}}{\sigma_{v1'}} \right) rd \\ &= 0,65 \times (0,4) \left( \frac{24,876}{24,876} \right) \times 0,9847 \\ &= 0,256 \end{aligned}$$

b. Lapisan 2

$$\begin{aligned} \text{CSR} &= 0,65 \left( \frac{amax}{g} \right) \left( \frac{\sigma_{v2}}{\sigma_{v2'}} \right) rd \\ &= 0,65 \times (0,4) \times \left( \frac{52,298}{44,45} \right) \times 0,9694 \\ &= 0,2965 \end{aligned}$$

c. Lapisan 3

$$\begin{aligned} \text{CSR} &= 0,65 \left( \frac{amax}{g} \right) \left( \frac{\sigma_{v3}}{\sigma_{v3'}} \right) rd \\ &= 0,65 \times (0,4) \times \left( \frac{82,266}{54,798} \right) \times 0,9541 \\ &= 0,3724 \end{aligned}$$

d. Lapisan 4

$$\begin{aligned} \text{CSR} &= 0,65 \left( \frac{amax}{g} \right) \left( \frac{\sigma_{v4}}{\sigma_{v4'}} \right) rd \\ &= 0,65 \times (0,4) \times \left( \frac{112,234}{65,146} \right) \times 0,939 \\ &= 0,4205 \end{aligned}$$

e. Lapisan 5

$$\text{CSR} = 0,65 \left( \frac{amax}{g} \right) \left( \frac{\sigma_{v5}}{\sigma_{v5'}} \right) rd$$

$$\begin{aligned}
 &= 0,65 \times (0,4) \times \left( \frac{66,708}{75,61} \right) \times 0,907 \\
 &= 0,4439
 \end{aligned}$$

f. Lapisan 6

$$\begin{aligned}
 \text{CSR} &= 0,65 \left( \frac{amax}{g} \right) \left( \frac{\sigma v 5}{\sigma v 5'} \right) rd \\
 &= 0,65 \times (0,4) \times \left( \frac{172,516}{86,188} \right) \times 0,8536 \\
 &= 0,4442
 \end{aligned}$$

g. Lapisan 7

$$\begin{aligned}
 \text{CSR} &= 0,65 \left( \frac{amax}{g} \right) \left( \frac{\sigma v 6}{\sigma v 6'} \right) rd \\
 &= 0,65 \times (0,4) \times \left( \frac{192,145}{91,102} \right) \times 0,8135 \\
 &= 0,4461
 \end{aligned}$$

4. Perhitungan nilai *Cyclic Resistance Ratio* (CRR)

Nilai CRR dapat dihitung dengan persamaan berikut:

$$CRR = \frac{1}{34 - (N_1)_{60}} + \frac{(N_1)_{60}}{135} + \frac{50}{(10 \times (N_1)_{60} + 45)^2} - \frac{1}{200}$$

keterangan:

$(N_1)_{60}$  : nilai N SPT yang dikoreksi terhadap prosedur pengujian lapangan

Persamaan tersebut valid untuk  $(N_1)_{60} < 30$ . Untuk  $(N_1)_{60} \geq 30$ , tanah halus terlalu padat untuk terjadi likuifaksi dan diklasifikasikan sebagai tanah yang tidak dapat terlikuifaksi. Sebelum memasuki rumus utama dari CRR terlebih dahulu harus menghitung nilai  $(N_1)_{60}$  menggunakan faktor-faktor koreksi yang terdapat di Tabel 5.3 serta persamaan berikut ini:

**Tabel 5.3 Koreksi Terhadap Nilai SPT**

| Faktor         | Variabel Alat | Simbol | Koreksi                                      |
|----------------|---------------|--------|--|
| Tegangan Total | -----         | $C_N$  | $\left( \frac{Pa}{\sigma vo'} \right)^{0,5}$ |
|                | -----         | $C_n$  |  |
| Rasio Energi   | Hammer Donat  | $C_E$  | 0,5 - 1,0                                    |

Lanjutan Tabel 5.3 Koreksi Terhadap Nilai SPT

| Faktor          | Variabel Alat    | Simbol         | Koreksi   |
|-----------------|------------------|----------------|-----------|
| Rasio Energi    | Safety Hammer    | C <sub>E</sub> | 0,7 - 1,2 |
|                 | Automatic Hammer | C <sub>E</sub> | 0,8 - 1,3 |
| Diameter Lubang | 65 - 115 mm      | C <sub>B</sub> | 1         |
|                 | 150 mm           | C <sub>B</sub> | 1,05      |
|                 | 200 mm           | C <sub>B</sub> | 1,15      |
| Panjang Rod     | < 3 m            | C <sub>R</sub> | 0,75      |
|                 | 3 - 4 m          | C <sub>R</sub> | 0,8       |
|                 | 4 - 6 m          | C <sub>R</sub> | 0,85      |
|                 | 6 - 10 m         | C <sub>R</sub> | 0,95      |
|                 | 10 - 30 m        | C <sub>R</sub> | 1         |
| Metode Sampling | Sampler Standard | C <sub>S</sub> | 1         |
|                 | Sampler Standard | C <sub>S</sub> | 1,1 - 1,3 |

(Sumber : Youd dan Idriss, 1997)

$$(N_1)_{60} = N_m \times C_E \times C_B \times C_R \times C_S$$

keterangan:

N<sub>m</sub> : faktor nilai SPT terukur

C<sub>N</sub> : faktor untuk menormalisasi N<sub>m</sub>

C<sub>E</sub> : faktor koreksi energi hammer (ER)

C<sub>B</sub> : faktor koreksi lubang bor

C<sub>R</sub> : faktor koreksi panjang batang

C<sub>S</sub> : faktor koreksi sampler

Diketahui:

Faktor rasio energi (C<sub>E</sub>) : 1,2 (Automatic Hammer)

Faktor diameter lubang (C<sub>B</sub>) : 1

Faktor panjang rod (C<sub>R</sub>) : 0,85

Faktor metode sampling (C<sub>S</sub>) : 1

#### a. Lapisan 1

$$\begin{aligned}
 (N_1)_{60} &= N_M \times C_E \times C_B \times C_R \times C_S \\
 &= (N \times C_N) \times C_E \times C_B \times C_R \times C_S \\
 &= \left\{ N \times \left( \frac{2,2}{1,2 + \frac{\sigma_{vo}}{P_A}} \right) \right\} \times C_E \times C_B \times C_R \times C_S
 \end{aligned}$$

$$= \left\{ 18 \times \left( \frac{2,2}{1,2 + \frac{24,876}{101,325}} \right) \right\} \times 1,2 \times 1 \times 0,85 \times 1 \\ = 27,9431$$

$$\text{CRR} = \frac{1}{34-(N1)60} + \frac{(N1)60}{135} + \frac{50}{(10 \times (N1)60 + )^2} - \frac{1}{200} \\ = \frac{1}{34-2,9431} + \frac{27,9431}{135} + \frac{50}{(10 \times 27,9431 + )^2} - \frac{1}{200} \\ = 0,3676$$

b. Lapisan 2

$$(N1)60 = N_M \times C_E \times C_B \times C_R \times C_S \\ = (N \times C_N) \times C_E \times C_B \times C_R \times C_S \\ = \left\{ N \times \left( \frac{2,2}{1,2 + \frac{\sigma_{vo}}{PA}} \right) \right\} \times C_E \times C_B \times C_R \times C_S \\ = \left\{ 12 \times \left( \frac{2,2}{1,2 + \frac{44,45}{101,325}} \right) \right\} \times 1,2 \times 1 \times 0,85 \times 1 \\ = 16,4327$$

$$\text{CRR} = \frac{1}{34-(N1)60} + \frac{(N1)60}{135} + \frac{50}{(10 \times (N1)60+45)^2} - \frac{1}{200} \\ = \frac{1}{34-16,4327} + \frac{16,4327}{135} + \frac{50}{(10 \times 16,4327+45)^2} - \frac{1}{200} \\ = 0,1748$$

c. Lapisan 3

$$(N1)60 = N_M \times C_E \times C_B \times C_R \times C_S \\ = (N \times C_N) \times C_E \times C_B \times C_R \times C_S \\ = \left\{ N \times \left( \frac{2,2}{1,2 + \frac{\sigma_{vo}}{PA}} \right) \right\} \times C_E \times C_B \times C_R \times C_S \\ = \left\{ 19 \times \left( \frac{2,2}{1,2 + \frac{54,798}{101,325}} \right) \right\} \times 1,2 \times 1 \times 0,85 \times 1 \\ = 24,4920$$

$$\text{CRR} = \frac{1}{34-(N1)60} + \frac{(N1)60}{135} + \frac{50}{(10 \times (N1)60+45)^2} - \frac{1}{200} \\ = \frac{1}{34-2,4920} + \frac{24,4920}{135} + \frac{50}{(10 \times 24,4920+ )^2} - \frac{1}{200} \\ = 0,2822$$

d. Lapisan 4

$$\begin{aligned}
 (N_1)_{60} &= N_M \times C_E \times C_B \times C_R \times C_S \\
 &= (N \times C_N) \times C_E \times C_B \times C_R \times C_S \\
 &= \left\{ N \times \left( \frac{2,2}{1,2 + \frac{\sigma_{vvo}}{PA}} \right) \right\} \times C_E \times C_B \times C_R \times C_S \\
 &= \left\{ 85 \times \left( \frac{2,2}{1,2 + \frac{65,146}{101,325}} \right) \right\} \times 1,2 \times 1 \times 0,85 \times 1 \\
 &= 103,4976 \\
 CRR &= \frac{1}{34 - (N_1)_{60}} + \frac{(N_1)_{60}}{135} + \frac{50}{(10 \times (N_1)_{60} + 45)^2} - \frac{1}{200} \\
 &= \frac{1}{34 - 103,4976} + \frac{103,4976}{135} + \frac{50}{(10 \times 103,4976 + 45)^2} - \frac{1}{200} \\
 &= 0,7473
 \end{aligned}$$

e. Lapisan 5

$$\begin{aligned}
 (N_1)_{60} &= N_M \times C_E \times C_B \times C_R \times C_S \\
 &= (N \times C_N) \times C_E \times C_B \times C_R \times C_S \\
 &= \left\{ N \times \left( \frac{2,2}{1,2 + \frac{\sigma_{vvo}}{PA}} \right) \right\} \times C_E \times C_B \times C_R \times C_S \\
 &= \left\{ 50 \times \left( \frac{2,2}{1,2 + \frac{75,61}{101,325}} \right) \right\} \times 1,2 \times 1 \times 0,85 \times 1 \\
 &= 57,6504 \\
 CRR &= \frac{1}{34 - (N_1)_{60}} + \frac{(N_1)_{60}}{135} + \frac{50}{(10 \times (N_1)_{60} + 45)^2} - \frac{1}{200} \\
 &= \frac{1}{34 - 57,6504} + \frac{57,6504}{135} + \frac{50}{(10 \times 57,6504 + 45)^2} - \frac{1}{200} \\
 &= 0,3799
 \end{aligned}$$

f. Lapisan 6

$$\begin{aligned}
 (N_1)_{60} &= N_M \times C_E \times C_B \times C_R \times C_S \\
 &= (N \times C_N) \times C_E \times C_B \times C_R \times C_S \\
 &= \left\{ N \times \left( \frac{2,2}{1,2 + \frac{\sigma_{vvo}}{PA}} \right) \right\} \times C_E \times C_B \times C_R \times C_S \\
 &= \left\{ 50 \times \left( \frac{2,2}{1,2 + \frac{86,188}{101,325}} \right) \right\} \times 1,2 \times 1 \times 0,85 \times 1 \\
 &= 54,7154
 \end{aligned}$$

$$\begin{aligned}
 CRR &= \frac{1}{34-(N1)60} + \frac{(N1)60}{135} + \frac{50}{(10 \times (N1)60+4)^2} - \frac{1}{200} \\
 &= \frac{1}{34-5,7154} + \frac{54,7154}{135} + \frac{50}{(10 \times 54,7154+45)^2} - \frac{1}{200} \\
 &= 0,3522
 \end{aligned}$$

g. Lapisan 7

$$\begin{aligned}
 (N1)_{60} &= N_M \times C_E \times C_B \times C_R \times C_S \\
 &= (N \times C_N) \times C_E \times C_B \times C_R \times C_S \\
 &= \left\{ N \times \left( \frac{2,2}{1,2 + \frac{\sigma_{vo}}{PA}} \right) \right\} \times C_E \times C_B \times C_R \times C_S \\
 &= \left\{ 50 \times \left( \frac{2,2}{1,2 + \frac{91,102}{101,325}} \right) \right\} \times 1,2 \times 1 \times 0,85 \times 1 \\
 &= 53,4513 \\
 CRR &= \frac{1}{34-(N1)60} + \frac{(N1)60}{135} + \frac{50}{(10 \times (N1)60+45)^2} - \frac{1}{200} \\
 &= \frac{1}{34-53,4513} + \frac{53,4513}{135} + \frac{50}{(10 \times 53,4513+45)^2} - \frac{1}{200} \\
 &= 0,3397
 \end{aligned}$$

5. Perhitungan nilai FS

FS adalah nilai yang menunjukkan potensi likuifaksi pada umumnya dituliskan dengan  $FS = \frac{CRR}{CSR}$ , dimana:

Jika  $FS = \frac{CRR}{CSR} < 1$  berarti terjadi likuifaksi

Jika  $FS = \frac{CRR}{CSR} > 1$  berarti kondisi kritis

Jika  $FS = \frac{CRR}{CSR} > 1$  berarti tidak terjadi likuifaksi

a. Lapisan 1

$$\begin{aligned}
 FS &= \frac{CRR}{CSR} \\
 &= \frac{0,3676}{0,2560} \\
 &= 1,4357 \text{ (tidak terjadi likuifaksi)}
 \end{aligned}$$

b. Lapisan 2

$$FS = \frac{CRR}{CSR}$$

$$= \frac{0,1748}{0,2965} \\ = 0,5894 \text{ (terjadi likuifaksi)}$$

c. Lapisan 3

$$FS = \frac{CRR}{CSR}$$

$$= \frac{0,2822}{0,3724}$$

$$= 0,7577 \text{ (terjadi likuifaksi)}$$

d. Lapisan 4

$$FS = \frac{CRR}{CSR}$$

$$= \frac{0,7473}{0,4205}$$

$$= 1,7771 \text{ (tidak terjadi likuifaksi)}$$

e. Lapisan 5

$$FS = \frac{CRR}{CSR}$$

$$= \frac{0,3799}{0,4439}$$

$$= 0,8558 \text{ (tidak terjadi likuifaksi)}$$

f. Lapisan 6

$$FS = \frac{CRR}{CSR}$$

$$= \frac{0,3522}{0,4442}$$

$$= 0,7928 \text{ (tidak terjadi likuifaksi)}$$

g. Lapisan 7

$$FS = \frac{CRR}{CSR}$$

$$= \frac{0,3397}{0,4461}$$

$$= 0,7614 \text{ (tidak terjadi likuifaksi)}$$

Berikut hasil dari pengolahan data SPT yang berisikan perhitungan potensi likuifaksi dengan menggunakan program *Microsoft Excel* dalam bentuk tabel dan grafik. Hasil dalam bentuk grafik berisikan sumbu x yang terdiri dari 3 variabel yaitu nilai CSR, CRR, dan FS dan pada sumbu y merupakan kedalaman titik uji *bore hole* pada SPT.

a. *Bore Hole DB-01*

Perhitungan potensi likuifaksi pada titik *Bore Hole* DB-01 dapat dilihat pada Tabel 5.4, Tabel 5.5, Tabel 5.6 dan Gambar 5.4 berikut ini.

**Tabel 5.4 Perhitungan CSR DB-01**

| Lapisan | Kedalaman | Beda Tinggi | Jenis Tanah | (amax/g) | rd     | $\gamma d$ | Tegangan Total ( $\sigma$ ) | Angka Pori (u) | Tegangan efektif ( $\sigma'$ ) | $(\sigma/\sigma')$ | CSR    |
|---------|-----------|-------------|-------------|----------|--------|------------|-----------------------------|----------------|--------------------------------|--------------------|--------|
| 1       | 2         | 2           | coarse SAND | 0,4      | 0,9847 | 12,438     | 24,876                      | 0              | 24,876                         | 1                  | 0,2560 |
| 2       | 4         | 2           | fine SAND   | 0,4      | 0,9694 | 13,711     | 52,298                      | 7,848          | 44,45                          | 1,176558           | 0,2965 |
| 3       | 6         | 2           | coarse SAND | 0,4      | 0,9541 | 14,984     | 82,266                      | 27,468         | 54,798                         | 1,501259           | 0,3724 |
| 4       | 8         | 2           | coarse SAND | 0,4      | 0,939  | 14,984     | 112,234                     | 47,088         | 54,798                         | 2,04814            | 0,4205 |
| 5       | 10        | 2           | fine GRAVEL | 0,4      | 0,907  | 15,042     | 142,318                     | 66,708         | 75,61                          | 1,882264           | 0,4439 |
| 6       | 12        | 2           | coarse SAND | 0,4      | 0,8536 | 15,099     | 172,516                     | 86,328         | 86,188                         | 2,001624           | 0,4442 |
| 7       | 14        | 1,5         | coarse SAND | 0,4      | 0,8135 | 13,086     | 192,145                     | 101,043        | 91,102                         | 2,109119           | 0,4461 |

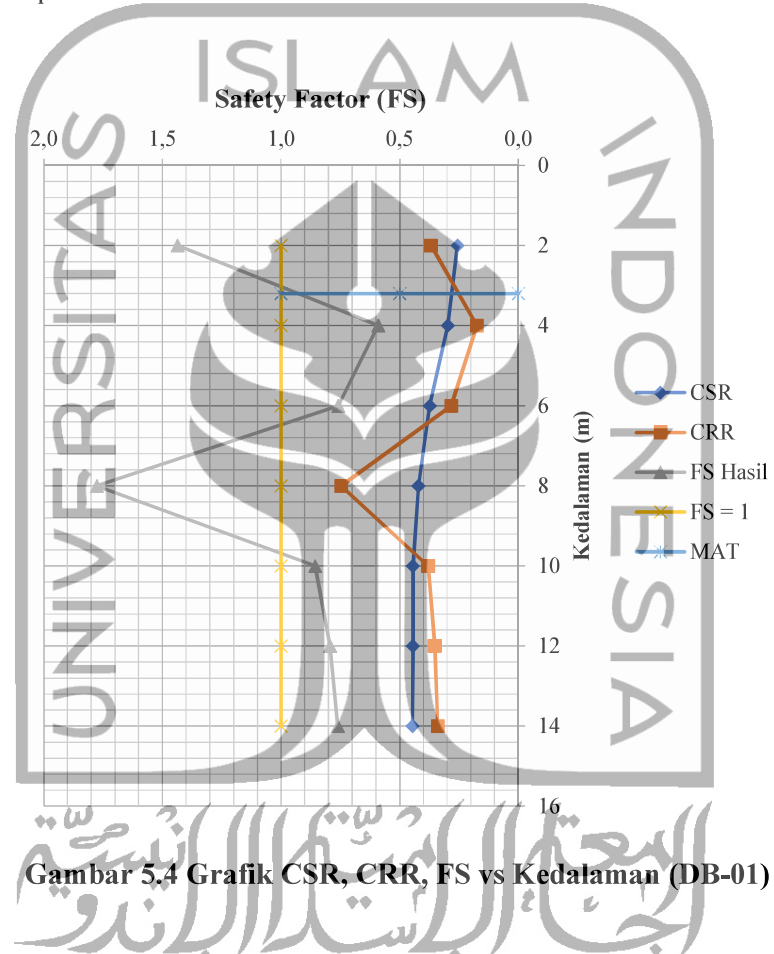
**Tabel 5.5 Perhitungan CRR DB-01**

| Lapisan | Kedalaman (m) | Beda Tinggi (m) | Jenis Tanah | N-SPT |    | Faktor koreksi (N1)60 |     |    |      |    | (N1)60   | CRR    |
|---------|---------------|-----------------|-------------|-------|----|-----------------------|-----|----|------|----|----------|--------|
|         |               |                 |             |       |    | Cn                    | Ce  | Cb | Cr   | Cs |          |        |
| 1       | 2             | 2               | coarse SAND | 18    | 30 | 1,513417              | 1,2 | 1  | 0,85 | 1  | 27,94314 | 0,3676 |
| 2       | 4             | 2               | fine SAND   | 12    | 30 | 1,330701              | 1,2 | 1  | 0,85 | 1  | 16,43266 | 0,1748 |
| 3       | 6             | 2               | coarse SAND | 19    | 30 | 1,250864              | 1,2 | 1  | 0,85 | 1  | 24,49199 | 0,2822 |
| 4       | 8             | 2               | coarse SAND | 85    | 23 | 1,180065              | 1,2 | 1  | 0,85 | 1  | 103,4976 | 0,7473 |
| 5       | 10            | 2               | fine GRAVEL | 50    | 3  | 1,11618               | 1,2 | 1  | 0,85 | 1  | 57,65043 | 0,3799 |
| 6       | 12            | 2               | coarse SAND | 50    | 8  | 1,058266              | 1,2 | 1  | 0,85 | 1  | 54,71544 | 0,3522 |
| 7       | 14            | 1,5             | coarse SAND | 50    | 17 | 1,033358              | 1,2 | 1  | 0,85 | 1  | 53,45131 | 0,3397 |

**Tabel 5.6 Hasil Analisis Potensi Likuifaksi DB-01**

| Lapisan | Kedalaman | Beda Tinggi (m) | Jenis Tanah (m) | CSR    | CRR    | FS     | FS = 1 | STATUS                   |
|---------|-----------|-----------------|-----------------|--------|--------|--------|--------|--------------------------|
| 1       | 2         | 2               | coarse SAND     | 0,2560 | 0,3676 | 1,4357 | 1,0000 | Tidak Terjadi Likuifaksi |
| 2       | 4         | 2               | fine SAND       | 0,2965 | 0,1748 | 0,5894 | 1,0000 | Terjadi Likuifaksi       |
| 3       | 6         | 2               | coarse SAND     | 0,3724 | 0,2822 | 0,7577 | 1,0000 | Terjadi Likuifaksi       |
| 4       | 8         | 2               | coarse SAND     | 0,4205 | 0,7473 | 1,7771 | 1,0000 | Tidak Terjadi Likuifaksi |
| 5       | 10        | 2               | fine GRAVEL     | 0,4439 | 0,3799 | 0,8558 | 1,0000 | Tidak Terjadi Likuifaksi |
| 6       | 12        | 2               | coarse SAND     | 0,4442 | 0,3522 | 0,7928 | 1,0000 | Tidak Terjadi Likuifaksi |
| 7       | 14        | 1,5             | coarse SAND     | 0,4461 | 0,3397 | 0,7614 | 1,0000 | Tidak Terjadi Likuifaksi |

Berdasarkan pada hasil perhitungan SPT di titik DB-01 didapatkan grafik seperti pada Gambar 5.4 yang berisikan sumbu x terdiri dari 3 variabel yaitu nilai CSR, CRR, dan FS dan pada sumbu y merupakan kedalaman titik uji *bore hole* pada SPT. Dimana apabila nilai FS kurang dari 1 menunjukkan bahwa pada kedalaman tersebut mengalami potensi likuifaksi. Pada titik ini potensi likuifaksi terjadi di lapisan tanah 2 dan 3 di kedalaman 4 – 6 meter.



b. *Bore Hole* DB-02

Perhitungan potensi likuifaksi pada titik *Bore Hole* DB-02 dapat dilihat pada Tabel 5.7, Tabel 5.8, Tabel 5.9 dan Gambar 5.5 berikut ini.

Tabel 5.7 Perhitungan CSR DB-02

| Lapisan | Kedalaman | Beda Tinggi | Jenis Tanah                | $\gamma_{\text{d}} (\text{amax/g})$ | $r_d$  | $\gamma_d$ | Tegangan Total ( $\sigma$ ) | Angka Pori (u) | Tegangan efektif ( $\sigma'$ ) | $(\sigma/\sigma')$ | CSR    |
|---------|-----------|-------------|----------------------------|-------------------------------------|--------|------------|-----------------------------|----------------|--------------------------------|--------------------|--------|
| 1       | 2         | 2           | fine SAND                  | 0,4                                 | 0,9847 | 11,494     | 22,988                      | 0              | 22,988                         | 1                  | 0,2560 |
| 2       | 4         | 2           | fine SAND                  | 0,4                                 | 0,9694 | 11,494     | 45,976                      | 12,753         | 33,223                         | 1,3839             | 0,3488 |
| 3       | 6         | 2           | fine SAND                  | 0,4                                 | 0,9541 | 13,348     | 72,672                      | 32,373         | 40,299                         | 1,8033             | 0,4473 |
| 4       | 8         | 2           | fine SAND                  | 0,4                                 | 0,9388 | 13,348     | 99,368                      | 51,993         | 40,299                         | 2,4658             | 0,5120 |
| 5       | 10        | 2           | fine SAND                  | 0,4                                 | 0,907  | 13,406     | 126,18                      | 71,613         | 54,567                         | 2,3124             | 0,5453 |
| 6       | 12        | 2           | fine SAND with fine gravel | 0,4                                 | 0,8536 | 14,661     | 155,502                     | 91,233         | 64,269                         | 2,4195             | 0,5370 |

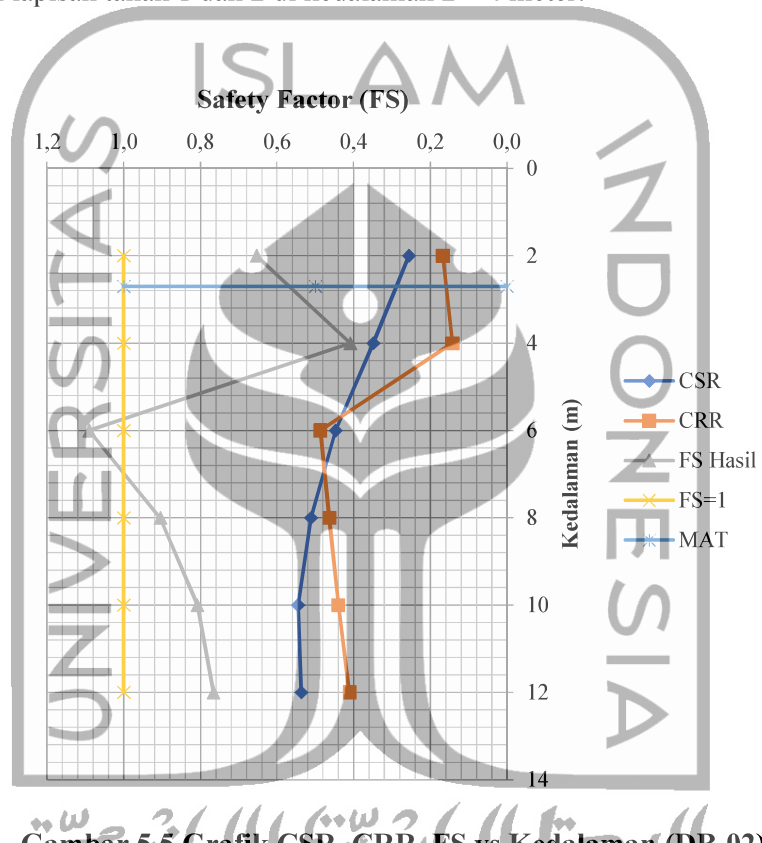
**Tabel 5.8 Perhitungan CRR DB-02**

| Lapisan | Kedalaman (m) | Beda Tinggi (m) | Jenis Tanah | N-SPT |    | Faktor koreksi (N1)60 |     |    |      |    | (N1)60   | CRR    |
|---------|---------------|-----------------|-------------|-------|----|-----------------------|-----|----|------|----|----------|--------|
|         |               |                 |             |       |    | Cn                    | Ce  | Cb | Cr   | Cs |          |        |
| 1       | 2             | 2               | coarse SAND | 18    | 30 | 1,533729              | 1,2 | 1  | 0,85 | 1  | 15,72669 | 0,1674 |
| 2       | 4             | 2               | fine SAND   | 12    | 30 | 1,429704              | 1,2 | 1  | 0,85 | 1  | 13,21827 | 0,1426 |
| 3       | 6             | 2               | coarse SAND | 19    | 30 | 1,365666              | 1,2 | 1  | 0,85 | 1  | 70,22506 | 0,4877 |
| 4       | 8             | 2               | coarse SAND | 85    | 23 | 1,307119              | 1,2 | 1  | 0,85 | 1  | 67,28414 | 0,4635 |
| 5       | 10            | 2               | fine GRAVEL | 50    | 3  | 1,252542              | 1,2 | 1  | 0,85 | 1  | 64,53712 | 0,4404 |
| 6       | 12            | 2               | coarse SAND | 50    | 8  | 1,185753              | 1,2 | 1  | 0,85 | 1  | 61,16822 | 0,4114 |

**Tabel 5.9 Hasil Analisis Potensi Likuifaksi DB-02**

| Lapisan | Kedalaman | Beda Tinggi (m) | Jenis Tanah (m) | CSR    | CRR    | FS     | FS=1   | STATUS                   |
|---------|-----------|-----------------|-----------------|--------|--------|--------|--------|--------------------------|
| 1       | 2         | 2               | coarse SAND     | 0,2560 | 0,1674 | 0,6540 | 1,0000 | Terjadi Likuifaksi       |
| 2       | 4         | 2               | fine SAND       | 0,3488 | 0,1426 | 0,4089 | 1,0000 | Terjadi Likuifaksi       |
| 3       | 6         | 2               | coarse SAND     | 0,4473 | 0,4877 | 1,0901 | 1,0000 | Tidak Terjadi Likuifaksi |
| 4       | 8         | 2               | coarse SAND     | 0,5120 | 0,4635 | 0,9052 | 1,0000 | Tidak Terjadi Likuifaksi |
| 5       | 10        | 2               | fine GRAVEL     | 0,5453 | 0,4404 | 0,8076 | 1,0000 | Tidak Terjadi Likuifaksi |
| 6       | 12        | 2               | coarse SAND     | 0,5370 | 0,4114 | 0,7661 | 1,0000 | Tidak Terjadi Likuifaksi |

Berdasarkan pada hasil perhitungan SPT di titik DB-02 didapatkan grafik seperti pada Gambar 5.5 yang berisikan sumbu x terdiri dari 3 variabel yaitu nilai CSR, CRR, dan FS dan pada sumbu y merupakan kedalaman titik uji *bore hole* pada SPT. Dimana apabila nilai FS kurang dari 1 menunjukkan bahwa pada kedalaman tersebut mengalami potensi likuifaksi. Pada titik ini potensi likuifaksi terjadi di lapisan tanah 1 dan 2 di kedalaman 2 – 4 meter.



Gambar 5.5 Grafik CSR, CRR, FS vs Kedalaman (DB-02)

c. *Bore Hole* DB-03

Perhitungan potensi likuifaksi pada titik *Bore Hole* DB-03 dapat dilihat pada Tabel 5.10, Tabel 5.11, Tabel 5.12 dan Gambar 5.6 berikut ini.

Tabel 5.10 Perhitungan CSR DB-03

| Lapisan | Kedalaman | Beda Tinggi | Jenis Tanah | (amax/g) | rd     | $\gamma_d$ | Tegangan Total ( $\sigma$ ) | Angka Pori (u) | Tegangan efektif ( $\sigma'$ ) | $(\sigma/\sigma')$ | CSR    |
|---------|-----------|-------------|-------------|----------|--------|------------|-----------------------------|----------------|--------------------------------|--------------------|--------|
| 1       | 2         | 2           | coarse SAND | 0,4      | 0,9847 | 12,648     | 25,296                      | 0              | 25,296                         | 1                  | 0,2560 |
| 2       | 4         | 2           | fine SAND   | 0,4      | 0,9694 | 12,648     | 50,592                      | 2,2563         | 48,3357                        | 1,04668            | 0,2638 |
| 3       | 6         | 2           | coarse SAND | 0,4      | 0,9541 | 13,194     | 76,98                       | 21,8763        | 55,1037                        | 1,397002           | 0,3465 |
| 4       | 8         | 2           | coarse SAND | 0,4      | 0,939  | 13,194     | 103,368                     | 41,4963        | 55,1037                        | 1,875881           | 0,4078 |
| 5       | 10        | 2           | fine GRAVEL | 0,4      | 0,907  | 14,052     | 131,472                     | 61,1163        | 70,3557                        | 1,868676           | 0,4407 |
| 6       | 12        | 2           | coarse SAND | 0,4      | 0,8536 | 16,34      | 164,152                     | 80,7363        | 83,4157                        | 1,967879           | 0,4367 |
| 7       | 14        | 1,5         | coarse SAND | 0,4      | 0,8002 | 16,34      | 196,832                     | 100,3563       | 96,4757                        | 2,040224           | 0,4245 |

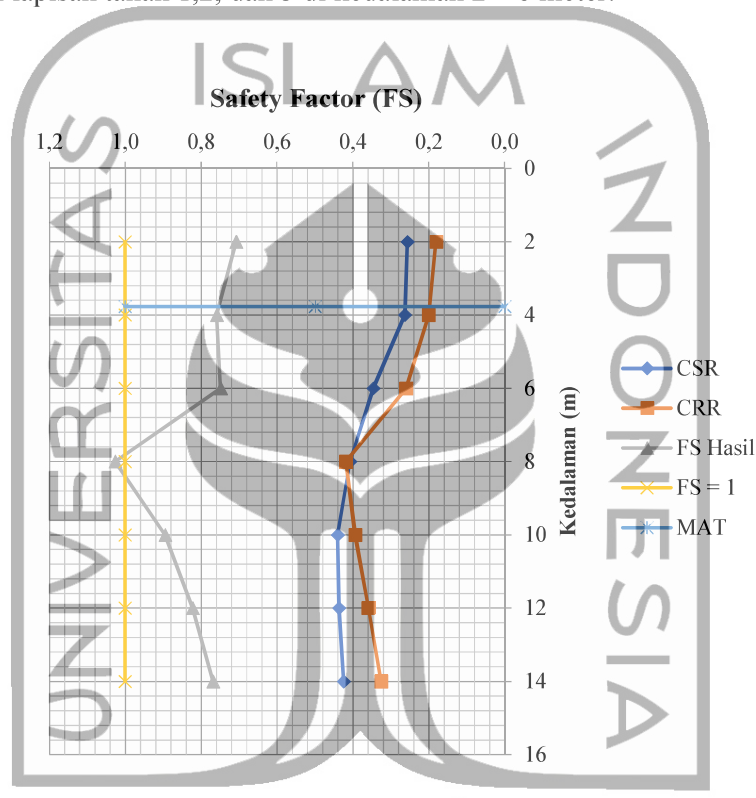
**Tabel 5.11 Perhitungan CRR DB-03**

| Lapisan | Kedalaman (m) | Beda Tinggi (m) | Jenis Tanah                | N-SPT |    | Faktor koreksi (N1)60 |     |    |      |    | (N1)60   | CRR    |
|---------|---------------|-----------------|----------------------------|-------|----|-----------------------|-----|----|------|----|----------|--------|
|         |               |                 |                            |       |    | Cn                    | Ce  | Cb | Cr   | Cs |          |        |
| 1       | 2             | 2               | fine SAND                  | 18    | 30 | 1,508971              | 1,2 | 1  | 0,85 | 1  | 17,02753 | 0,1811 |
| 2       | 4             | 2               | fine SAND                  | 12    | 30 | 1,299555              | 1,2 | 1  | 0,85 | 1  | 18,73305 | 0,2002 |
| 3       | 6             | 2               | fine SAND                  | 19    | 30 | 1,248651              | 1,2 | 1  | 0,85 | 1  | 23,16279 | 0,2595 |
| 4       | 8             | 2               | fine SAND                  | 85    | 23 | 1,201585              | 1,2 | 1  | 0,85 | 1  | 61,96751 | 0,4184 |
| 5       | 10            | 2               | fine SAND with some gravel | 50    | 3  | 1,14737               | 1,2 | 1  | 0,85 | 1  | 59,22855 | 0,3942 |
| 6       | 12            | 2               | medium GRAVEL              | 50    | 8  | 1,072855              | 1,2 | 1  | 0,85 | 1  | 55,45536 | 0,3593 |
| 7       | 14            | 1,5             | medium GRAVEL              | 50    | 17 | 1,007428              | 1,2 | 1  | 0,85 | 1  | 52,13413 | 0,3262 |

**Tabel 5.12 Hasil Analisis Potensi Likuifaksi DB-03**

| Lapisan | Kedalaman | Beda Tinggi (m) | Jenis Tanah (m) | CSR    | CRR    | FS     | FS=1   | STATUS                   |
|---------|-----------|-----------------|-----------------|--------|--------|--------|--------|--------------------------|
| 1       | 2         | 2               | coarse SAND     | 0,2560 | 0,1811 | 0,7075 | 1,0000 | Terjadi Likuifaksi       |
| 2       | 4         | 2               | fine SAND       | 0,2638 | 0,2002 | 0,7588 | 1,0000 | Terjadi Likuifaksi       |
| 3       | 6         | 2               | coarse SAND     | 0,3465 | 0,2595 | 0,7488 | 1,0000 | Terjadi Likuifaksi       |
| 4       | 8         | 2               | coarse SAND     | 0,4078 | 0,4184 | 1,0260 | 1,0000 | Tidak Terjadi Likuifaksi |
| 5       | 10        | 2               | fine GRAVEL     | 0,4407 | 0,3942 | 0,8946 | 1,0000 | Tidak Terjadi Likuifaksi |
| 6       | 12        | 2               | coarse SAND     | 0,4367 | 0,3593 | 0,8227 | 1,0000 | Tidak Terjadi Likuifaksi |
| 7       | 14        | 1,5             | coarse SAND     | 0,4245 | 0,3262 | 0,7685 | 1,0000 | Tidak Terjadi Likuifaksi |

Berdasarkan pada hasil perhitungan SPT di titik DB-03 didapatkan grafik seperti pada Gambar 5.6 yang berisikan sumbu x terdiri dari 3 variabel yaitu nilai CSR, CRR, dan FS dan pada sumbu y merupakan kedalaman titik uji *bore hole* pada SPT. Dimana apabila nilai FS kurang dari 1 menunjukkan bahwa pada kedalaman tersebut mengalami potensi likuifaksi. Pada titik ini potensi likuifaksi terjadi di lapisan tanah 1,2, dan 3 di kedalaman 2 – 6 meter.



Gambar 5.6 Grafik CSR, CRR, FS vs Kedalaman (DB-03)

d. *Bore Hole* DB-04

Perhitungan potensi likuifaksi pada titik *Bore Hole* DB-04 dapat dilihat pada Tabel 5.13, Tabel 5.14, Tabel 5.15 dan Gambar 5.7 berikut ini.

Tabel 5.13 Perhitungan CSR DB-04

| Lapisan | Kedalaman | Beda Tinggi | Jenis Tanah                               | (amax/g) | rd     | $\gamma_d$ | Tegangan Total ( $\sigma$ ) | Angka Pori (u) | Tegangan efektif ( $\sigma'$ ) | $(\sigma/\sigma')$ | CSR    |
|---------|-----------|-------------|---|----------|--------|------------|-----------------------------|----------------|--------------------------------|--------------------|--------|
| 1       | 2         | 2           | fine SAND                                 | 0,4      | 0,9847 | 12,648     | 25,296                      | 0              | 25,296                         | 1                  | 0,2560 |
| 2       | 4         | 2           | fine SAND                                 | 0,4      | 0,9694 | 12,648     | 50,592                      | 12,753         | 37,839                         | 1,3370             | 0,3370 |
| 3       | 6         | 2           | fine SAND                                 | 0,4      | 0,9541 | 13,194     | 76,98                       | 32,373         | 44,607                         | 1,7257             | 0,4281 |
| 4       | 8         | 2           | fine SAND                                 | 0,4      | 0,939  | 12,117     | 101,214                     | 51,993         | 44,607                         | 2,2690             | 0,5019 |
| 5       | 10        | 2           | medium SAND<br>with some<br>medium gravel | 0,4      | 0,907  | 12,117     | 125,448                     | 71,613         | 53,835                         | 2,3302             | 0,5495 |
| 6       | 12        | 2           | medium SAND<br>with little gravel         | 0,4      | 0,8536 | 17,427     | 160,302                     | 91,233         | 69,069                         | 2,3208             | 0,5151 |
| 7       | 14        | 1,5         | medium SAND<br>with medium<br>gravel      | 0,4      | 0,8002 | 18,43      | 197,162                     | 110,853        | 86,309                         | 2,2843             | 0,4753 |

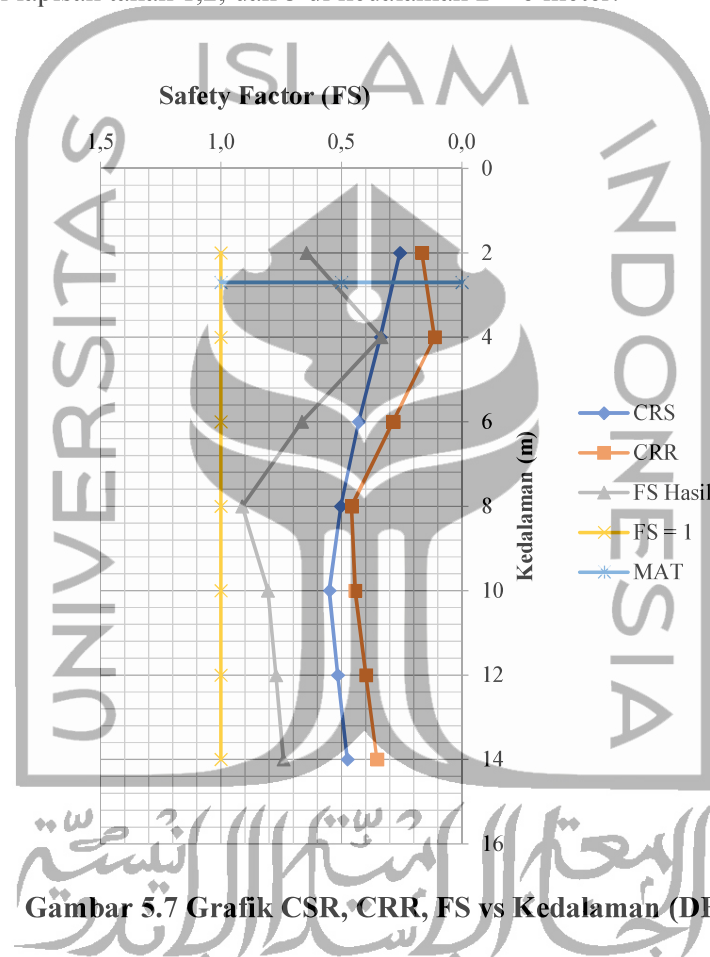
**Tabel 5.14 Perhitungan CRR DB-04**

| Lapisan | Kedalaman (m) | Beda Tinggi (m) | Jenis Tanah | N-SPT |    | Faktor koreksi (N1)60 |     |    |      |    | (N1)60   | CRR    |
|---------|---------------|-----------------|-------------|-------|----|-----------------------|-----|----|------|----|----------|--------|
|         |               |                 |             |       |    | Cn                    | Ce  | Cb | Cr   | Cs |          |        |
| 1       | 2             | 2               | coarse SAND | 18    | 30 | 1,508971              | 1,2 | 1  | 0,85 | 1  | 15,47958 | 0,1649 |
| 2       | 4             | 2               | fine SAND   | 12    | 30 | 1,387268              | 1,2 | 1  | 0,85 | 1  | 9,983209 | 0,1130 |
| 3       | 6             | 2               | coarse SAND | 19    | 30 | 1,329414              | 1,2 | 1  | 0,85 | 1  | 24,62571 | 0,2847 |
| 4       | 8             | 2               | coarse SAND | 85    | 23 | 1,292662              | 1,2 | 1  | 0,85 | 1  | 66,55698 | 0,4574 |
| 5       | 10            | 2               | fine GRAVEL | 50    | 3  | 1,257887              | 1,2 | 1  | 0,85 | 1  | 64,80641 | 0,4427 |
| 6       | 12            | 2               | coarse SAND | 50    | 8  | 1,155275              | 1,2 | 1  | 0,85 | 1  | 59,62826 | 0,3978 |
| 7       | 14            | 1,5             | coarse SAND | 50    | 17 | 1,057638              | 1,2 | 1  | 0,85 | 1  | 54,6836  | 0,3519 |

**Tabel 5.15 Hasil Analisis Potensi Likuifaksi DB-04**

| Lapisan | Kedalaman | Beda Tinggi (m) | Jenis Tanah (m) | CSR    | CRR    | FS     |        | STATUS                   |
|---------|-----------|-----------------|-----------------|--------|--------|--------|--------|--------------------------|
| 1       | 2         | 2               | coarse SAND     | 0,2560 | 0,1649 | 0,6441 | 1,0000 | Terjadi Likuifaksi       |
| 2       | 4         | 2               | fine SAND       | 0,3370 | 0,1130 | 0,3352 | 1,0000 | Terjadi Likuifaksi       |
| 3       | 6         | 2               | coarse SAND     | 0,4281 | 0,2847 | 0,6650 | 1,0000 | Terjadi Likuifaksi       |
| 4       | 8         | 2               | coarse SAND     | 0,5019 | 0,4574 | 0,9113 | 1,0000 | Tidak Terjadi Likuifaksi |
| 5       | 10        | 2               | fine GRAVEL     | 0,5495 | 0,4427 | 0,8056 | 1,0000 | Tidak Terjadi Likuifaksi |
| 6       | 12        | 2               | coarse SAND     | 0,5151 | 0,3978 | 0,7723 | 1,0000 | Tidak Terjadi Likuifaksi |
| 7       | 14        | 1,5             | coarse SAND     | 0,4753 | 0,3519 | 0,7403 | 1,0000 | Tidak Terjadi Likuifaksi |

Berdasarkan pada hasil perhitungan SPT di titik DB-04 didapatkan grafik seperti pada Gambar 5.7 yang berisikan sumbu x terdiri dari 3 variabel yaitu nilai CSR, CRR, dan FS dan pada sumbu y merupakan kedalaman titik uji *bore hole* pada SPT. Dimana apabila nilai FS kurang dari 1 menunjukkan bahwa pada kedalaman tersebut mengalami potensi likuifaksi. Pada titik ini potensi likuifaksi terjadi di lapisan tanah 1,2, dan 3 di kedalaman 2 – 6 meter.



Gambar 5.7 Grafik CSR, CRR, FS vs Kedalaman (DB-04)

e. *Bore Hole* DB-05

Perhitungan potensi likuifaksi pada titik *Bore Hole* DB-05 dapat dilihat pada Tabel 5.16, Tabel 5.17, Tabel 5.18 dan Gambar 5.8 berikut ini.

Tabel 5.16 Perhitungan CSR DB-05

| Lapisan | Kedalaman | Beda Tinggi | Jenis Tanah                      | (amax/g) | rd     | $\gamma_d$ | Tegangan Total ( $\sigma$ ) | Angka Pori (u) | Tegangan efektif ( $\sigma'$ ) | $(\sigma/\sigma')$ | CSR    |
|---------|-----------|-------------|----------------------------------|----------|--------|------------|-----------------------------|----------------|--------------------------------|--------------------|--------|
| 1       | 2         | 2           | fine SAND                        | 0,4      | 0,9847 | 11,07      | 22,14                       | 0              | 22,14                          | 1                  | 0,2560 |
| 2       | 4         | 2           | fine SAND                        | 0,4      | 0,9694 | 12,27      | 46,68                       | 17,658         | 29,022                         | 1,6084             | 0,4054 |
| 3       | 6         | 2           | coarse SAND                      | 0,4      | 0,9541 | 14,28      | 75,24                       | 37,278         | 37,962                         | 1,9819             | 0,4917 |
| 4       | 8         | 2           | coarse SAND with few fine gravel | 0,4      | 0,9388 | 14,135     | 103,51                      | 56,898         | 37,962                         | 2,7266             | 0,5420 |
| 5       | 10        | 2           | coarse SAND                      | 0,4      | 0,907  | 13,99      | 131,49                      | 76,518         | 54,972                         | 2,3919             | 0,5641 |
| 6       | 12        | 2           | coarse SAND with few fine gravel | 0,4      | 0,8536 | 14,191     | 159,872                     | 96,138         | 63,734                         | 2,5084             | 0,5567 |

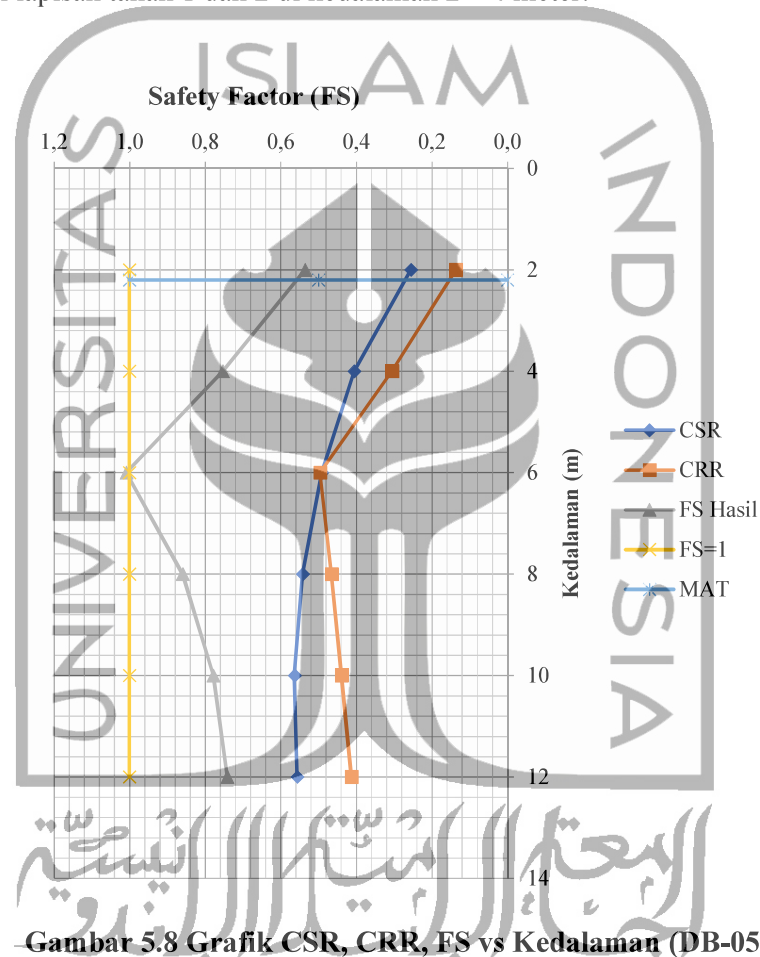
**Tabel 5.17 Perhitungan CRR DB-05**

| Lapisan | Kedalaman (m) | Beda Tinggi (m) | Jenis Tanah | N-SPT |    | Faktor koreksi (N1)60 |     |    |      |    | (N1)60   | CRR    |
|---------|---------------|-----------------|-------------|-------|----|-----------------------|-----|----|------|----|----------|--------|
|         |               |                 |             |       |    | Cn                    | Ce  | Cb | Cr   | Cs |          |        |
| 1       | 2             | 2               | coarse SAND | 18    | 30 | 1,543031              | 1,2 | 1  | 0,85 | 1  | 12,65558 | 0,1373 |
| 2       | 4             | 2               | fine SAND   | 12    | 30 | 1,470645              | 1,2 | 1  | 0,85 | 1  | 25,66426 | 0,3056 |
| 3       | 6             | 2               | coarse SAND | 19    | 30 | 1,386172              | 1,2 | 1  | 0,85 | 1  | 71,25367 | 0,4960 |
| 4       | 8             | 2               | coarse SAND | 85    | 23 | 1,31319               | 1,2 | 1  | 0,85 | 1  | 67,58936 | 0,4660 |
| 5       | 10            | 2               | fine GRAVEL | 50    | 3  | 1,249604              | 1,2 | 1  | 0,85 | 1  | 64,38908 | 0,4392 |
| 6       | 12            | 2               | coarse SAND | 50    | 8  | 1,18925               | 1,2 | 1  | 0,85 | 1  | 61,34481 | 0,4130 |

**Tabel 5.18 Hasil Analisis Potensi Likuifaksi DB-05**

| Lapisan | Kedalaman | Beda Tinggi (m) | Jenis Tanah (m) | CSR    | CRR    | FS     | FS=1   | STATUS                   |
|---------|-----------|-----------------|-----------------|--------|--------|--------|--------|--------------------------|
| 1       | 2         | 2               | coarse SAND     | 0,2560 | 0,1373 | 0,5363 | 1,0000 | Terjadi Likuifaksi       |
| 2       | 4         | 2               | fine SAND       | 0,4054 | 0,3056 | 0,7539 | 1,0000 | Terjadi Likuifaksi       |
| 3       | 6         | 2               | coarse SAND     | 0,4917 | 0,4960 | 1,0089 | 1,0000 | Tidak Terjadi Likuifaksi |
| 4       | 8         | 2               | coarse SAND     | 0,5420 | 0,4660 | 0,8597 | 1,0000 | Tidak Terjadi Likuifaksi |
| 5       | 10        | 2               | fine GRAVEL     | 0,5641 | 0,4392 | 0,7785 | 1,0000 | Tidak Terjadi Likuifaksi |
| 6       | 12        | 2               | coarse SAND     | 0,5567 | 0,4130 | 0,7418 | 1,0000 | Tidak Terjadi Likuifaksi |

Berdasarkan pada hasil perhitungan SPT di titik DB-05 didapatkan grafik seperti pada Gambar 5.8 yang berisikan sumbu x terdiri dari 3 variabel yaitu nilai CSR, CRR, dan FS dan pada sumbu y merupakan kedalaman titik uji *bore hole* pada SPT. Dimana apabila nilai FS kurang dari 1 menunjukkan bahwa pada kedalaman tersebut mengalami potensi likuifaksi. Pada titik ini potensi likuifaksi terjadi di lapisan tanah 1 dan 2 di kedalaman 2 – 4 meter.



f. *Bore Hole* DB-06

Perhitungan potensi likuifaksi pada titik *Bore Hole* DB-06 dapat dilihat pada Tabel 5.19, Tabel 5.20, Tabel 5.21 dan Gambar 5.9 berikut ini.

Tabel 5.19 Perhitungan CSR DB-06

| Lapisan | Kedalaman | Beda Tinggi | Jenis Tanah                    | (amax/g) | $\gamma_d$ | $\gamma_d$ | Tegangan Total ( $\sigma$ ) | Angka Pori (u) | Tegangan efektif ( $\sigma'$ ) | $(\sigma/\sigma')$ | CSR    |
|---------|-----------|-------------|--------------------------------|----------|------------|------------|-----------------------------|----------------|--------------------------------|--------------------|--------|
| 1       | 2         | 2           | fine SAND                      | 0,4      | 0,9847     | 15,22      | 30,44                       | 0              | 30,44                          | 1                  | 0,2560 |
| 2       | 4         | 2           | fine SAND                      | 0,4      | 0,9694     | 13,194     | 56,828                      | 15,696         | 41,132                         | 1,381601           | 0,3482 |
| 3       | 6         | 2           | medium SAND                    | 0,4      | 0,9541     | 13,412     | 83,652                      | 35,316         | 48,336                         | 1,730636           | 0,4293 |
| 4       | 8         | 2           | medium SAND                    | 0,4      | 0,9388     | 13,63      | 110,912                     | 54,936         | 48,336                         | 2,294604           | 0,4836 |
| 5       | 10        | 2           | medium SAND                    | 0,4      | 0,907      | 13,63      | 138,172                     | 74,556         | 63,616                         | 2,171969           | 0,5122 |
| 6       | 12        | 2           | coarse SAND with medium gravel | 0,4      | 0,8536     | 13,8       | 165,772                     | 94,176         | 71,596                         | 2,315381           | 0,5139 |

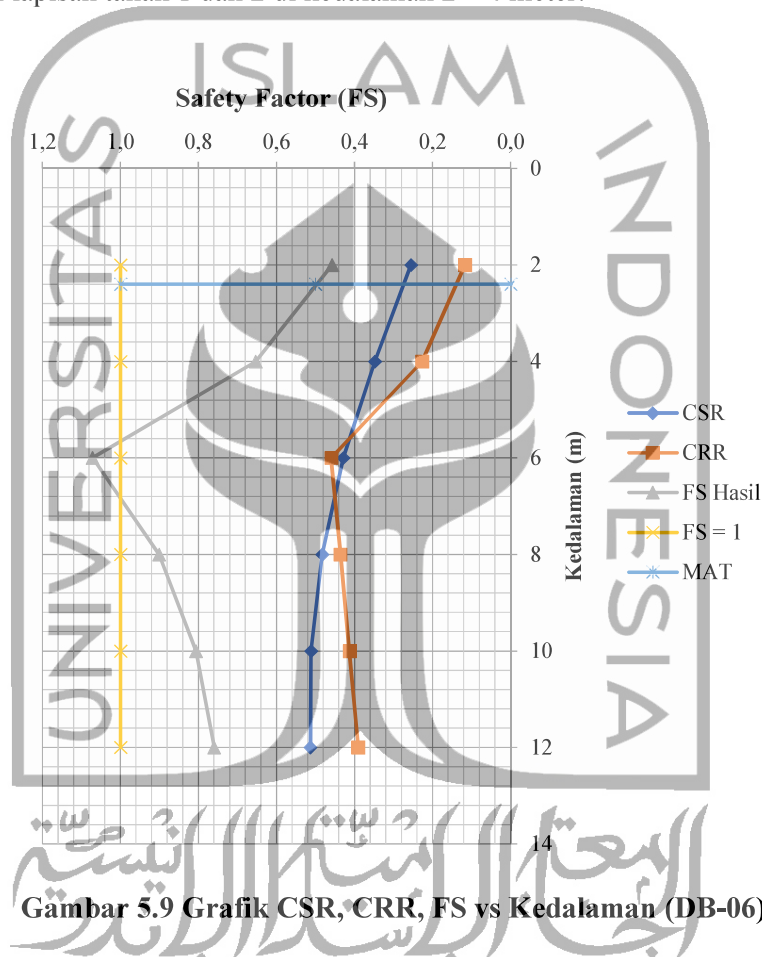
**Tabel 5.20 Perhitungan CRR DB-06**

| Lapisan | Kedalaman (m) | Beda Tinggi (m) | Jenis Tanah | N-SPT |    | Faktor koreksi (N1)60 |     |    |      |    | (N1)60   | CRR    |
|---------|---------------|-----------------|-------------|-------|----|-----------------------|-----|----|------|----|----------|--------|
|         |               |                 |             |       |    | Cn                    | Ce  | Cb | Cr   | Cs |          |        |
| 1       | 2             | 2               | coarse SAND | 18    | 30 | 1,466257              | 1,2 | 1  | 0,85 | 1  | 10,46907 | 0,1173 |
| 2       | 4             | 2               | fine SAND   | 12    | 30 | 1,358503              | 1,2 | 1  | 0,85 | 1  | 20,95967 | 0,2277 |
| 3       | 6             | 2               | coarse SAND | 19    | 30 | 1,299553              | 1,2 | 1  | 0,85 | 1  | 66,90362 | 0,4603 |
| 4       | 8             | 2               | coarse SAND | 85    | 23 | 1,242379              | 1,2 | 1  | 0,85 | 1  | 64,02501 | 0,4361 |
| 5       | 10            | 2               | fine GRAVEL | 50    | 3  | 1,190024              | 1,2 | 1  | 0,85 | 1  | 61,38389 | 0,4133 |
| 6       | 12            | 2               | coarse SAND | 50    | 8  | 1,139851              | 1,2 | 1  | 0,85 | 1  | 58,84829 | 0,3908 |

**Tabel 5.21 Hasil Analisis Potensi Likuifaksi DB-06**

| Lapisan | Kedalaman | Beda Tinggi (m) | Jenis Tanah (m) | CSR    | CRR    | FS     | FS=1   | STATUS                   |
|---------|-----------|-----------------|-----------------|--------|--------|--------|--------|--------------------------|
| 1       | 2         | 2               | coarse SAND     | 0,2560 | 0,1173 | 0,4581 | 1,0000 | Terjadi Likuifaksi       |
| 2       | 4         | 2               | fine SAND       | 0,3482 | 0,2277 | 0,6539 | 1,0000 | Terjadi Likuifaksi       |
| 3       | 6         | 2               | coarse SAND     | 0,4293 | 0,4603 | 1,0722 | 1,0000 | Tidak Terjadi Likuifaksi |
| 4       | 8         | 2               | coarse SAND     | 0,4836 | 0,4361 | 0,9016 | 1,0000 | Tidak Terjadi Likuifaksi |
| 5       | 10        | 2               | fine GRAVEL     | 0,5122 | 0,4133 | 0,8069 | 1,0000 | Tidak Terjadi Likuifaksi |
| 6       | 12        | 2               | coarse SAND     | 0,5139 | 0,3908 | 0,7605 | 1,0000 | Tidak Terjadi Likuifaksi |

Berdasarkan pada hasil perhitungan SPT di titik DB-06 didapatkan grafik seperti pada Gambar 5.9 yang berisikan sumbu x terdiri dari 3 variabel yaitu nilai CSR, CRR, dan FS dan pada sumbu y merupakan kedalaman titik uji *bore hole* pada SPT. Dimana apabila nilai FS kurang dari 1 menunjukkan bahwa pada kedalaman tersebut mengalami potensi likuifaksi. Pada titik ini potensi likuifaksi terjadi di lapisan tanah 1 dan 2 di kedalaman 2 – 4 meter.



Gambar 5.9 Grafik CSR, CRR, FS vs Kedalaman (DB-06)

### 5.1.5 Analisis Data CPT

Adapun data lapangan yang didapatkan dari uji CPT ialah tahanan ujung konus (qc). Dari nilai qc yang ada dapat dihitung nilai friksi dan jumlah hambatan lekat pada suatu lapisan tanah. Dari nilai tahanan ujung dapat dihitung nilai CRR yang mewakili nilai ketahanan tanah terhadap beban siklik akibat gempa. Dari nilai qc diolah menjadi grafik. Untuk contoh perhitungan dapat dilihat sebagai berikut.

CPT-01

Didapatkan dari data CPT-01 terlampir pada Lampiran 2 dan Data tanah uji laboratorium dapat dilihat pada Lampiran 4.

$$h = 0,2 \text{ meter}$$

$$\gamma_d = 12,438 \text{ kN/m}^2$$

1. Perhitungan tegangan efektif ( $\sigma'$ )

Tegangan total ( $\sigma'$ )

$$\begin{aligned} &= h \times \gamma \\ &= 0,2 \times 12,438 \\ &= 2,4876 \text{ kN/m}^2 \end{aligned}$$

Tekanan air pori (u)

$$= 0 \text{ kN/m}^2$$

Tegangan efektif ( $\sigma'_1$ )

$$\begin{aligned} &= \sigma - u \\ &= 2,4876 - 0 \\ &= 2,4876 \text{ kN/m}^2 \end{aligned}$$

2. Perhitungan nilai reduksi tegangan (rd)

$$rd$$

$$\begin{aligned} &= 1,0 - 0,00765 \times z \\ &= 1,0 - 0,00765 \times 0,4 \\ &\approx 0,99694 \end{aligned}$$

3. Perhitungan nilai *Cyclic Stress Ratio* (CSR)

CSR

$$\begin{aligned} &= 0,65 \left( \frac{\sigma_{max}}{g} \right) \left( \frac{\sigma_{v0}}{\sigma'_{v1}} \right) rd \\ &= 0,65 \times (0,4) \times \left( \frac{2,4876}{2,4876} \right) \times 0,99694 \\ &= 0,2592 \end{aligned}$$

4. Perhitungan nilai Q

Nilai qc didapat dari data CPT-01 pada Lampiran 2.

Nilai  $q_c = 8,78 \text{ kg/cm}^2$  diubah menjadi  $861,01948 \text{ kN/m}^2$ .

Nilai  $P_a = 1 \text{ atm}$  tekanan yang sama yang digunakan oleh  $\sigma'_{vo}$ .  
Didapatkan  $P_a = 101,325 \text{ kN/m}^2$ .

$$\begin{aligned} Q &= \left[ \frac{(q_c - \sigma'_{vo})}{P_a} \right] \left[ \left( \frac{P_a}{\sigma'_{vo}} \right)^n \right] \\ &= \left[ \frac{(861,0195 - 2,4876)}{101,325} \right] \left[ \left( \frac{101,325}{2,4876} \right)^{0,5} \right] \\ &= 54,076409 \end{aligned}$$

#### 5. Perhitungan nilai F

Nilai  $f_s$  didapat dari data CPT-01 terlampir pada Lampiran 2.

$f_s = 0,21$  diubah menjadi  $20,59386 \text{ kN/m}^2$ .

$$\begin{aligned} F &= \left[ \frac{f_s}{q_c - \sigma'_{vo}} \right] \times 100\% \\ &= \left[ \frac{20,5939}{861,0195 - 2,4876} \right] \times 100\% \\ &= 0,023987 \end{aligned}$$

#### 6. Perhitungan nilai $I_c$

$$\begin{aligned} I_c &= [(3,47 - \log Q)^2 + (1,22 + \log F)^2]^{0,5} \\ &= [(3,47 - \log 54,076409)^2 + (1,22 + \log 0,023987)^2]^{0,5} \\ &= 1,78246 \end{aligned}$$

#### 7. Perhitungan nilai $C_q$

$$\begin{aligned} C_q &= \left[ \frac{P_a}{\sigma'_{vo}} \right]^n \\ &= \left( \frac{101,325}{2,4876} \right)^{0,5} \\ &= 6,382165 \end{aligned}$$

#### 8. Perhitungan $q_{cIN}$

$$\begin{aligned} q_{cIN} &= C_q (q_c / P_a) \\ &= 6,382165 (861,01948 / 101,325) \\ &= 54,2331 \end{aligned}$$

Hitungan ekivalensi pasir bersih N-SPT ternormalisasi ( $q_{cIN}$ )<sub>cs</sub>

Harga tahanan konus ternormalisasi  $(q_{cIN})_{cs}$ , untuk pasir kelempungan dikoreksi terhadap pasir bersih ( $cs$ ) dengan harga  $(q_{cIN})_{cs}$  seperti berikut.

$$(q_{cIN})_{cs} = K_c \cdot q_{cIN}$$

Dimana :

$K_c$  = faktor koreksi untuk karakteristik butiran yang didefinisikan oleh persamaan berikut (Robertson and Wride, 1998)

Untuk  $I_c \leq 1,64$ ..... $K_c = 1,0$

Untuk  $I_c > 1,64$ ..... $K_c = -0,403 \cdot I_c^4 + 5,581 \cdot I_c^3 - 21,63 \cdot I_c^2 + 33,75 \cdot I_c - 17,88$

Pada perhitungan nilai  $I_c$  diatas, didapatkan nilai  $I_c = 1,78246$

$I_c > 1,64$

$$\begin{aligned} K_c &= -0,403 \cdot I_c^4 + 5,581 \cdot I_c^3 - 21,63 \cdot I_c^2 + 33,75 \cdot I_c - 17,88 \\ &= -0,403 \cdot 1,78246^4 + 5,581 \cdot 1,78246^3 - 21,63 \cdot 1,78246^2 + 33,75 \cdot 1,78246 - 17,88 \\ &= 1,09408 \\ (q_{cIN})_{cs} &= K_c \cdot q_{cIN} \\ &= 1,09408 \times 54,2331 \\ &= 59,3353 \end{aligned}$$

#### 9. Perhitungan CRR

$$CRR = \exp [((q_{cIN})_{cs}/540) + ((q_{cIN})_{cs}/67)^2 - ((q_{cIN})_{cs}/80)^3 + ((q_{cIN})_{cs}/114)^4 - 3]$$

$$\begin{aligned} &\approx \exp [((59,3353/540) + (59,3353/67)^2 - (59,3353/80)^3 + \\ &(59,3353/114)^4 - 3] \\ &= 0,087122 \end{aligned}$$

Berdasarkan nilai  $(q_{cIN})_{cs}$  yang diperoleh yaitu 59,3353 sehingga dalam buku *Soil Liquefaction During Earthquake* tulisan LM Idriss dan R.W. Boulanger diketahui bahwa nilai  $CRR_{7,5}$  sebagai berikut :

Jika nilai  $(q_{cIN})_{cs} < 211$

$$CRR_{7,5} = \exp [((q_{cIN})_{cs}/540) + ((q_{cIN})_{cs}/67)^2 - ((q_{cIN})_{cs}/80)^3 + ((q_{cIN})_{cs}/114)^4 - 3]$$

Jika nilai  $(q_{cIN})_{cs} > 211$ , maka  $CRR_{7,5} = 2$

10. Perhitungan FS

$$\begin{aligned} \text{FS} &= \frac{CRR}{CSR} \\ &= \frac{0,087122}{0,25920} \\ &= 0,33611 < 1 \text{ (terjadi likuidaksi)} \end{aligned}$$



Berdasarkan perhitungan data CPT diatas, berikut rekapitulasi titik-titik lainnya pada *runway* sebagai berikut.

a. CPT-01

Rekapitulasi hasil potensi likuifaksi pada titik CPT-01 dapat dilihat pada Tabel 5.22 dan Gambar 5.10 berikut ini.

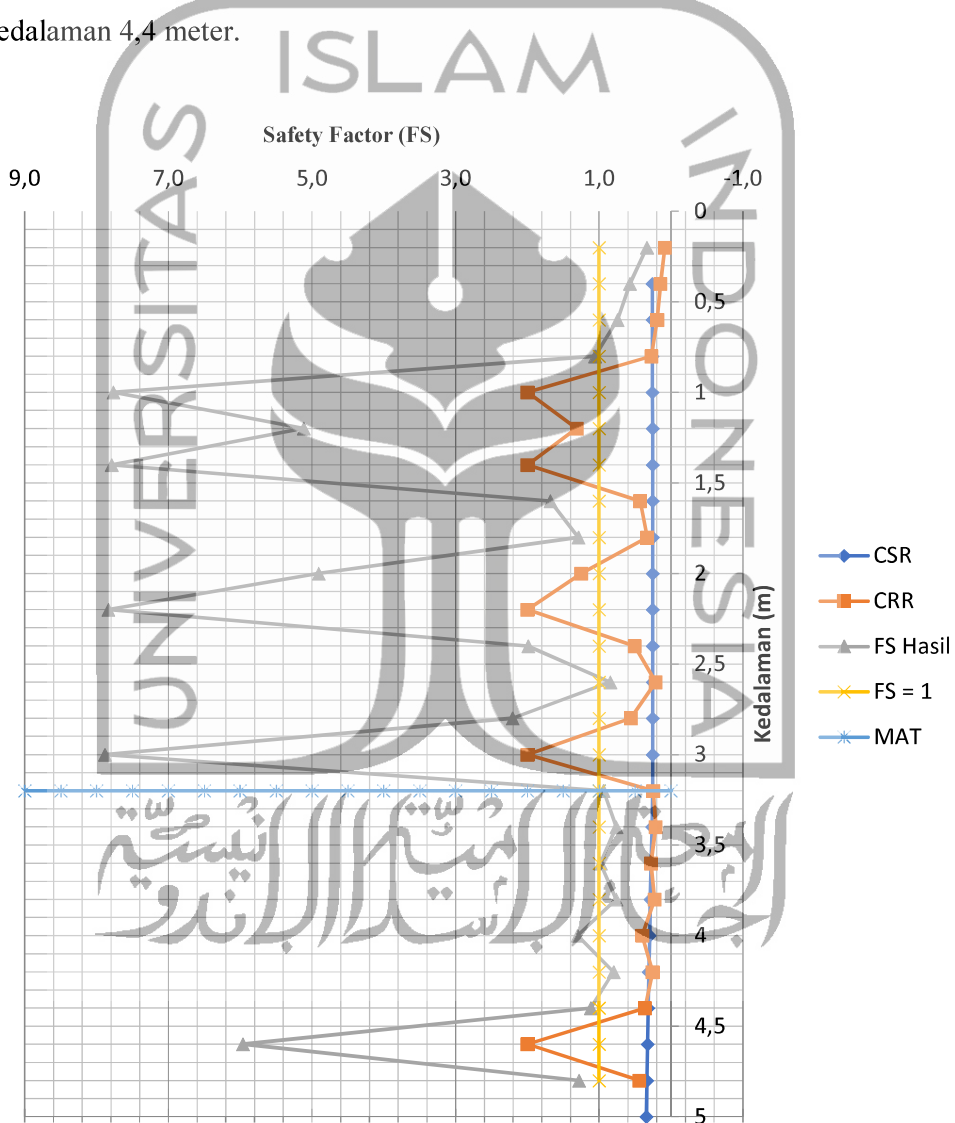
**Tabel 5.22 Rekapitulasi Hasil Analisis Potensi Likuifaksi CPT-01**

| Depth<br>m | qc (kN/m <sup>2</sup> ) |                   | $\sigma$ | $\sigma'$ | IC    | qcIN    | rd    | CSR   | CRR   | FS    | STATUS                   |
|------------|-------------------------|-------------------|----------|-----------|-------|---------|-------|-------|-------|-------|--------------------------|
|            | kg/cm <sup>2</sup>      | kN/m <sup>2</sup> |          |           |       |         |       |       |       |       |                          |
| 0,2        |                         |                   |          |           |       |         |       |       |       |       |                          |
| 0,4        | 8,78                    | 861,0195          | 2,488    | 2,488     | 1,782 | 54,233  | 0,997 | 0,259 | 0,087 | 0,336 | Likuifaksi               |
| 0,6        | 22,21                   | 2178,046          | 4,975    | 4,975     | 1,733 | 97,007  | 0,995 | 0,259 | 0,147 | 0,569 | Likuifaksi               |
| 0,8        | 31                      | 3040,046          | 7,463    | 7,463     | 1,837 | 110,553 | 0,994 | 0,258 | 0,192 | 0,742 | Likuifaksi               |
| 1          | 47,53                   | 4661,077          | 9,950    | 9,950     | 1,679 | 146,794 | 0,992 | 0,258 | 0,273 | 1,057 | Tidak Terjadi Likuifaksi |
| 1,2        | 64,58                   | 6333,102          | 12,438   | 12,438    | 2,081 | 178,395 | 0,991 | 0,258 | 2,000 | 7,764 | Tidak Terjadi Likuifaksi |
| 1,4        | 75,94                   | 7447,132          | 14,926   | 14,926    | 1,733 | 191,498 | 0,989 | 0,257 | 1,316 | 5,117 | Tidak Terjadi Likuifaksi |
| 1,6        | 78,52                   | 7700,142          | 17,413   | 17,413    | 1,973 | 183,316 | 0,988 | 0,257 | 2,000 | 7,788 | Tidak Terjadi Likuifaksi |
| 1,8        | 72,32                   | 7092,133          | 19,901   | 19,901    | 1,777 | 157,937 | 0,986 | 0,256 | 0,431 | 1,679 | Tidak Terjadi Likuifaksi |
| 2          | 68,19                   | 6687,121          | 22,388   | 22,388    | 1,849 | 140,401 | 0,985 | 0,256 | 0,330 | 1,290 | Tidak Terjadi Likuifaksi |
| 2,2        | 64,58                   | 6333,102          | 24,876   | 24,876    | 2,172 | 126,144 | 0,983 | 0,256 | 1,254 | 4,906 | Tidak Terjadi Likuifaksi |
| 2,4        | 60,96                   | 5978,103          | 27,364   | 27,364    | 2,419 | 113,532 | 0,982 | 0,255 | 2,000 | 7,836 | Tidak Terjadi Likuifaksi |
| 2,6        | 60,44                   | 5927,109          | 29,851   | 29,851    | 2,194 | 107,771 | 0,980 | 0,255 | 0,507 | 1,990 | Tidak Terjadi Likuifaksi |
| 2,8        | 65,61                   | 6434,11           | 32,339   | 32,339    | 1,908 | 112,400 | 0,979 | 0,254 | 0,215 | 0,846 | Likuifaksi               |
| 3          | 78,52                   | 7700,142          | 34,826   | 34,826    | 2,068 | 129,624 | 0,977 | 0,254 | 0,561 | 2,209 | Tidak Terjadi Likuifaksi |
| 3,2        | 87,82                   | 8612,156          | 37,823   | 37,823    | 2,252 | 139,115 | 0,976 | 0,254 | 2,000 | 7,885 | Tidak Terjadi Likuifaksi |

**Lanjutan Tabel 5.22 Rekapitulasi Hasil Analisis Potensi Likuifaksi CPT-01**

| Depth<br>m | qc (kN/m <sup>2</sup> ) |                   | $\sigma$ | $\sigma'$ | IC    | qcIN    | rd    | CSR   | CRR   | FS    | STATUS                   |
|------------|-------------------------|-------------------|----------|-----------|-------|---------|-------|-------|-------|-------|--------------------------|
|            | kg/cm <sup>2</sup>      | kN/m <sup>2</sup> |          |           |       |         |       |       |       |       |                          |
| 3,4        | 79,04                   | 7751,137          | 40,820   | 38,858    | 1,881 | 123,528 | 0,974 | 0,266 | 0,249 | 0,937 | Likuifaksi               |
| 3,6        | 73,36                   | 7194,122          | 43,817   | 39,893    | 1,888 | 113,155 | 0,972 | 0,278 | 0,212 | 0,762 | Likuifaksi               |
| 3,8        | 69,74                   | 6839,123          | 46,814   | 40,928    | 2,089 | 106,202 | 0,971 | 0,289 | 0,283 | 0,979 | Likuifaksi               |
| 4          | 70,26                   | 6890,117          | 49,810   | 41,962    | 2,010 | 105,667 | 0,969 | 0,299 | 0,228 | 0,764 | Likuifaksi               |
| 4,2        | 78,52                   | 7700,142          | 52,807   | 42,997    | 2,099 | 116,660 | 0,968 | 0,309 | 0,402 | 1,300 | Tidak Terjadi Likuifaksi |
| 4,4        | 80,07                   | 7852,145          | 55,804   | 44,032    | 1,953 | 117,556 | 0,966 | 0,318 | 0,255 | 0,800 | Likuifaksi               |
| 4,6        | 101,77                  | 9980,177          | 58,801   | 45,067    | 1,817 | 147,690 | 0,965 | 0,327 | 0,365 | 1,116 | Tidak Terjadi Likuifaksi |
| 4,8        | 120,88                  | 11854,22          | 61,798   | 46,102    | 1,971 | 173,443 | 0,963 | 0,336 | 2,000 | 5,957 | Tidak Terjadi Likuifaksi |
| 5          | 121,88                  | 11952,28          | 64,794   | 47,136    | 1,461 | 172,948 | 0,962 | 0,344 | 0,439 | 1,277 | Tidak Terjadi Likuifaksi |

Berdasarkan pada hasil perhitungan CPT di titik CPT-01 didapatkan grafik seperti pada Gambar 5.10 yang berisikan sumbu x terdiri dari 3 variabel yaitu nilai CSR, CRR, dan FS dan pada sumbu y merupakan kedalaman titik uji pada CPT. Dimana apabila nilai FS kurang dari 1 menunjukkan bahwa pada kedalaman tersebut mengalami potensi likuifaksi. Pada titik ini potensi likuifaksi terjadi di beberapa lapisan tanah dan secara garis besar dapat disimpulkan terjadi hingga kedalaman 4,4 meter.



**Gambar 5.10 Grafik CSR, CRR, FS vs Kedalaman (CPT-01)**

b. CPT-02

Rekapitulasi hasil potensi likuifaksi pada titik CPT-02 dapat dilihat pada Tabel 5.23 dan Gambar 5.11 berikut ini.

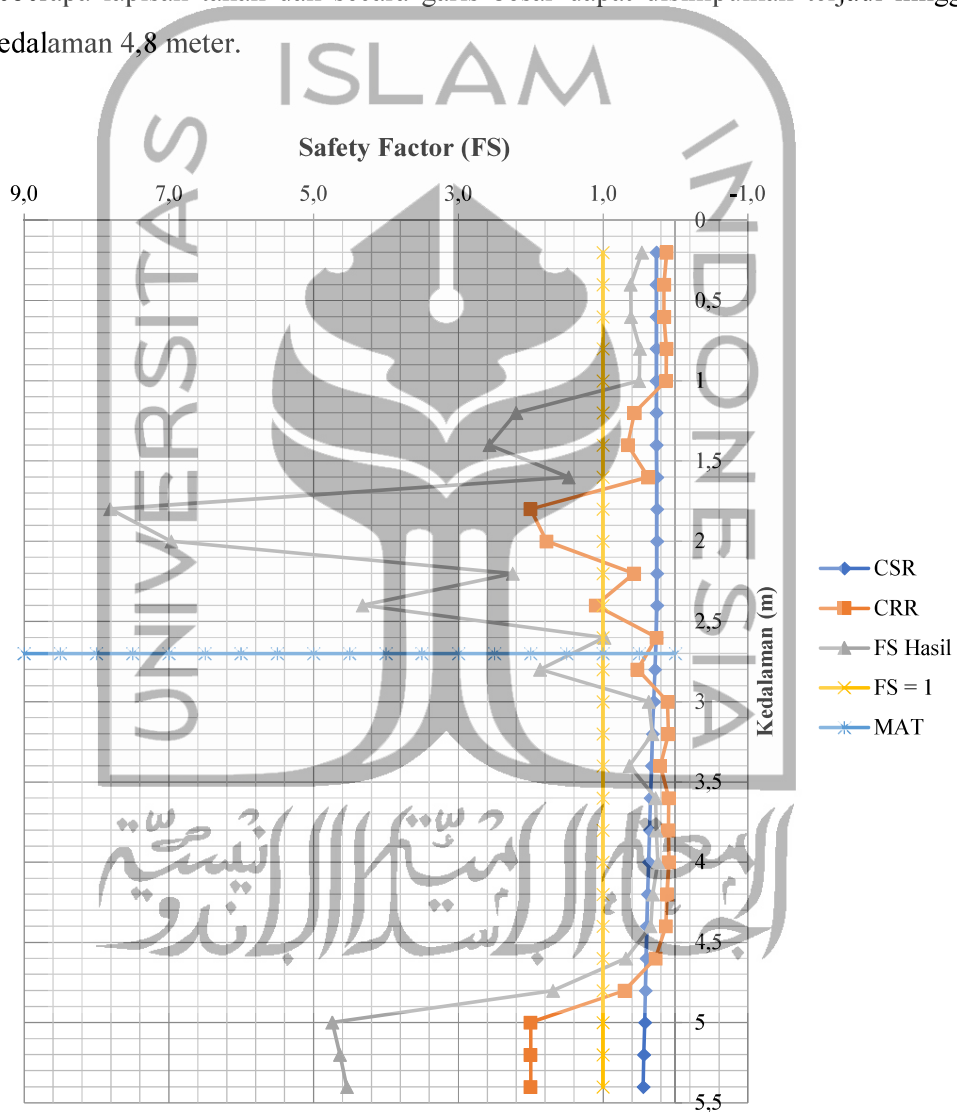
**Tabel 5.23 Rekapitulasi Hasil Analisis Potensi Likuifaksi CPT-02**

| Depth<br>m | qc (kN/m <sup>2</sup> ) |                   | $\sigma$ | $\sigma'$ | IC   | qcIN   | rd   | CSR  | CRR  | FS   | STATUS                   |
|------------|-------------------------|-------------------|----------|-----------|------|--------|------|------|------|------|--------------------------|
|            | kg/cm <sup>2</sup>      | kN/m <sup>2</sup> |          |           |      |        |      |      |      |      |                          |
| 0,2        |                         |                   |          |           |      |        |      |      |      |      |                          |
| 0,4        | 12,4                    | 1216,018          | 2,30     | 2,30      | 1,74 | 79,68  | 1,00 | 0,26 | 0,12 | 0,46 | Likuifaksi               |
| 0,6        | 22,21                   | 2178,046          | 4,60     | 4,60      | 1,78 | 100,91 | 1,00 | 0,26 | 0,16 | 0,62 | Likuifaksi               |
| 0,8        | 23,25                   | 2280,035          | 6,90     | 6,90      | 1,97 | 86,25  | 0,99 | 0,26 | 0,16 | 0,61 | Likuifaksi               |
| 1          | 24,8                    | 2432,037          | 9,20     | 9,20      | 1,83 | 79,68  | 0,99 | 0,26 | 0,13 | 0,49 | Likuifaksi               |
| 1,2        | 29,45                   | 2888,044          | 11,49    | 11,49     | 1,76 | 84,63  | 0,99 | 0,26 | 0,13 | 0,50 | Likuifaksi               |
| 1,4        | 49,08                   | 4813,079          | 13,79    | 13,79     | 2,08 | 128,75 | 0,99 | 0,26 | 0,57 | 2,20 | Tidak Terjadi Likuifaksi |
| 1,6        | 61,99                   | 6079,111          | 16,09    | 16,09     | 1,95 | 150,55 | 0,99 | 0,26 | 0,66 | 2,57 | Tidak Terjadi Likuifaksi |
| 1,8        | 65,61                   | 6434,11           | 18,39    | 18,39     | 1,82 | 149,05 | 0,99 | 0,26 | 0,38 | 1,48 | Tidak Terjadi Likuifaksi |
| 2          | 85,24                   | 8359,146          | 20,69    | 20,69     | 2,00 | 182,57 | 0,98 | 0,26 | 2,00 | 7,81 | Tidak Terjadi Likuifaksi |
| 2,2        | 84,72                   | 8308,152          | 22,99    | 22,99     | 1,92 | 172,15 | 0,98 | 0,26 | 1,78 | 6,96 | Tidak Terjadi Likuifaksi |
| 2,4        | 84,21                   | 8258,138          | 25,29    | 25,29     | 1,81 | 163,15 | 0,98 | 0,26 | 0,57 | 2,25 | Tidak Terjadi Likuifaksi |
| 2,6        | 79,56                   | 7802,131          | 27,59    | 27,59     | 2,04 | 147,58 | 0,98 | 0,25 | 1,10 | 4,32 | Tidak Terjadi Likuifaksi |
| 2,8        | 68,71                   | 6738,115          | 29,88    | 28,90     | 1,89 | 124,51 | 0,98 | 0,26 | 0,26 | 0,98 | Likuifaksi               |
| 3          | 60,44                   | 5927,109          | 32,18    | 29,24     | 2,19 | 108,89 | 0,98 | 0,28 | 0,52 | 1,87 | Tidak Terjadi Likuifaksi |
| 3,2        | 41,33                   | 4053,068          | 34,48    | 29,58     | 1,72 | 74,04  | 0,98 | 0,30 | 0,11 | 0,37 | Likuifaksi               |
| 3,4        | 36,16                   | 3546,067          | 36,78    | 29,91     | 1,75 | 64,41  | 0,97 | 0,31 | 0,10 | 0,32 | Likuifaksi               |

**Lanjutan Tabel 5.23 Rekapitulasi Hasil Analisis Potensi Likuifaksi CPT-02**

| Depth<br>m | qc (kN/m <sup>2</sup> ) |                   | $\sigma$ | $\sigma'$ | IC   | qcIN   | rd   | CSR  | CRR  | FS   | STATUS                   |
|------------|-------------------------|-------------------|----------|-----------|------|--------|------|------|------|------|--------------------------|
|            | kg/cm <sup>2</sup>      | kN/m <sup>2</sup> |          |           |      |        |      |      |      |      |                          |
| 3,6        | 32,03                   | 3141,054          | 39,08    | 30,25     | 2,40 | 56,73  | 0,97 | 0,33 | 0,21 | 0,64 | Likuifaksi               |
| 3,8        | 31                      | 3040,046          | 41,38    | 30,59     | 1,92 | 54,61  | 0,97 | 0,34 | 0,09 | 0,28 | Likuifaksi               |
| 4          | 27,9                    | 2736,041          | 44,05    | 31,30     | 2,05 | 48,59  | 0,97 | 0,35 | 0,10 | 0,27 | Likuifaksi               |
| 4,2        | 23,25                   | 2280,035          | 46,72    | 32,00     | 2,14 | 40,04  | 0,97 | 0,37 | 0,09 | 0,24 | Likuifaksi               |
| 4,4        | 28,41                   | 2786,055          | 49,39    | 32,71     | 2,23 | 48,39  | 0,97 | 0,38 | 0,12 | 0,31 | Likuifaksi               |
| 4,6        | 43,39                   | 4255,084          | 52,06    | 33,42     | 2,00 | 73,12  | 0,96 | 0,39 | 0,13 | 0,34 | Likuifaksi               |
| 4,8        | 65,09                   | 6383,116          | 54,73    | 34,13     | 2,06 | 108,55 | 0,96 | 0,40 | 0,27 | 0,68 | Likuifaksi               |
| 5          | 88,86                   | 8714,145          | 57,40    | 34,83     | 1,99 | 146,68 | 0,96 | 0,41 | 0,70 | 1,69 | Tidak Terjadi Likuifaksi |
| 5,2        | 99,19                   | 9727,167          | 60,07    | 35,54     | 2,09 | 162,09 | 0,96 | 0,42 | 2,00 | 4,74 | Tidak Terjadi Likuifaksi |
| 5,4        | 115,72                  | 11348,2           | 62,74    | 36,25     | 2,10 | 187,25 | 0,96 | 0,43 | 2,00 | 4,64 | Tidak Terjadi Likuifaksi |
| 5,6        | 119,85                  | 11753,21          | 65,40    | 36,96     | 2,01 | 192,07 | 0,96 | 0,44 | 2,00 | 4,54 | Tidak Terjadi Likuifaksi |

Berdasarkan pada hasil perhitungan CPT di titik CPT-02 didapatkan grafik seperti pada Gambar 5.11 yang berisikan sumbu x terdiri dari 3 variabel yaitu nilai CSR, CRR, dan FS dan pada sumbu y merupakan kedalaman titik uji pada CPT. Dimana apabila nilai FS kurang dari 1 menunjukkan bahwa pada kedalaman tersebut mengalami potensi likuifaksi. Pada titik ini potensi likuifaksi terjadi di beberapa lapisan tanah dan secara garis besar dapat disimpulkan terjadi hingga kedalaman 4,8 meter.



Gambar 5.11 Grafik CSR, CRR, FS vs Kedalaman (CPT-02)

c. CPT-03

Rekapitulasi hasil potensi likuifaksi pada titik CPT-03 dapat dilihat pada Tabel 5.24 dan Gambar 5.12 berikut ini.

**Tabel 5.24 Rekapitulasi Hasil Analisis Potensi Likuifaksi CPT-03**

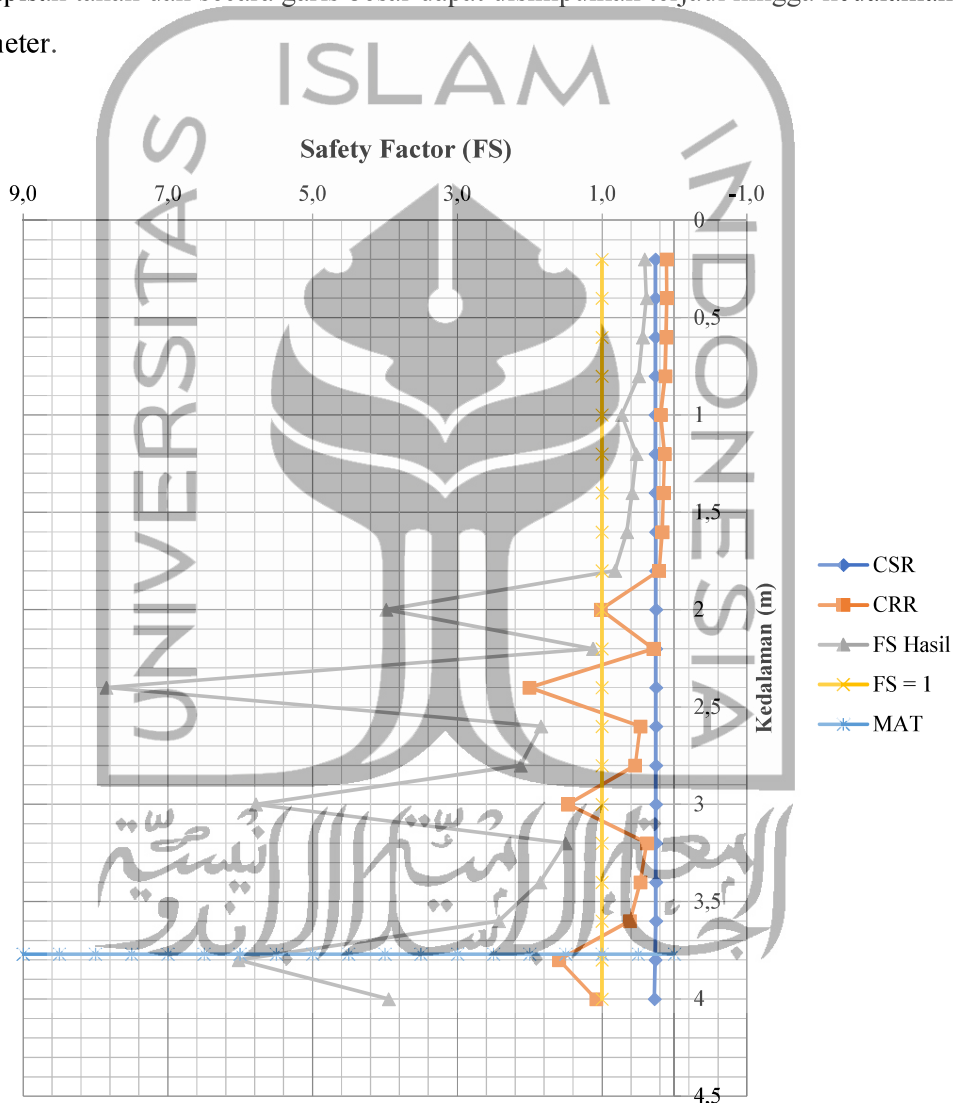
| Depth<br>m | qc (kN/m <sup>2</sup> ) |                   | $\sigma$ | $\sigma'$ | IC    | qcIN    | rd    | CSR   | CRR   | FS    | STATUS                   |
|------------|-------------------------|-------------------|----------|-----------|-------|---------|-------|-------|-------|-------|--------------------------|
|            | kg/cm <sup>2</sup>      | kN/m <sup>2</sup> |          |           |       |         |       |       |       |       |                          |
| 0,2        |                         |                   | 0        |           |       |         |       |       |       |       |                          |
| 0,4        | 10,33                   | 1013,022          | 2,530    | 2,530     | 1,892 | 63,275  | 0,997 | 0,259 | 0,106 | 0,408 | Likuifaksi               |
| 0,6        | 15,5                    | 1520,023          | 5,059    | 5,059     | 1,705 | 67,135  | 0,995 | 0,259 | 0,099 | 0,384 | Likuifaksi               |
| 0,8        | 19,11                   | 1874,041          | 7,589    | 7,589     | 1,895 | 67,583  | 0,994 | 0,258 | 0,113 | 0,436 | Likuifaksi               |
| 1          | 28,41                   | 2786,055          | 10,118   | 10,118    | 1,690 | 87,011  | 0,992 | 0,258 | 0,126 | 0,490 | Likuifaksi               |
| 1,2        | 32,55                   | 3192,048          | 12,648   | 12,648    | 2,059 | 89,166  | 0,991 | 0,258 | 0,187 | 0,727 | Likuifaksi               |
| 1,4        | 36,16                   | 3546,067          | 15,178   | 15,178    | 1,722 | 90,425  | 0,989 | 0,257 | 0,135 | 0,524 | Likuifaksi               |
| 1,6        | 41,84                   | 4103,081          | 17,707   | 17,707    | 1,757 | 96,867  | 0,988 | 0,257 | 0,150 | 0,583 | Likuifaksi               |
| 1,8        | 47,53                   | 4661,077          | 20,237   | 20,237    | 1,802 | 102,934 | 0,986 | 0,256 | 0,168 | 0,653 | Likuifaksi               |
| 2          | 53,73                   | 5269,086          | 22,766   | 22,766    | 1,919 | 109,706 | 0,985 | 0,256 | 0,210 | 0,818 | Likuifaksi               |
| 2,2        | 63,54                   | 6231,114          | 25,296   | 25,296    | 2,174 | 123,078 | 0,983 | 0,256 | 1,018 | 3,982 | Tidak Terjadi Likuifaksi |
| 2,4        | 70,77                   | 6940,131          | 27,826   | 27,826    | 1,882 | 130,703 | 0,982 | 0,255 | 0,287 | 1,125 | Tidak Terjadi Likuifaksi |
| 2,6        | 80,07                   | 7852,145          | 30,355   | 30,355    | 2,215 | 141,584 | 0,980 | 0,255 | 2,000 | 7,848 | Tidak Terjadi Likuifaksi |
| 2,8        | 86,27                   | 8460,154          | 32,885   | 32,885    | 1,908 | 146,562 | 0,979 | 0,254 | 0,469 | 1,845 | Tidak Terjadi Likuifaksi |
| 3          | 95,05                   | 9321,173          | 35,414   | 35,414    | 1,866 | 155,605 | 0,977 | 0,254 | 0,540 | 2,127 | Tidak Terjadi Likuifaksi |
| 3,2        | 105,9                   | 10385,19          | 37,944   | 37,944    | 1,937 | 167,488 | 0,976 | 0,254 | 1,467 | 5,783 | Tidak Terjadi Likuifaksi |
| 3,4        | 103,32                  | 10132,18          | 40,474   | 40,474    | 1,728 | 158,219 | 0,974 | 0,253 | 0,381 | 1,505 | Tidak Terjadi Likuifaksi |

**Lanjutan Tabel 5.24 Rekapitulasi Hasil Analisis Potensi Likuifaksi CPT-03**

| Depth<br>m | qc (kN/m <sup>2</sup> ) |                   | $\sigma$<br>kN/m <sup>2</sup> | $\sigma'$<br>kN/m <sup>2</sup> | IC    | qcIN    | rd    | CSR   | CRR   | FS    | STATUS                   |
|------------|-------------------------|-------------------|-------------------------------|--------------------------------|-------|---------|-------|-------|-------|-------|--------------------------|
|            | kg/cm <sup>2</sup>      | kN/m <sup>2</sup> |                               |                                |       |         |       |       |       |       |                          |
| 3,6        | 109                     | 10689,19          | 43,003                        | 43,003                         | 1,767 | 161,933 | 0,972 | 0,253 | 0,469 | 1,854 | Tidak Terjadi Likuifaksi |
| 3,8        | 113,65                  | 11145,2           | 45,533                        | 45,239                         | 1,818 | 164,617 | 0,971 | 0,254 | 0,616 | 2,424 | Tidak Terjadi Likuifaksi |
| 4          | 119,85                  | 11753,21          | 48,172                        | 45,915                         | 1,912 | 172,314 | 0,969 | 0,264 | 1,592 | 6,020 | Tidak Terjadi Likuifaksi |
| 4,2        | 120,37                  | 11804,2           | 50,810                        | 46,592                         | 1,865 | 171,800 | 0,968 | 0,274 | 1,083 | 3,946 | Tidak Terjadi Likuifaksi |



Berdasarkan pada hasil perhitungan CPT di titik CPT-03 didapatkan grafik seperti pada Gambar 5.12 yang berisikan sumbu x terdiri dari 3 variabel yaitu nilai CSR, CRR, dan FS dan pada sumbu y merupakan kedalaman titik uji pada CPT. Dimana apabila nilai FS kurang dari 1 menunjukkan bahwa pada kedalaman tersebut mengalami potensi likuifaksi. Pada titik ini potensi likuifaksi terjadi di beberapa lapisan tanah dan secara garis besar dapat disimpulkan terjadi hingga kedalaman 2 meter.



**Gambar 5.12 Grafik CSR, CRR, FS vs Kedalaman (CPT-03)**

d. CPT-07

Rekapitulasi hasil potensi likuifaksi pada titik CPT-07 dapat dilihat pada Tabel 5.25 dan Gambar 5.13 berikut ini.

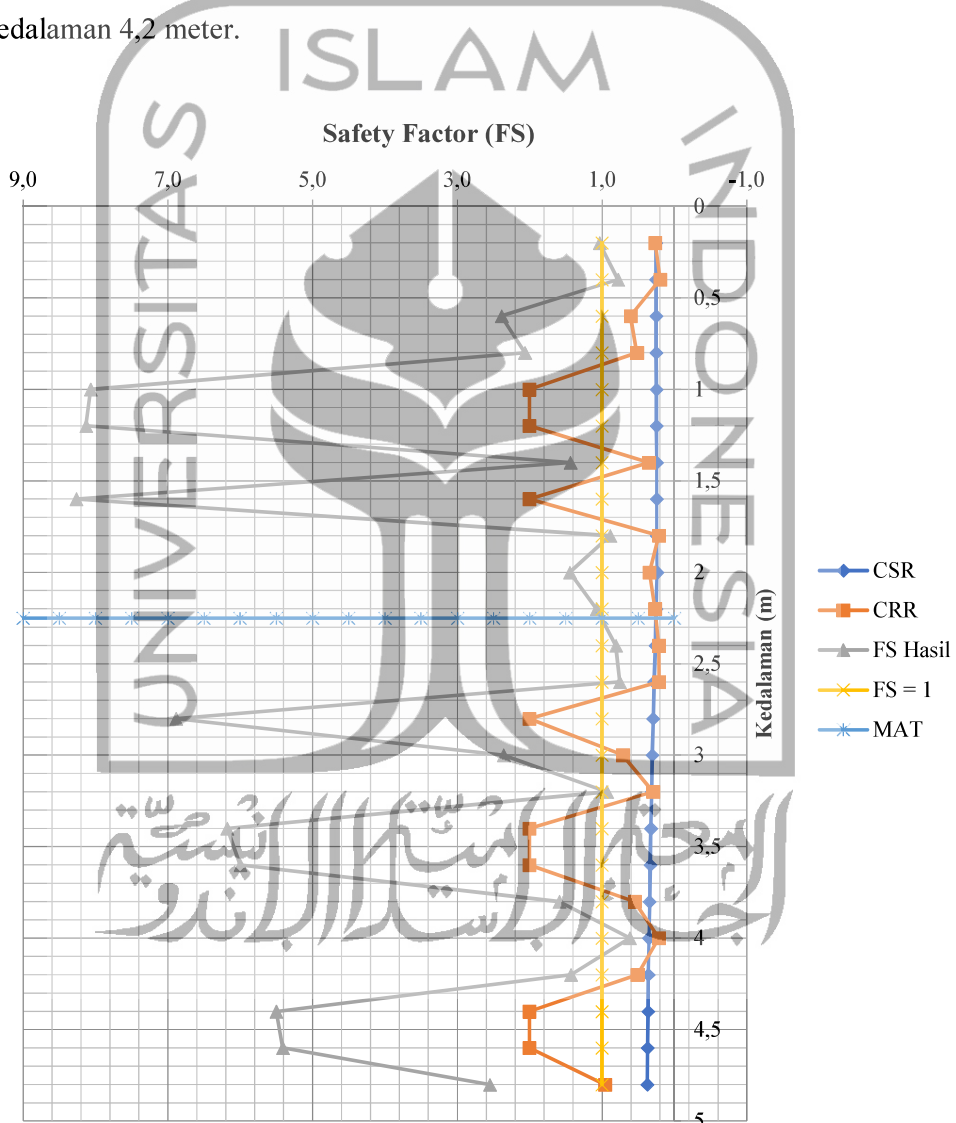
**Tabel 5.25 Rekapitulasi Hasil Analisis Potensi Likuifaksi CPT-07**

| Depth<br>m | qc (kN/m <sup>2</sup> ) |                   | $\sigma$ | $\sigma'$ | IC    | qcIN    | rd    | CSR   | CRR   | FS    | STATUS                   |
|------------|-------------------------|-------------------|----------|-----------|-------|---------|-------|-------|-------|-------|--------------------------|
|            | kg/cm <sup>2</sup>      | kN/m <sup>2</sup> |          |           |       |         |       |       |       |       |                          |
| 0,2        | 0                       | 0                 | 0        | 0         | 0     | 0       | 0     | 0     | 0     | 0     |                          |
| 0,4        | 21,7                    | 2128,032          | 2,530    | 2,530     | 1,813 | 132,921 | 0,985 | 0,256 | 0,264 | 1,031 | Tidak Terjadi Likuifaksi |
| 0,6        | 29,45                   | 2888,044          | 5,059    | 5,059     | 1,650 | 127,557 | 0,977 | 0,254 | 0,198 | 0,779 | Likuifaksi               |
| 0,8        | 48,56                   | 4762,085          | 7,589    | 7,589     | 1,747 | 171,732 | 0,969 | 0,252 | 0,602 | 2,389 | Tidak Terjadi Likuifaksi |
| 1          | 55,28                   | 5421,088          | 10,118   | 10,118    | 1,727 | 169,306 | 0,962 | 0,250 | 0,516 | 2,065 | Tidak Terjadi Likuifaksi |
| 1,2        | 57,86                   | 5674,099          | 12,648   | 12,648    | 2,073 | 158,499 | 0,954 | 0,248 | 2,000 | 8,062 | Tidak Terjadi Likuifaksi |
| 1,4        | 57,86                   | 5674,099          | 15,178   | 15,178    | 2,341 | 144,690 | 0,946 | 0,246 | 2,000 | 8,128 | Tidak Terjadi Likuifaksi |
| 1,6        | 60,44                   | 5927,109          | 17,707   | 17,707    | 1,877 | 139,930 | 0,939 | 0,244 | 0,351 | 1,436 | Tidak Terjadi Likuifaksi |
| 1,8        | 64,58                   | 6333,102          | 20,237   | 20,237    | 2,144 | 139,858 | 0,931 | 0,242 | 2,000 | 8,261 | Tidak Terjadi Likuifaksi |
| 2          | 61,99                   | 6079,111          | 22,766   | 22,766    | 1,727 | 126,571 | 0,924 | 0,240 | 0,213 | 0,887 | Likuifaksi               |
| 2,2        | 63,54                   | 6231,114          | 25,296   | 25,296    | 2,015 | 123,078 | 0,916 | 0,238 | 0,344 | 1,443 | Tidak Terjadi Likuifaksi |
| 2,4        | 64,06                   | 6282,108          | 27,826   | 26,354    | 1,939 | 121,569 | 0,908 | 0,249 | 0,268 | 1,074 | Tidak Terjadi Likuifaksi |
| 2,6        | 63,03                   | 6181,1            | 30,355   | 26,922    | 1,830 | 118,347 | 0,901 | 0,264 | 0,213 | 0,806 | Likuifaksi               |
| 2,8        | 63,03                   | 6181,1            | 32,885   | 27,489    | 1,833 | 117,119 | 0,893 | 0,278 | 0,210 | 0,756 | Likuifaksi               |
| 3          | 64,06                   | 6282,108          | 35,414   | 28,057    | 2,427 | 117,822 | 0,885 | 0,291 | 2,000 | 6,884 | Tidak Terjadi Likuifaksi |
| 3,2        | 63,03                   | 6181,1            | 37,944   | 28,625    | 2,190 | 114,773 | 0,878 | 0,302 | 0,714 | 2,359 | Tidak Terjadi Likuifaksi |
| 3,4        | 68,71                   | 6738,115          | 40,474   | 29,192    | 1,954 | 123,893 | 0,870 | 0,314 | 0,292 | 0,931 | Likuifaksi               |

**Lanjutan Tabel 5.25 Rekapitulasi Hasil Analisis Potensi Likuifaksi CPT-07**

| Depth<br>m | qc (kN/m <sup>2</sup> ) |          | $\sigma$<br>kg/cm <sup>2</sup> | $\sigma'$<br>kN/m <sup>2</sup> | IC    | qcIN    | rd    | CSR   | CRR   | FS    | STATUS                   |
|------------|-------------------------|----------|--------------------------------|--------------------------------|-------|---------|-------|-------|-------|-------|--------------------------|
|            |                         |          |                                |                                |       |         |       |       |       |       |                          |
| 3,6        | 76,46                   | 7498,126 | 43,003                         | 29,760                         | 2,209 | 136,546 | 0,862 | 0,324 | 2,000 | 6,173 | Tidak Terjadi Likuifaksi |
| 3,8        | 84,72                   | 8308,152 | 45,533                         | 30,327                         | 2,220 | 149,875 | 0,855 | 0,334 | 2,000 | 5,995 | Tidak Terjadi Likuifaksi |
| 4          | 86,79                   | 8511,148 | 48,172                         | 31,004                         | 1,900 | 151,852 | 0,847 | 0,342 | 0,544 | 1,590 | Tidak Terjadi Likuifaksi |
| 4,2        | 77,49                   | 7599,134 | 50,810                         | 31,681                         | 1,561 | 134,124 | 0,839 | 0,350 | 0,214 | 0,612 | Likuifaksi               |
| 4,4        | 75,42                   | 7396,138 | 53,449                         | 32,358                         | 0,000 | 129,169 | 0,832 | 0,357 | 0,510 | 1,427 | Tidak Terjadi Likuifaksi |
| 4,6        | 80,59                   | 7903,139 | 56,088                         | 33,035                         | 1,000 | 136,602 | 0,824 | 0,364 | 2,000 | 5,498 | Tidak Terjadi Likuifaksi |
| 4,8        | 105,9                   | 10385,19 | 58,727                         | 33,711                         | 2,000 | 177,692 | 0,816 | 0,370 | 2,000 | 5,409 | Tidak Terjadi Likuifaksi |
| 5          | 117,79                  | 11551,19 | 61,366                         | 34,388                         | 3,000 | 195,688 | 0,809 | 0,375 | 0,957 | 2,550 | Tidak Terjadi Likuifaksi |

Berdasarkan pada hasil perhitungan CPT di titik CPT-07 didapatkan grafik seperti pada Gambar 5.13 yang berisikan sumbu x terdiri dari 3 variabel yaitu nilai CSR, CRR, dan FS dan pada sumbu y merupakan kedalaman titik uji pada CPT. Dimana apabila nilai FS kurang dari 1 menunjukkan bahwa pada kedalaman tersebut mengalami potensi likuifaksi. Pada titik ini potensi likuifaksi terjadi di beberapa lapisan tanah dan secara garis besar dapat disimpulkan terjadi hingga kedalaman 4,2 meter.



**Gambar 5.13 Grafik CSR, CRR, FS vs Kedalaman (CPT-07)**

e. CPT-09

Rekapitulasi hasil potensi likuifaksi pada titik CPT-09 dapat dilihat pada Tabel 5.26 dan Gambar 5.14 berikut ini.

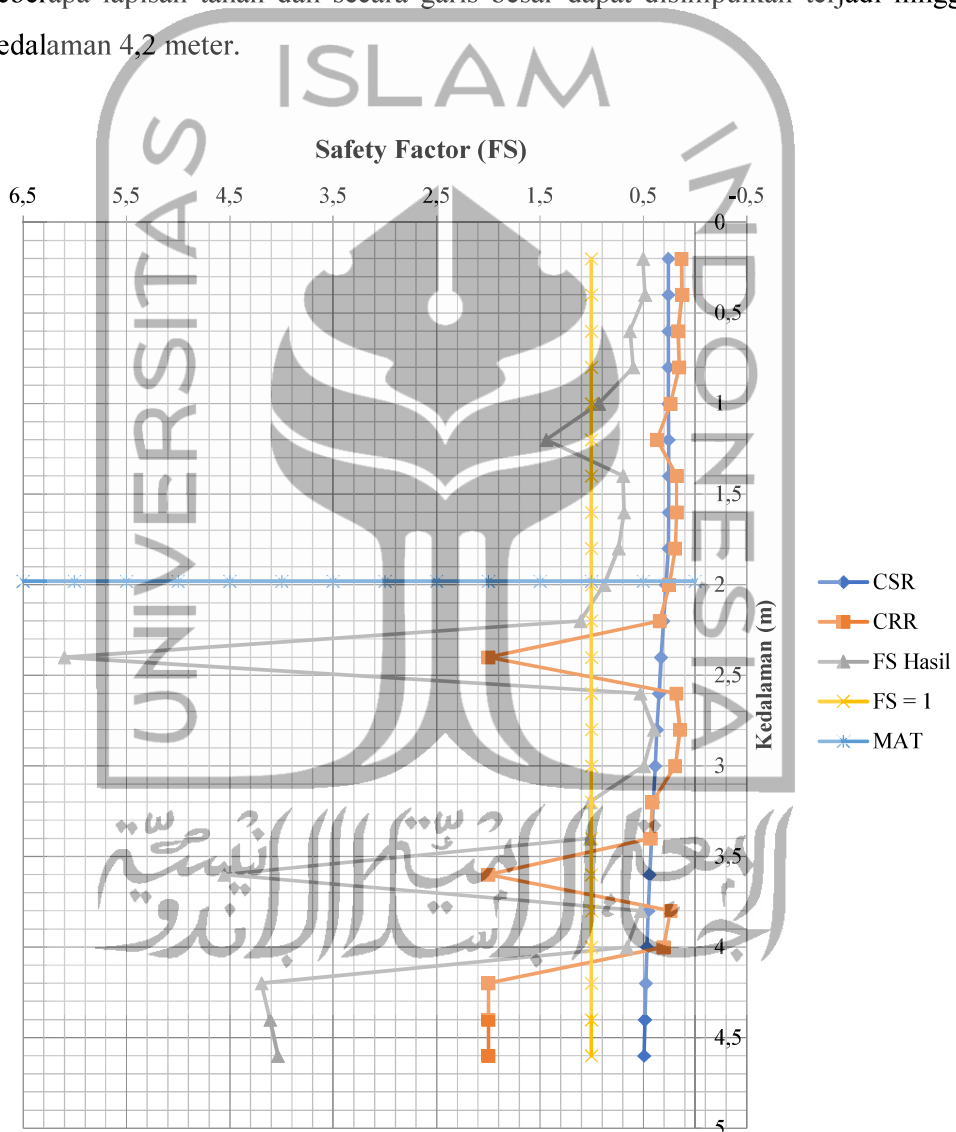
**Tabel 5.26 Rekapitulasi Hasil Analisis Potensi Likuifaksi CPT-09**

| Depth<br>m | qc (kN/m <sup>2</sup> ) |                   | $\sigma$ | $\sigma'$ | IC    | qcIN    | rd    | CSR   | CRR   | FS    | STATUS                   |
|------------|-------------------------|-------------------|----------|-----------|-------|---------|-------|-------|-------|-------|--------------------------|
|            | kg/cm <sup>2</sup>      | kN/m <sup>2</sup> |          |           |       |         |       |       |       |       |                          |
| 0,2        | 0                       | 0                 | 0        | 0         | 0     | 0       | 0     | 0     | 0     | 0     |                          |
| 0,4        | 13,43                   | 1317,026          | 2,214    | 2,214     | 1,720 | 87,932  | 0,997 | 0,259 | 0,131 | 0,504 | Likuifaksi               |
| 0,6        | 19,11                   | 1874,041          | 4,428    | 4,428     | 1,618 | 88,474  | 0,995 | 0,259 | 0,125 | 0,482 | Likuifaksi               |
| 0,8        | 27,38                   | 2685,047          | 6,642    | 6,642     | 1,759 | 103,501 | 0,994 | 0,258 | 0,163 | 0,629 | Likuifaksi               |
| 1          | 30,48                   | 2989,052          | 8,856    | 8,856     | 1,747 | 99,783  | 0,992 | 0,258 | 0,154 | 0,597 | Likuifaksi               |
| 1,2        | 48,56                   | 4762,085          | 11,070   | 11,070    | 1,623 | 142,189 | 0,991 | 0,258 | 0,240 | 0,931 | Likuifaksi               |
| 1,4        | 44,43                   | 4357,072          | 13,284   | 13,284    | 2,067 | 118,761 | 0,989 | 0,257 | 0,370 | 1,440 | Tidak Terjadi Likuifaksi |
| 1,6        | 33,58                   | 3293,056          | 15,498   | 15,498    | 2,091 | 83,100  | 0,988 | 0,257 | 0,179 | 0,696 | Likuifaksi               |
| 1,8        | 34,61                   | 3394,064          | 17,712   | 17,712    | 2,112 | 80,118  | 0,986 | 0,256 | 0,176 | 0,686 | Likuifaksi               |
| 2          | 48,04                   | 4711,091          | 19,926   | 19,730    | 1,900 | 105,366 | 0,985 | 0,259 | 0,191 | 0,740 | Likuifaksi               |
| 2,2        | 58,89                   | 5775,107          | 22,380   | 20,222    | 1,836 | 127,583 | 0,983 | 0,283 | 0,249 | 0,880 | Likuifaksi               |
| 2,4        | 63,54                   | 6231,114          | 24,834   | 20,714    | 1,901 | 136,012 | 0,982 | 0,306 | 0,339 | 1,108 | Tidak Terjadi Likuifaksi |
| 2,6        | 60,96                   | 5978,103          | 27,288   | 21,206    | 2,387 | 128,967 | 0,980 | 0,328 | 2,000 | 6,099 | Tidak Terjadi Likuifaksi |
| 2,8        | 48,56                   | 4762,085          | 29,742   | 21,698    | 1,916 | 101,562 | 0,979 | 0,349 | 0,185 | 0,529 | Likuifaksi               |
| 3          | 42,36                   | 4154,076          | 32,196   | 22,190    | 1,874 | 87,607  | 0,977 | 0,369 | 0,146 | 0,396 | Likuifaksi               |
| 3,2        | 53,21                   | 5218,092          | 34,650   | 22,682    | 1,859 | 108,847 | 0,976 | 0,387 | 0,192 | 0,495 | Likuifaksi               |
| 3,4        | 69,74                   | 6839,123          | 37,104   | 23,174    | 1,919 | 141,138 | 0,974 | 0,405 | 0,412 | 1,016 | Tidak Terjadi Likuifaksi |

**Lanjutan Tabel 5.26 Rekapitulasi Hasil Analisis Potensi Likuifaksi CPT-09**

| Depth<br>m | qc (kN/m <sup>2</sup> ) |                   | $\sigma$<br>kg/cm <sup>2</sup> | $\sigma'$<br>kN/m <sup>2</sup> | IC    | qcIN    | rd    | CSR   | CRR   | FS    | STATUS                   |
|------------|-------------------------|-------------------|--------------------------------|--------------------------------|-------|---------|-------|-------|-------|-------|--------------------------|
|            | m                       | kN/m <sup>2</sup> |                                |                                |       |         |       |       |       |       |                          |
| 3,6        | 77,49                   | 7599,134          | 39,558                         | 23,666                         | 1,803 | 155,183 | 0,972 | 0,423 | 0,430 | 1,017 | Tidak Terjadi Likuifaksi |
| 3,8        | 81,11                   | 7954,133          | 42,012                         | 24,158                         | 2,019 | 160,770 | 0,971 | 0,439 | 2,000 | 4,556 | Tidak Terjadi Likuifaksi |
| 4          | 72,32                   | 7092,133          | 44,466                         | 24,650                         | 1,537 | 141,910 | 0,969 | 0,455 | 0,239 | 0,526 | Likuifaksi               |
| 4,2        | 74,91                   | 7346,124          | 47,322                         | 25,544                         | 1,772 | 144,397 | 0,968 | 0,466 | 0,307 | 0,658 | Likuifaksi               |
| 4,4        | 92,99                   | 9119,157          | 50,178                         | 26,438                         | 2,042 | 176,191 | 0,966 | 0,477 | 2,000 | 4,194 | Tidak Terjadi Likuifaksi |
| 4,6        | 105,39                  | 10335,18          | 53,034                         | 27,332                         | 2,058 | 196,393 | 0,965 | 0,487 | 2,000 | 4,109 | Tidak Terjadi Likuifaksi |
| 4,8        | 115,2                   | 11297,2           | 55,890                         | 28,226                         | 1,792 | 211,246 | 0,963 | 0,496 | 2,000 | 4,033 | Tidak Terjadi Likuifaksi |

Berdasarkan pada hasil perhitungan CPT di titik CPT-09 didapatkan grafik seperti pada Gambar 5.14 yang berisikan sumbu x terdiri dari 3 variabel yaitu nilai CSR, CRR, dan FS dan pada sumbu y merupakan kedalaman titik uji pada CPT. Dimana apabila nilai FS kurang dari 1 menunjukkan bahwa pada kedalaman tersebut mengalami potensi likuifaksi. Pada titik ini potensi likuifaksi terjadi di beberapa lapisan tanah dan secara garis besar dapat disimpulkan terjadi hingga kedalaman 4,2 meter.



**Gambar 5.14 Grafik CSR, CRR, FS vs Kedalaman (CPT-09)**

f. CPT-11

Rekapitulasi hasil potensi likuifaksi pada titik CPT-11 dapat dilihat pada Tabel 5.27 dan Gambar 5.15 berikut ini.

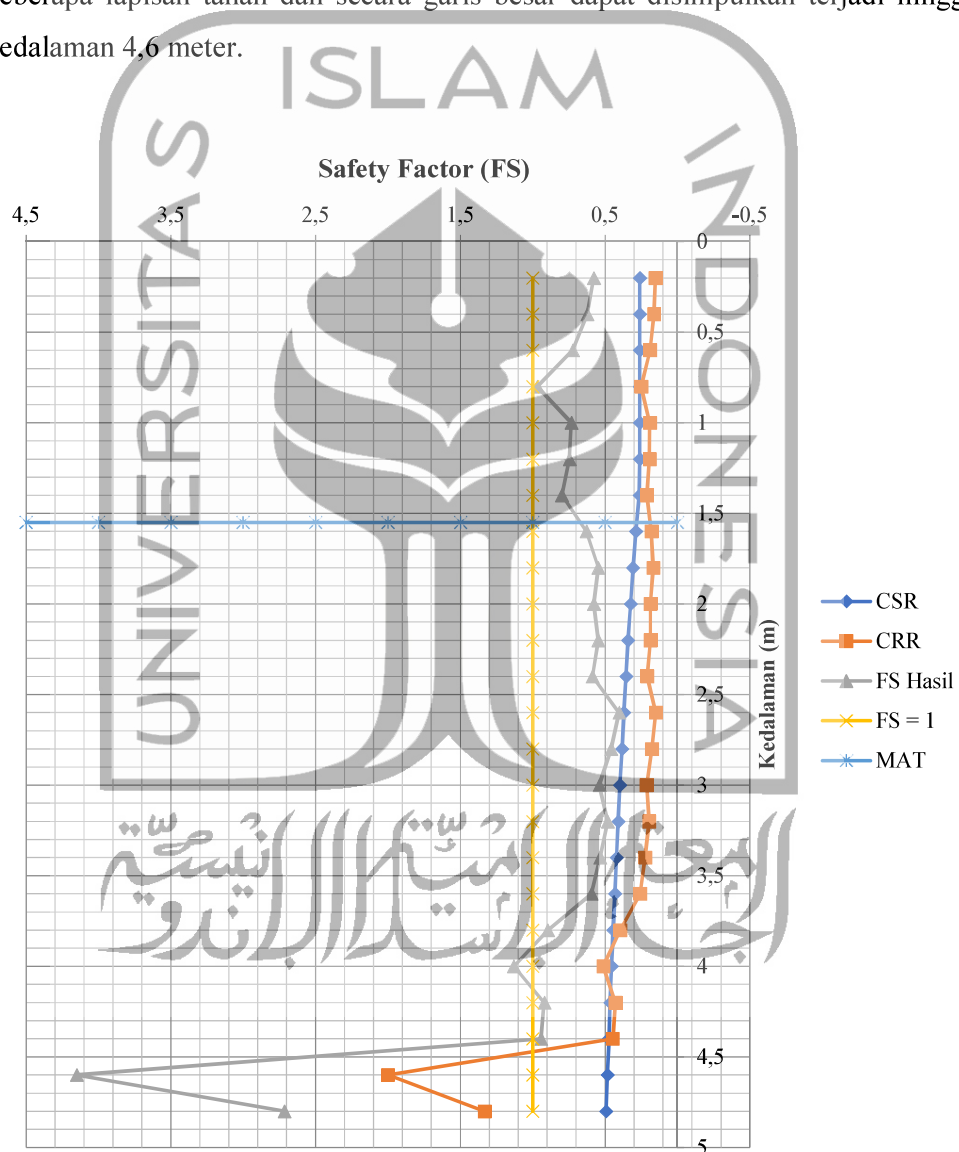
**Tabel 5.27 Rekapitulasi Hasil Analisis Potensi Likuifaksi CPT-11**

| Depth<br>m | qc (kN/m <sup>2</sup> ) |                   | $\sigma$<br>kN/m <sup>2</sup> | $\sigma'$<br>kN/m <sup>2</sup> | IC    | qcIN    | rd    | CSR   | CRR   | FS    | STATUS     |
|------------|-------------------------|-------------------|-------------------------------|--------------------------------|-------|---------|-------|-------|-------|-------|------------|
|            | kg/cm <sup>2</sup>      | kN/m <sup>2</sup> |                               |                                |       |         |       |       |       |       |            |
| 0,2        |                         |                   |                               |                                |       |         |       |       |       |       |            |
| 0,4        | 17,56                   | 1722,039          | 3,044                         | 3,044                          | 1,737 | 98,053  | 0,997 | 0,259 | 0,150 | 0,577 | Likuifaksi |
| 0,6        | 27,9                    | 2736,041          | 6,088                         | 6,088                          | 1,651 | 110,161 | 0,995 | 0,259 | 0,161 | 0,622 | Likuifaksi |
| 0,8        | 38,23                   | 3749,063          | 9,132                         | 9,132                          | 1,463 | 123,248 | 0,994 | 0,258 | 0,187 | 0,722 | Likuifaksi |
| 1          | 48,04                   | 4711,091          | 12,176                        | 12,176                         | 1,761 | 134,125 | 0,992 | 0,258 | 0,249 | 0,966 | Likuifaksi |
| 1,2        | 48,56                   | 4762,085          | 15,220                        | 15,220                         | 1,680 | 121,264 | 0,991 | 0,258 | 0,189 | 0,733 | Likuifaksi |
| 1,4        | 51,66                   | 5066,09           | 18,264                        | 18,264                         | 1,738 | 117,765 | 0,989 | 0,257 | 0,191 | 0,744 | Likuifaksi |
| 1,6        | 56,31                   | 5522,096          | 21,308                        | 20,818                         | 1,793 | 120,235 | 0,988 | 0,263 | 0,210 | 0,797 | Likuifaksi |
| 1,8        | 54,24                   | 5319,1            | 24,352                        | 21,900                         | 1,733 | 112,918 | 0,986 | 0,285 | 0,179 | 0,627 | Likuifaksi |
| 2          | 55,28                   | 5421,088          | 27,396                        | 22,982                         | 1,660 | 112,341 | 0,985 | 0,305 | 0,166 | 0,545 | Likuifaksi |
| 2,2        | 61,99                   | 6079,111          | 30,440                        | 24,064                         | 1,634 | 123,113 | 0,983 | 0,323 | 0,186 | 0,576 | Likuifaksi |
| 2,4        | 60,44                   | 5927,109          | 33,484                        | 25,146                         | 1,711 | 117,423 | 0,982 | 0,340 | 0,185 | 0,546 | Likuifaksi |
| 2,6        | 59,41                   | 5826,101          | 36,528                        | 26,228                         | 1,878 | 113,016 | 0,980 | 0,355 | 0,208 | 0,587 | Likuifaksi |
| 2,8        | 54,24                   | 5319,1            | 39,572                        | 27,310                         | 1,678 | 101,117 | 0,979 | 0,369 | 0,148 | 0,402 | Likuifaksi |
| 3          | 54,24                   | 5319,1            | 42,616                        | 28,392                         | 1,896 | 99,171  | 0,977 | 0,381 | 0,174 | 0,457 | Likuifaksi |
| 3,2        | 54,76                   | 5370,094          | 45,255                        | 29,068                         | 2,037 | 98,950  | 0,976 | 0,395 | 0,213 | 0,539 | Likuifaksi |
| 3,4        | 56,83                   | 5573,091          | 47,894                        | 29,745                         | 1,961 | 101,515 | 0,974 | 0,408 | 0,196 | 0,480 | Likuifaksi |

**Lanjutan Tabel 5.27 Rekapitulasi Hasil Analisis Potensi Likuifaksi CPT-11**

| Depth<br>m | qc (kN/m <sup>2</sup> ) |                   | $\sigma$ | $\sigma'$ | IC    | qcIN    | rd    | CSR   | CRR   | FS    | STATUS                   |
|------------|-------------------------|-------------------|----------|-----------|-------|---------|-------|-------|-------|-------|--------------------------|
|            | kg/cm <sup>2</sup>      | kN/m <sup>2</sup> |          |           |       |         |       |       |       |       |                          |
| 3,6        | 61,99                   | 6079,111          | 50,532   | 30,422    | 1,962 | 109,494 | 0,972 | 0,420 | 0,223 | 0,532 | Likuifaksi               |
| 3,8        | 73,36                   | 7194,122          | 53,171   | 31,099    | 1,847 | 128,159 | 0,971 | 0,432 | 0,256 | 0,594 | Likuifaksi               |
| 4          | 77,49                   | 7599,134          | 55,810   | 31,776    | 1,968 | 133,924 | 0,969 | 0,443 | 0,396 | 0,894 | Likuifaksi               |
| 4,2        | 87,31                   | 8562,142          | 58,449   | 32,452    | 1,907 | 149,314 | 0,968 | 0,453 | 0,512 | 1,129 | Tidak Terjadi Likuifaksi |
| 4,4        | 96,09                   | 9423,162          | 61,088   | 33,129    | 0,000 | 162,642 | 0,966 | 0,463 | 0,426 | 0,920 | Likuifaksi               |
| 4,6        | 103,32                  | 10132,18          | 63,726   | 33,806    | 1,000 | 173,120 | 0,965 | 0,473 | 0,446 | 0,942 | Likuifaksi               |
| 4,8        | 113,65                  | 11145,2           | 66,365   | 34,483    | 2,000 | 188,551 | 0,963 | 0,482 | 2,000 | 4,149 | Tidak Terjadi Likuifaksi |
| 5          | 118,82                  | 11652,2           | 69,004   | 35,160    | 3,000 | 195,222 | 0,962 | 0,491 | 1,332 | 2,714 | Tidak Terjadi Likuifaksi |

Berdasarkan pada hasil perhitungan CPT di titik CPT-11 didapatkan grafik seperti pada Gambar 5.15 yang berisikan sumbu x terdiri dari 3 variabel yaitu nilai CSR, CRR, dan FS dan pada sumbu y merupakan kedalaman titik uji pada CPT. Dimana apabila nilai FS kurang dari 1 menunjukkan bahwa pada kedalaman tersebut mengalami potensi likuifaksi. Pada titik ini potensi likuifaksi terjadi di beberapa lapisan tanah dan secara garis besar dapat disimpulkan terjadi hingga kedalaman 4,6 meter.



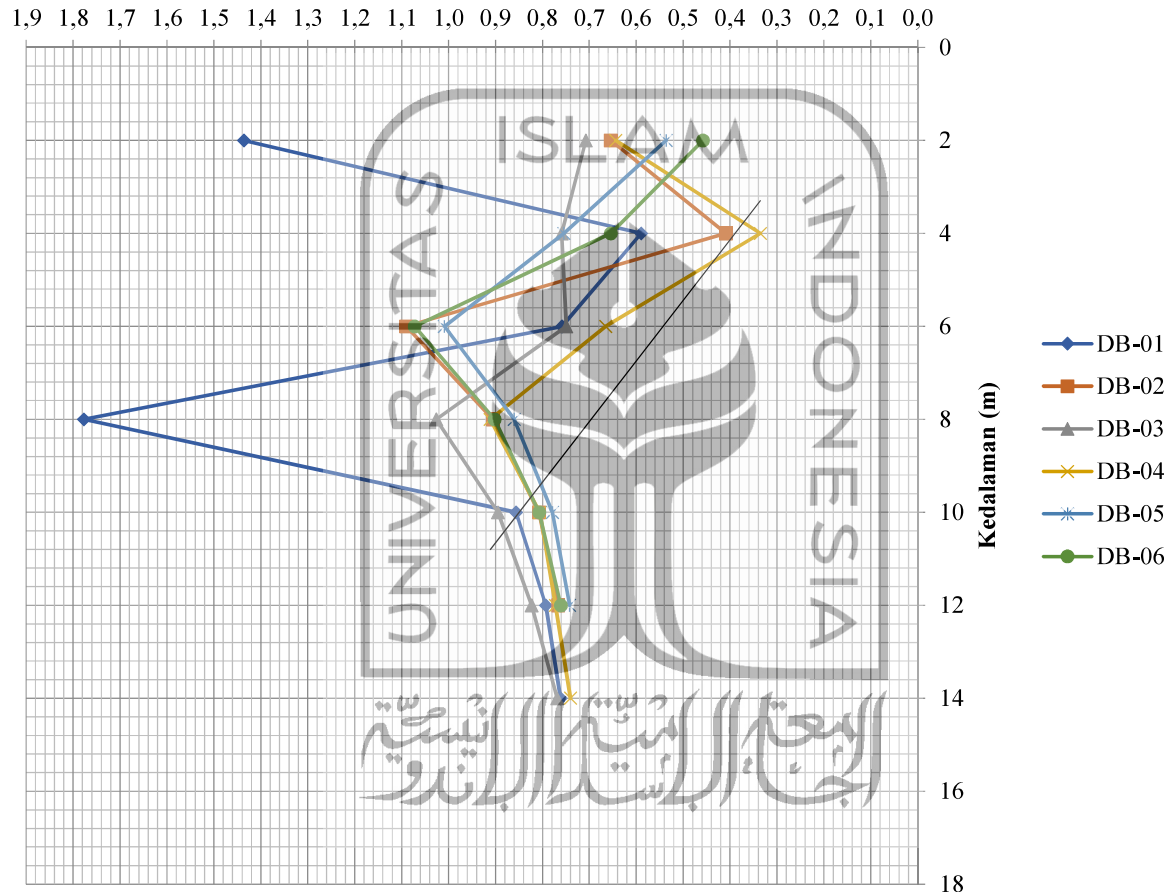
Gambar 5.15 Grafik CSR, CRR, FS vs Kedalaman (CPT-11)

Berdasarkan hasil perhitungan dari 6 titik landasan pacu dari data SPT di titik DB-01, DB-02, DB-03, DB-04, DB-05, DB-06 dan CPT di titik CPT-01, CPT-02, CPT-03, CPT-07, CPT-09, CPT-11 sebelum dilakukan pemedatan diatas dapat diperoleh hasil bahwa terdapat potensi terjadinya likufaksi pada Proyek Pembangunan *New Yogyakarta International Airport* (NYIA). Terdapat 5 garis tinjauan pada grafik hasil pengolahan data, yaitu garis berwarna biru tua menggambarkan nilai CSR, garis berwarna jingga menggambarkan nilai CRR, garis berwarna abu-abu menggambarkan nilai FS, garis berwarna biru muda menggambarkan nilai muka air tanah pada titik tersebut, dan garis kuning menggambarkan faktor keamanan. Apabila garis berwarna abu-abu yakni yang menunjukkan nilai FS tidak melebihi garis berwarna kuning, yakni garis faktor keamanan, berarti menunjukkan bahwa adanya potensi terjadi likuifaksi di daerah tersebut. Namun sebaliknya, jika garis berwarna abu-abu yakni yang menunjukkan nilai FS melebihi garis berwarna kuning, yakni garis faktor keamanan, berarti menunjukkan bahwa adanya potensi terjadi likuifaksi di daerah tersebut.

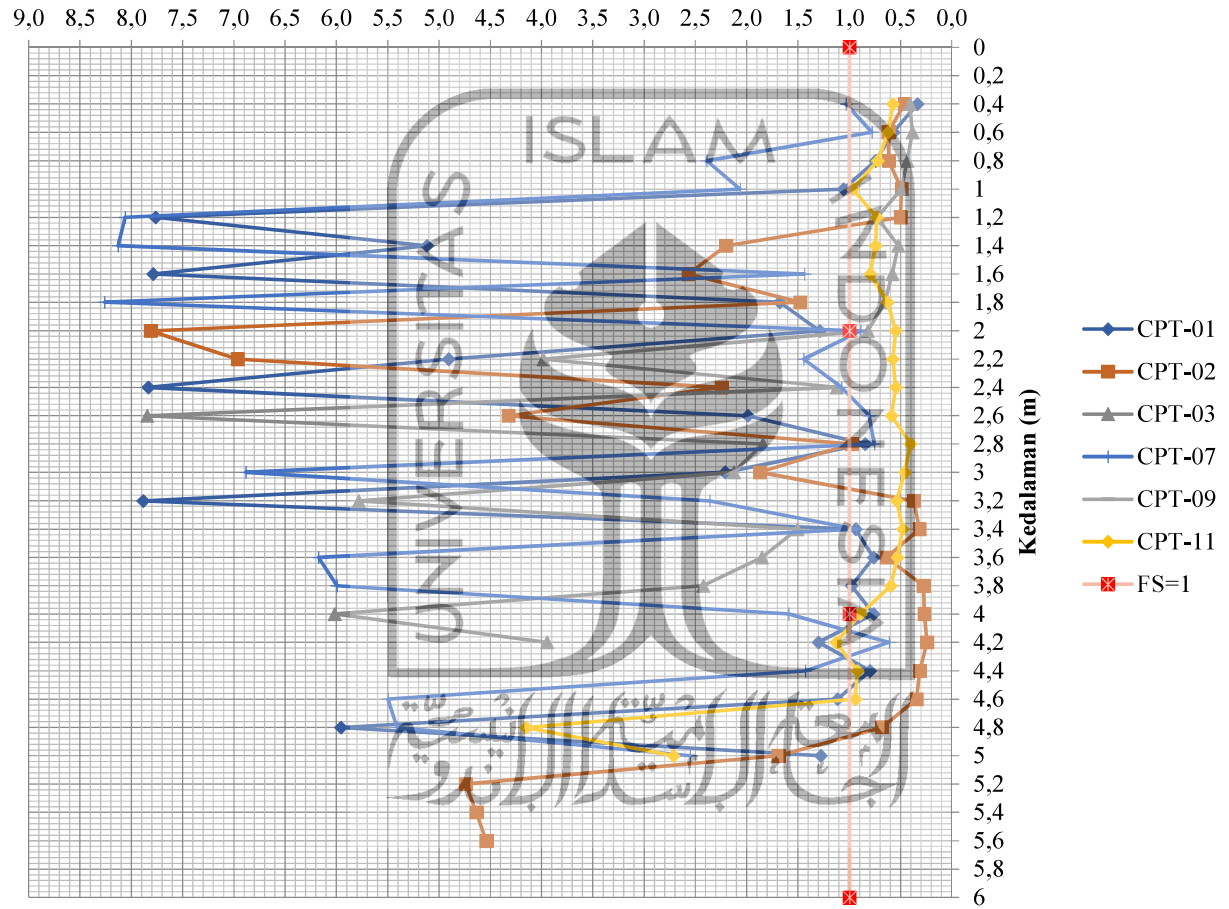
Jika melihat dari jenis tanah di lokasi Proyek Pembangunan *New Yogyakarta International Airport* (NYIA) termasuk jenis tanah berpasir yang berarti tanah tersebut memiliki gradasi butiran yang kurang baik. Selain itu jika dilihat dari nilai  $(N_1)_{60}$  maka pada setiap titik mempunyai nilai  $< 30$  yang menurut Youd T.L dan Idriss jika nilai  $(N_1)_{60}$  maka tanah tersebut rentan terhadap likuifaksi dan tanah tersebut tidak kuat menahan beban seismik.

Pada 6 titik yang telah ditinjau untuk dianalisis dengan menggunakan data SPT dapat diketahui bahwa seluruh titik berpotensi terjadinya likuifaksi, yaitu DB-01, DB-02, DB-03, DB-04, DB-05, DB-06. Namun terdapat beberapa kedalaman lapisan tanah pada titik tinjauan yang memiliki nilai  $(N_1)_{60} \geq 30$  sehingga diklasifikasikan sebagai tanah yang tidak memiliki potensi likuifaksi.

Pada 6 titik yang telah ditinjau untuk dianalisis dengan menggunakan data CPT dapat diketahui bahwa seluruh titik berpotensi terjadinya likuifaksi, yaitu CPT-01,CPT-2, CPT-03, CPT-07, CPT-09, CPT-11. Namun terdapat beberapa kedalaman lapisan tanah dari masing-masing keenam titik tersebut yang memiliki nilai FS  $< 1$  sehingga tidak memiliki potensi likuifaksi.



Gambar 5.16 Grafik FS vs Kedalaman Berdasarkan Nilai SPT



Gambar 5.17 Grafik FS vs Kedalaman Berdasarkan Nilai CPT

## 5.2 Analisis Potensi Likuifaksi Setelah Pemadatan

### 5.2.1 Data Tanah

Berdasarkan data Uji Lapangan yang didapatkan oleh Menard, diperoleh data SPT terbaru setelah dilaksanakan pemadatan dengan metode *Dynamic Compaction*.

Titik tinjauan *deep bore* pada landasan pacu terdapat 6 titik yaitu DB-01, DB-02, DB-03, DB-04, DB-05, DB-06. Detail lokasi setiap titik *deep bore* pada landasan pacu dapat dilihat pada Lampiran 9 dan data tanah pada setiap titik *deep bore* dapat dilihat pada Tabel 5.28 berikut ini.

**Tabel 5.28 Data SPT**

| No. | <i>Bore Hole</i> | Koordinat |         | Kedalaman<br>(m) | MAT<br>(m) |
|-----|------------------|-----------|---------|------------------|------------|
|     |                  | X         | Y       |                  |            |
| 1   | DB-01            | 397818    | 9125420 | 14               | 3,2        |
| 2   | DB-02            | 397540    | 9125519 | 12               | 2,7        |
| 3   | DB-03            | 937246    | 9125626 | 14               | 3,77       |
| 4   | DB-04            | 396961    | 9125732 | 14               | 2,7        |
| 5   | DB-05            | 396695    | 9125825 | 12               | 2,2        |
| 6   | DB-06            | 396334    | 9125937 | 12               | 2,4        |

(Sumber : PPBIY, 2017)

Titik tinjauan sondir diambil sebanyak 6 titik yaitu CPT-01, CPT-02, CPT-03, CPT-07, CPT-09, CPT-11. Letak lokasi setiap sampel titik sondir dapat dilihat pada Lampiran 10 dan data tanah pada setiap titik dapat dilihat pada Tabel 5.29 berikut ini.

**Tabel 5.29 Data CPT**

| No. | <i>Bore Hole</i> | Kedalaman<br>(m) | MAT<br>(m) |
|-----|------------------|------------------|------------|
| 1   | CPT-01           | 5                | 4,4        |
| 2   | CPT-02           | 5,8              | 5,2        |
| 3   | CPT-03           | 4,4              | 4,2        |
| 4   | CPT-07           | 4,4              | 5          |
| 5   | CPT-09           | 5,2              | 4,8        |
| 6   | CPT-11           | 5,2              | 5          |

(Sumber : PPBIY, 2017)

### 5.2.2 Analisis Data SPT

Perhitungan *Bore Hole* DB-01. Data dapat dilihat pada Lampiran 5.

Data Umum :

Kedalaman lapisan (z) : 10 meter

Muka air tanah : 2,7 meter

$a_{max}$  : 0,4 g

Percepatan gravitasi (g) : 9,81 m/s<sup>2</sup>

Berat volume air ( $\gamma_w$ ) : 9,81 kN/m<sup>3</sup>

#### 1. Perhitungan tegangan efektif ( $\sigma$ )

##### a. Lapisan 1

$$\begin{aligned} \text{Tegangan total } (\sigma_1) &= h \times \gamma \\ &= 0,65 \times 12,438 \\ &= 8,0847 \text{ kN/m}^2 \end{aligned}$$

$$\text{Tekanan angka pori } (u) = 0 \text{ kN/m}^2$$

$$\begin{aligned} \text{Tegangan efektif } (\sigma_1') &= \sigma - u \\ &= 8,0847 - 0 \\ &= 8,0847 \text{ kN/m}^2 \end{aligned}$$

##### b. Lapisan 2

$$\begin{aligned} \text{Tegangan total } (\sigma_2) &= \sigma_1 + (h \times \gamma) \\ &= 8,0847 + (1 \times 12,438) \end{aligned}$$

$$= 20,5227 \text{ kN/m}^2$$

$$\text{Tekanan angka pori } (u) = 0 \text{ kN/m}^2$$

$$\begin{aligned} \text{Tegangan efektif } (\sigma_2') &= \sigma - u \\ &= 20,5227 - 0 \\ &= 20,5227 \text{ kN/m}^2 \end{aligned}$$

##### c. Lapisan 3

$$\begin{aligned} \text{Tegangan total } (\sigma_3) &= \sigma_2 + (h \times \gamma) \\ &= 20,5227 + (1 \times 12,438) \\ &= 32,9607 \text{ kN/m}^2 \end{aligned}$$

$$\text{Tekanan angka pori } (u) = 0 \text{ kN/m}^2$$

$$\begin{aligned}
 \text{Tegangan efektif } (\sigma_3') &= \sigma - u \\
 &= 32,9607 - 0 \\
 &= 32,9607 \text{ kN/m}^2
 \end{aligned}$$

d. Lapisan 4

$$\begin{aligned}
 \text{Tegangan total } (\sigma_4) &= \sigma_3 + (h \times \gamma) \\
 &= 32,9607 + (1 \times 13,711) \\
 &= 46,6717 \text{ kN/m}^2
 \end{aligned}$$

$$\begin{aligned}
 \text{Tekanan angka pori } (u) &= h w \times \gamma_w \\
 &= 0,95 \times 9,81 \\
 &= 19,1295 \text{ kN/m}^2
 \end{aligned}$$

$$\begin{aligned}
 \text{Tegangan efektif } (\sigma_4') &= \sigma - u \\
 &= 46,6717 - 19,1295 \\
 &= 37,3522 \text{ kN/m}^2
 \end{aligned}$$

e. Lapisan 5

$$\begin{aligned}
 \text{Tegangan total } (\sigma_5) &= \sigma_4 + (h \times \gamma) \\
 &= 46,6717 + (1 \times 13,711) \\
 &= 60,3827 \text{ kN/m}^2
 \end{aligned}$$

$$\begin{aligned}
 \text{Tekanan angka pori } (u) &= h w \times \gamma_w \\
 &= 1,95 \times 9,81 \\
 &= 19,1295 \text{ kN/m}^2
 \end{aligned}$$

$$\text{Tegangan efektif } (\sigma_5') = \sigma - u$$

f. Lapisan 6

$$\begin{aligned}
 \text{Tegangan total } (\sigma_6) &= \sigma_5 + (h \times \gamma) \\
 &= 60,3827 + (1 \times 14,984) \\
 &= 75,3667 \text{ kN/m}^2
 \end{aligned}$$

$$\begin{aligned}
 \text{Tekanan angka pori } (u) &= h w \times \gamma_w \\
 &= 2,95 \times 9,81 \\
 &= 28,9395 \text{ kN/m}^2
 \end{aligned}$$

$$\text{Tegangan efektif } (\sigma_6') = \sigma - u$$

$$\begin{aligned}
 &= 75,3667 - 28,9395 \\
 &= 46,4272 \text{ kN/m}^2
 \end{aligned}$$

g. Lapisan 7

$$\begin{aligned}
 \text{Tegangan total } (\sigma_7) &= \sigma_6 + (h \times \gamma) \\
 &= 75,3667 + (1 \times 90,3507) \\
 &= 90,3507 \text{ kN/m}^2
 \end{aligned}$$

$$\begin{aligned}
 \text{Tekanan angka pori } (u) &= hw \times \gamma w \\
 &= 3,95 \times 9,81 \\
 &= 38,7495 \text{ kN/m}^2
 \end{aligned}$$

$$\begin{aligned}
 \text{Tegangan efektif } (\sigma_7') &= \sigma - u \\
 &= 90,3507 - 38,7495 \\
 &= 51,6012 \text{ kN/m}^2
 \end{aligned}$$

h. Lapisan 8

$$\begin{aligned}
 \text{Tegangan total } (\sigma_8) &= \sigma_7 + (h \times \gamma) \\
 &= 90,3507 + (1 \times 13,086) \\
 &= 103,4367 \text{ kN/m}^2
 \end{aligned}$$

$$\begin{aligned}
 \text{Tekanan angka pori } (u) &= hw \times \gamma w \\
 &= 4,95 \times 9,81 \\
 &= 48,5595 \text{ kN/m}^2
 \end{aligned}$$

$$\begin{aligned}
 \text{Tegangan efektif } (\sigma_8') &= \sigma - u \\
 &= 103,4367 - 48,5595
 \end{aligned}$$

i. Lapisan 9

$$\begin{aligned}
 \text{Tegangan total } (\sigma_9) &= \sigma_8 + (h \times \gamma) \\
 &= 103,4367 + (1 \times 13,086) \\
 &= 116,5227 \text{ kN/m}^2
 \end{aligned}$$

$$\begin{aligned}
 \text{Tekanan angka pori } (u) &= hw \times \gamma w \\
 &= 5,95 \times 9,81 \\
 &= 58,3695 \text{ kN/m}^2
 \end{aligned}$$

$$\begin{aligned}
 \text{Tegangan efektif } (\sigma_9') &= \sigma - u \\
 &= 116,5227 - 58,3695
 \end{aligned}$$

$$= 58,1532 \text{ kN/m}^2$$

j. Lapisan 10

$$\begin{aligned}\text{Tegangan total } (\sigma_8) &= \sigma_9 + (h \times \gamma) \\ &= 116,5227 + (1 \times 13,086) \\ &= 129,6087 \text{ kN/m}^2\end{aligned}$$

$$\text{Tekanan angka pori } (u) = h w \times \gamma_w$$

$$\begin{aligned}&= 6,95 \times 9,81 \\ &= 68,1795 \text{ kN/m}^2\end{aligned}$$

$$\begin{aligned}\text{Tegangan efektif } (\sigma'_8) &= \sigma - u \\ &= 129,6087 - 68,1795 \\ &= 61,4292 \text{ kN/m}^2\end{aligned}$$

## 2. Perhitungan nilai reduksi tegangan (rd)

Koefisien reduksi tegangan menunjukkan fleksibilitas profil tanah. Untuk menghitung harga rerata dari rd (Whitmann, 1986)

Syarat :

$$rd = 1,0 - 0,00765z \quad (\text{untuk } z \leq 9,15 \text{ m})$$

$$rd = 1,174 - 0,0267z \quad (\text{untuk } 9,15 < z \leq 23 \text{ m})$$

a. Lapisan 1

$$\begin{aligned}rd &= 1,0 - 0,00765 \times z \\ &= 1,0 - 0,00765 \times 0,65 \\ &= 0,99503\end{aligned}$$

b. Lapisan 2

$$\begin{aligned}rd &= 1,0 - 0,00765 \times z \\ &= 1,0 - 0,00765 \times 1,65 \\ &= 0,98738\end{aligned}$$

c. Lapisan 3

$$\begin{aligned}rd &= 1,0 - 0,00765 \times z \\ &= 1,0 - 0,00765 \times 2,65 \\ &= 0,97973\end{aligned}$$

d. Lapisan 4

$$rd = 1,0 - 0,00765 \times z$$

$$\begin{aligned}
 &= 1,0 - 0,00765 \times 3,65 \\
 &= 0,972
 \end{aligned}$$

e. Lapisan 5

$$\begin{aligned}
 rd &= 1,0 - 0,00765 \times z \\
 &= 1,0 - 0,00765 \times 4,65 \\
 &= 0,96443
 \end{aligned}$$

f. Lapisan 6

$$\begin{aligned}
 rd &= 1,0 - 0,00765 \times z \\
 &= 1,0 - 0,00765 \times 5,65 \\
 &= 0,95678
 \end{aligned}$$

g. Lapisan 7

$$\begin{aligned}
 rd &= 1,0 - 0,00765 \times z \\
 &= 1,0 - 0,00765 \times 6,65 \\
 &= 0,94913
 \end{aligned}$$

h. Lapisan 8

$$\begin{aligned}
 rd &= 1,0 - 0,00765 \times z \\
 &= 1,0 - 0,00765 \times 7,65 \\
 &= 0,94148
 \end{aligned}$$

i. Lapisan 9

$$\begin{aligned}
 rd &= 1,0 - 0,00765 \times z \\
 &= 1,0 - 0,00765 \times 8,85
 \end{aligned}$$

j. Lapisan 10

$$\begin{aligned}
 rd &= 1,174 - 0,0267 \times z \\
 &= 1,174 - 0,0267 \times 6,65 \\
 &= 0,91634
 \end{aligned}$$

### 3. Perhitungan nilai *Cyclic Stress Ratio* (CSR)

Seed dan Idriss (1971) merumuskan suatu persamaan sebagai berikut:

$$CSR = \left( \frac{\tau_{av}}{\sigma'_{vo}} \right) = 0,65 \left( \frac{a_{max}}{g} \right) \left( \frac{\sigma_{vo}}{\sigma_{vo'}} \right) rd$$

keterangan:

- $a_{max}$  : percepatan gempa arah horizontal
- $g$  : percepatan gravitasi
- $\sigma v$  : tegangan total dan tegangan efektif
- $rd$  : koefisien reduksi tegangan

a. Lapisan 1

$$\begin{aligned} CSR &= 0,65 \left( \frac{a_{max}}{g} \right) \left( \frac{\sigma v_1}{\sigma v_1'} \right) rd \\ &= 0,65 \times (0,4) \left( \frac{8,0847}{8,0847} \right) \times 0,99503 \\ &= 0,2587 \end{aligned}$$

b. Lapisan 2

$$\begin{aligned} CSR &= 0,65 \left( \frac{a_{max}}{g} \right) \left( \frac{\sigma v_2}{\sigma v_2'} \right) rd \\ &= 0,65 \times (0,4) \times \left( \frac{20,5227}{20,5227} \right) \times 0,98738 \\ &= 0,2567 \end{aligned}$$

c. Lapisan 3

$$\begin{aligned} CSR &= 0,65 \left( \frac{a_{max}}{g} \right) \left( \frac{\sigma v_3}{\sigma v_3'} \right) rd \\ &= 0,65 \times (0,4) \times \left( \frac{32,9607}{32,9607} \right) \times 97973 \\ &= 0,2547 \end{aligned}$$

d. Lapisan 4

$$\begin{aligned} CSR &= 0,65 \left( \frac{a_{max}}{g} \right) \left( \frac{\sigma v_4}{\sigma v_4'} \right) rd \\ &= 0,65 \times (0,4) \times \left( \frac{46,6717}{37,3522} \right) \times 0,972 \\ &= 0,3158 \end{aligned}$$

e. Lapisan 5

$$CSR = 0,65 \left( \frac{a_{max}}{g} \right) \left( \frac{\sigma v_5}{\sigma v_5'} \right) rd$$

$$\begin{aligned}
 &= 0,65 \times (0,4) \times \left( \frac{60,3827}{41,2532} \right) \times 0,96443 \\
 &= 0,3670
 \end{aligned}$$

f. Lapisan 6

$$\begin{aligned}
 \text{CSR} &= 0,65 \left( \frac{amax}{g} \right) \left( \frac{\sigma v 5}{\sigma v 5'} \right) rd \\
 &= 0,65 \times (0,4) \times \left( \frac{75,3667}{46,4272} \right) \times 0,95678 \\
 &= 0,4038
 \end{aligned}$$

g. Lapisan 7

$$\begin{aligned}
 \text{CSR} &= 0,65 \left( \frac{amax}{g} \right) \left( \frac{\sigma v 6}{\sigma v 6'} \right) rd \\
 &= 0,65 \times (0,4) \times \left( \frac{90,3507}{51,6012} \right) \times 0,94913 \\
 &= 0,4321
 \end{aligned}$$

h. Lapisan 8

$$\begin{aligned}
 \text{CSR} &= 0,65 \left( \frac{amax}{g} \right) \left( \frac{\sigma v 8}{\sigma v 8'} \right) rd \\
 &= 0,65 \times (0,4) \times \left( \frac{103,4367}{54,8772} \right) \times 0,94148 \\
 &= 0,4614
 \end{aligned}$$

i. Lapisan 9

$$\text{CSR} = 0,65 \left( \frac{amax}{g} \right) \left( \frac{\sigma v 9}{\sigma v 9'} \right) rd$$

$$\begin{aligned}
 &= 0,65 \times (0,4) \times \left( \frac{116,5227}{58,1532} \right) \times 0,93383 \\
 &= 0,4865
 \end{aligned}$$

j. Lapisan 10

$$\begin{aligned}
 \text{CSR} &= 0,65 \left( \frac{amax}{g} \right) \left( \frac{\sigma v 10}{\sigma v 10'} \right) rd \\
 &= 0,65 \times (0,4) \times \left( \frac{129,6087}{61,4292} \right) \times 0,91634 \\
 &= 0,5027
 \end{aligned}$$

#### 4. Perhitungan nilai Cyclic Resistance Ratio (CRR)

Nilai CRR dapat dihitung dengan persamaan berikut:

$$CRR = \frac{1}{34 - (N_1)_{60}} + \frac{(N_1)_{60}}{135} + \frac{50}{(10 \times (N_1)_{60} + 45)^2} - \frac{1}{200}$$

keterangan:

$(N_1)_{60}$  : nilai N SPT yang dikoreksi terhadap prosedur pengujian lapangan  
 Persamaan tersebut valid untuk  $(N_1)_{60} < 30$ . Untuk  $(N_1)_{60} \geq 30$ , tanah halus terlalu padat untuk terjadi likuifaksi dan diklasifikasikan sebagai tanah yang tidak dapat terlikuifaksi. Sebelum memasuki rumus utama dari CRR terlebih dahulu harus menghitung nilai  $(N_1)_{60}$  menggunakan faktor-faktor Koreksi yang terdapat di Tabel 5.30 serta persamaan berikut ini:

Tabel 5.30 Faktor Koreksi Uji SPT

| Faktor          | Variabel Alat    | Simbol | Koreksi                                   |
|-----------------|------------------|--------|---|
| Tegangan Total  | ---              | $C_N$  | $\left(\frac{Pa}{\sigma'vo}\right)^{0,5}$ |
|                 | ---              | $C_n$  |   |
| Rasio Energi    | Hammer Donat     | $C_E$  | 0,5 - 1,0                                 |
|                 | Safety Hammer    | $C_E$  | 0,7 - 1,2                                 |
|                 | Automatic Hammer | $C_E$  | 0,8 - 1,3                                 |
| Diameter Lubang | 65 - 115 mm      | $C_B$  | 1   |
|                 | 150 mm           | $C_B$  | 1,05                                      |
|                 | 200 mm           | $C_B$  | 1,15                                      |
| Panjang Rod     | < 3 m            | $C_R$  | 0,75                                      |
|                 | 3 - 4 m          | $C_R$  | 0,8                                       |
|                 | 4 - 6 m          | $C_R$  | 0,85                                      |
|                 | 6 - 10 m         | $C_R$  | 0,95                                      |
|                 | 10 - 30 m        | $C_R$  | 1   |
| Metode Sampling | Sampler Standard | $C_S$  | 1   |
|                 | Sampler Standard | $C_S$  | 1,1 - 1,3                                 |

(Sumber : Skempton 1986 ditulis kembali oleh Robertson dan Wride, 1998)

$$(N_1)_{60} = N_m \times C_E \times C_B \times C_R \times C_S$$

keterangan:

$N_m$  : faktor nilai SPT terukur

$C_N$  : faktor untuk menormalisasi  $N_m$

$C_E$  : faktor koreksi energi hammer (ER)

$C_B$  : faktor koreksi lubang bor

$C_R$  : faktor koreksi panjang batang

$C_S$  : faktor koreksi sampler

diketahui:

Faktor rasio energi ( $C_E$ ) : 1,2 (*Automatic Hammer*)

Faktor diameter lubang ( $C_B$ ) : 1

Faktor panjang rod ( $C_R$ ) : 0,85

Faktor metode sampling ( $C_S$ ) : 1

a. Lapisan 1

$$\begin{aligned}
 (N_1)60 &= N_M \times C_E \times C_B \times C_R \times C_S \\
 &= (N \times C_N) \times C_E \times C_B \times C_R \times C_S \\
 &= \left\{ N \times \left( \frac{2,2}{1,2 + \frac{\sigma_{TV}}{PA}} \right) \right\} \times C_E \times C_B \times C_R \times C_S \\
 &= \left\{ 19 \times \left( \frac{2,2}{1,2 + \frac{8,0847}{101,325}} \right) \right\} \times 1,2 \times 1 \times 0,85 \times 1 \\
 &= 32,9460 \\
 CRR &= \frac{1}{34 - (N_1)60} + \frac{(N_1)60}{135} + \frac{50}{(10 \times (N_1)60 + 45)^2} - \frac{1}{200} \\
 &= \frac{1}{34 - 32,9460} + \frac{32,9460}{135} + \frac{50}{(10 \times 32,9460 + 45)^2} - \frac{1}{200} \\
 &= 1,1882
 \end{aligned}$$

b. Lapisan 2

$$\begin{aligned}
 (N_1)60 &= N_M \times C_E \times C_B \times C_R \times C_S \\
 &= (N \times C_N) \times C_E \times C_B \times C_R \times C_S \\
 &= \left\{ N \times \left( \frac{2,2}{1,2 + \frac{\sigma_{TV}}{PA}} \right) \right\} \times C_E \times C_B \times C_R \times C_S \\
 &= \left\{ 27 \times \left( \frac{2,2}{1,2 + \frac{20,5227}{101,325}} \right) \right\} \times 1,2 \times 1 \times 0,85 \times 1 \\
 &= 43,1987 \\
 CRR &= \frac{1}{34 - (N_1)60} + \frac{(N_1)60}{135} + \frac{50}{(10 \times (N_1)60 + 45)^2} - \frac{1}{200} \\
 &= \frac{1}{34 - 43,1987} + \frac{43,1987}{135} + \frac{50}{(10 \times 43,1987 + 45)^2} - \frac{1}{200}
 \end{aligned}$$

$$= 0,2065$$

c. Lapisan 3

$$\begin{aligned} (N_1)60 &= N_M \times C_E \times C_B \times C_R \times C_S \\ &= (N \times C_N) \times C_E \times C_B \times C_R \times C_S \\ &= \left\{ N \times \left( \frac{2,2}{1,2 + \frac{\sigma r v o}{P_A}} \right) \right\} \times C_E \times C_B \times C_R \times C_S \\ &= \left\{ 26 \times \left( \frac{2,2}{1,2 + \frac{32,9607}{101,325}} \right) \right\} \times 1,2 \times 1 \times 0,85 \times 1 \end{aligned}$$

$$= 38,2509$$

$$\begin{aligned} CRR &= \frac{1}{34 - (N_1)60} + \frac{(N_1)60}{135} + \frac{50}{(10 \times (N_1)60 + 45)^2} - \frac{1}{200} \\ &= \frac{1}{34 - 38,2509} + \frac{38,2509}{135} + \frac{50}{(10 \times 38,2509 + 45)^2} - \frac{1}{200} \\ &= 0,0434 \end{aligned}$$

d. Lapisan 4

$$\begin{aligned} (N_1)60 &= N_M \times C_E \times C_B \times C_R \times C_S \\ &= (N \times C_N) \times C_E \times C_B \times C_R \times C_S \\ &= \left\{ N \times \left( \frac{2,2}{1,2 + \frac{\sigma r v o}{P_A}} \right) \right\} \times C_E \times C_B \times C_R \times C_S \\ &= \left\{ 28 \times \left( \frac{2,2}{1,2 + \frac{37,3522}{101,325}} \right) \right\} \times 1,2 \times 1 \times 0,85 \times 1 \\ &= 40,0551 \end{aligned}$$

$$\begin{aligned} CRR &= \frac{1}{34 - (N_1)60} + \frac{(N_1)60}{135} + \frac{50}{(10 \times (N_1)60 + 45)^2} - \frac{1}{200} \\ &= \frac{1}{34 - 40,0551} + \frac{40,0551}{135} + \frac{50}{(10 \times 40,0551 + 45)^2} - \frac{1}{200} \\ &= 0,1268 \end{aligned}$$

e. Lapisan 5

$$\begin{aligned} (N_1)60 &= N_M \times C_E \times C_B \times C_R \times C_S \\ &= (N \times C_N) \times C_E \times C_B \times C_R \times C_S \\ &= \left\{ N \times \left( \frac{2,2}{1,2 + \frac{\sigma r v o}{P_A}} \right) \right\} \times C_E \times C_B \times C_R \times C_S \\ &= \left\{ 32 \times \left( \frac{2,2}{1,2 + \frac{41,2532}{101,325}} \right) \right\} \times 1,2 \times 1 \times 0,85 \times 1 \end{aligned}$$

$$= 44,0551$$

$$\begin{aligned} \text{CRR} &= \frac{1}{34-(N1)60} + \frac{(N1)60}{135} + \frac{50}{(10 \times (N1)60+45)^2} - \frac{1}{200} \\ &= \frac{1}{34-4,0551} + \frac{44,0551}{135} + \frac{50}{(10 \times 44,0551+45)^2} - \frac{1}{200} \\ &= 0,2325 \end{aligned}$$

f. Lapisan 6

$$\begin{aligned} (N1)60 &= N_M \times C_E \times C_B \times C_R \times C_S \\ &= (N \times C_N) \times C_E \times C_B \times C_R \times C_S \\ &= \left\{ N \times \left( \frac{2,2}{1,2 + \frac{\sigma rvo}{PA}} \right) \right\} \times C_E \times C_B \times C_R \times C_S \\ &= \left\{ 50 \times \left( \frac{2,2}{1,2 + \frac{46,4272}{101,325}} \right) \right\} \times 1,2 \times 1 \times 0,85 \times 1 \\ &= 67,6637 \\ \text{CRR} &= \frac{1}{34-(N1)60} + \frac{(N1)60}{135} + \frac{50}{(10 \times (N1)60+45)^2} - \frac{1}{200} \\ &= \frac{1}{34-6,6637} + \frac{67,6637}{135} + \frac{50}{(10 \times 67,6637+45)^2} - \frac{1}{200} \\ &= 0,4666 \end{aligned}$$

g. Lapisan 7

$$\begin{aligned} (N1)60 &= N_M \times C_E \times C_B \times C_R \times C_S \\ &= (N \times C_N) \times C_E \times C_B \times C_R \times C_S \\ &= \left\{ N \times \left( \frac{2,2}{1,2 + \frac{\sigma rvo}{PA}} \right) \right\} \times C_E \times C_B \times C_R \times C_S \\ &= \left\{ 50 \times \left( \frac{2,2}{1,2 + \frac{51,6012}{101,325}} \right) \right\} \times 1,2 \times 1 \times 0,85 \times 1 \\ &= 65,6432 \\ \text{CRR} &= \frac{1}{34-(N1)60} + \frac{(N1)60}{135} + \frac{50}{(10 \times (N1)60+45)^2} - \frac{1}{200} \\ &= \frac{1}{34-65,6432} + \frac{65,6432}{135} + \frac{50}{(10 \times 65,6432+45)^2} - \frac{1}{200} \\ &= 0,4497 \end{aligned}$$

h. Lapisan 8

$$\begin{aligned} (N1)60 &= N_M \times C_E \times C_B \times C_R \times C_S \\ &= (N \times C_N) \times C_E \times C_B \times C_R \times C_S \end{aligned}$$

$$\begin{aligned}
 &= \left\{ N \times \left( \frac{2,2}{1,2 + \frac{\sigma v_o}{P_A}} \right) \right\} \times C_E \times C_B \times C_R \times C_S \\
 &= \left\{ 50 \times \left( \frac{2,2}{1,2 + \frac{54,8772}{101,325}} \right) \right\} \times 1,2 \times 1 \times 0,85 \times 1 \\
 &= 64,4237
 \end{aligned}$$

$$\begin{aligned}
 CRR &= \frac{1}{34-(N1)60} + \frac{(N1)60}{135} + \frac{50}{(10 \times (N1)60+45)^2} - \frac{1}{200} \\
 &= \frac{1}{34-6,4237} + \frac{64,4237}{135} + \frac{50}{(10 \times 64,4237+45)^2} - \frac{1}{200} \\
 &= 0,4394
 \end{aligned}$$

i. Lapisan 9

$$\begin{aligned}
 (N1)60 &= N_M \times C_E \times C_B \times C_R \times C_S \\
 &= (N \times C_N) \times C_E \times C_B \times C_R \times C_S \\
 &= \left\{ N \times \left( \frac{2,2}{1,2 + \frac{\sigma v_o}{P_A}} \right) \right\} \times C_E \times C_B \times C_R \times C_S \\
 &= \left\{ 50 \times \left( \frac{2,2}{1,2 + \frac{58,1532}{101,325}} \right) \right\} \times 1,2 \times 1 \times 0,85 \times 1 \\
 &= 63,2495 \\
 CRR &= \frac{1}{34-(N1)60} + \frac{(N1)60}{135} + \frac{50}{(10 \times (N1)60+45)^2} - \frac{1}{200} \\
 &= \frac{1}{34-6,2495} + \frac{63,2495}{135} + \frac{50}{(10 \times 63,2495+45)^2} - \frac{1}{200} \\
 &= 0,4294
 \end{aligned}$$

j. Lapisan 10

$$\begin{aligned}
 (N1)60 &= N_M \times C_E \times C_B \times C_R \times C_S \\
 &= (N \times C_N) \times C_E \times C_B \times C_R \times C_S \\
 &= \left\{ N \times \left( \frac{2,2}{1,2 + \frac{\sigma v_o}{P_A}} \right) \right\} \times C_E \times C_B \times C_R \times C_S \\
 &= \left\{ 50 \times \left( \frac{2,2}{1,2 + \frac{61,4292}{101,325}} \right) \right\} \times 1,2 \times 1 \times 0,85 \times 1 \\
 &= 62,1173 \\
 CRR &= \frac{1}{34-(N1)60} + \frac{(N1)60}{135} + \frac{50}{(10 \times (N1)60+45)^2} - \frac{1}{200} \\
 &= \frac{1}{34-62,1173} + \frac{62,1173}{135} + \frac{50}{(10 \times 62,1173+45)^2} - \frac{1}{200}
 \end{aligned}$$

$$= 0,4197$$

### 5. Perhitungan nilai FS

FS adalah nilai yang menunjukkan potensi likuifaksi pada umumnya dituliskan dengan  $FS = \frac{CRR}{CSR}$ , dimana:

Jika  $FS = \frac{CRR}{CSR} < 1$  berarti terjadi likuifaksi

Jika  $FS = \frac{CRR}{CSR} > 1$  berarti kondisi kritis

Jika  $FS = \frac{CRR}{CSR} > 1$  berarti tidak terjadi likuifaksi

- a. Lapisan 1

$$FS = \frac{CRR}{CSR}$$

$$= \frac{1,1882}{0,2587}$$

$$= 4,5927 \text{ (tidak terjadi likuifaksi)}$$

- b. Lapisan 2

$$FS = \frac{CRR}{CSR}$$

$$= \frac{0,2065}{0,2567}$$

$$= 0,8044 \text{ (tidak terjadi likuifaksi)}$$

- c. Lapisan 3

$$FS = \frac{CRR}{CSR}$$

$$= \frac{0,0434}{0,2547}$$

$$= 0,1703 \text{ (tidak terjadi likuifaksi)}$$

- d. Lapisan 4

$$FS = \frac{CRR}{CSR}$$

$$= \frac{0,1268}{0,3158}$$

$$= 0,4015 \text{ (tidak terjadi likuifaksi)}$$

- e. Lapisan 5

$$\begin{aligned}
 FS &= \frac{CRR}{CSR} \\
 &= \frac{0,2325}{0,3670} \\
 &= 0,6336 \text{ (tidak terjadi likuifaksi)}
 \end{aligned}$$

f. Lapisan 6

$$\begin{aligned}
 FS &= \frac{CRR}{CSR} \\
 &= \frac{0,4666}{0,4038} \\
 &= 1,1555 \text{ (tidak terjadi likuifaksi)}
 \end{aligned}$$

g. Lapisan 7

$$\begin{aligned}
 FS &= \frac{CRR}{CSR} \\
 &= \frac{0,4497}{0,4321} \\
 &= 1,0409 \text{ (tidak terjadi likuifaksi)}
 \end{aligned}$$

h. Lapisan 8

$$\begin{aligned}
 FS &= \frac{CRR}{CSR} \\
 &= \frac{0,4394}{0,4614} \\
 &= 0,9524 \text{ (tidak terjadi likuifaksi)}
 \end{aligned}$$

i. Lapisan 9

$$\begin{aligned}
 FS &= \frac{CRR}{CSR} \\
 &= \frac{0,4294}{0,4865} \\
 &= 0,8827 \text{ (tidak terjadi likuifaksi)}
 \end{aligned}$$

j. Lapisan 10

$$\begin{aligned}
 FS &= \frac{CRR}{CSR} \\
 &= \frac{0,4197}{0,5027} \\
 &= 0,8349 \text{ (tidak terjadi likuifaksi)}
 \end{aligned}$$

Berikut hasil dari pengolahan data SPT yang berisikan perhitungan potensi likuifaksi dengan menggunakan program *Microsoft Excel* dalam bentuk tabel dan grafik. Hasil dalam bentuk grafik berisikan sumbu x yang terdiri dari 3 variabel yaitu nilai CSR, CRR, dan FS dan pada sumbu y merupakan kedalaman titik uji *bore hole* pada SPT.

#### a. *Bore Hole DB-01*

Perhitungan potensi likuifaksi pada titik *Bore Hole DB-01* dapat dilihat pada Tabel 5.31, Tabel 5.32, Tabel 5.33 dan Gambar 5.22 berikut ini.

**Tabel 5.31 Perhitungan CSR DB-01**

| Lapisan | Kedalaman | Beda Tinggi | Jenis Tanah                         | (amax/g) | rd     | $\gamma_d$ | Tegangan Total ( $\sigma$ ) | Angka Pori (u) | Tegangan efektif ( $\sigma'$ ) | $(\sigma/\sigma')$ | CSR    |
|---------|-----------|-------------|-------------------------------------|----------|--------|------------|-----------------------------|----------------|--------------------------------|--------------------|--------|
| 1       | 0,65      | 1           | fine SAND                           | 0,5      | 0,9950 | 12,438     | 8,0847                      | 0              | 8,0847                         | 1                  | 0,2587 |
| 2       | 1,65      | 1           | fine SAND                           | 0,5      | 0,9873 | 12,438     | 20,5227                     | 0              | 20,5227                        | 1                  | 0,2567 |
| 3       | 2,65      | 1           | fine SAND                           | 0,5      | 0,9797 | 12,438     | 32,9607                     | 0              | 32,9607                        | 1                  | 0,2547 |
| 4       | 3,65      | 1           | medium SAND,<br>dense to very dense | 0,5      | 0,972  | 13,711     | 46,6717                     | 9,3195         | 32,9607                        | 1,4159             | 0,3158 |
| 5       | 4,65      | 1           | medium SAND,<br>dense to very dense | 0,5      | 0,9644 | 13,711     | 60,3827                     | 19,1295        | 41,2532                        | 1,4637             | 0,3670 |
| 6       | 5,65      | 1           | medium SAND,<br>dense to very dense | 0,5      | 0,9567 | 14,984     | 75,3667                     | 28,9395        | 46,4272                        | 1,6233             | 0,4038 |
| 7       | 6,65      | 1           | medium SAND,<br>dense to very dense | 0,5      | 0,9491 | 14,984     | 90,3507                     | 38,7495        | 51,6012                        | 1,7509             | 0,4321 |

**Lanjutan Tabel 5.31 Perhitungan CSR DB-01**

| Lapisan | Kedalaman | Beda Tinggi | Jenis Tanah                      | (amax/g) | rd     | $\gamma d$ | Tegangan Total ( $\sigma$ ) | Angka Pori (u) | Tegangan efektif ( $\sigma'$ ) | $(\sigma/\sigma')$ | CSR    |
|---------|-----------|-------------|----------------------------------|----------|--------|------------|-----------------------------|----------------|--------------------------------|--------------------|--------|
| 8       | 7,65      | 1           | medium SAND, dense to very dense | 0,5      | 0,9414 | 13,086     | 103,4367                    | 48,5595        | 54,8772                        | 1,88487            | 0,0000 |
| 9       | 8,65      | 1           | medium SAND, dense to very dense | 0,5      | 0,9338 | 13,086     | 116,5227                    | 58,3695        | 58,1532                        | 2,00371            | 0,4614 |
| 10      | 9,65      | 1           | medium SAND, dense to very dense | 0,5      | 0,9163 | 13,086     | 129,6087                    | 68,1795        | 61,4292                        | 2,10988            | 0,0000 |

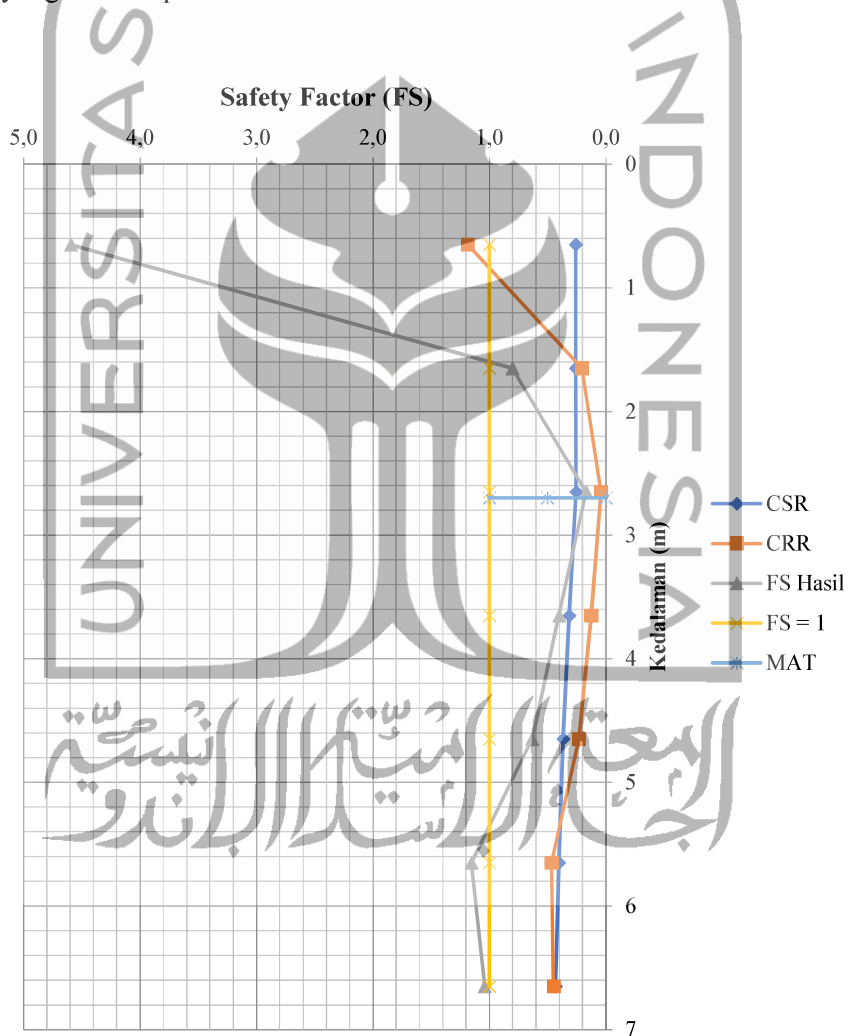
**Tabel 5.32 Perhitungan CRR DB-01**

| Lapisan | Kedalaman<br>(m) | Beda<br>Tinggi (m) | Jenis Tanah                         | N-SPT |     | Faktor koreksi (N1)60 |     |    |      |    | $(N_1)_{60}$ | CRR    |
|---------|------------------|--------------------|-------------------------------------|-------|-----|-----------------------|-----|----|------|----|--------------|--------|
|         |                  |                    |                                     | N     | SPT | Cn                    | Ce  | Cb | Cr   | Cs |              |        |
| 1       | 0,65             | 1                  | fine SAND                           | 19    | 30  | 1,7                   | 1,2 | 1  | 0,85 | 1  | 32,946       | 1,1882 |
| 2       | 1,65             | 1                  | fine SAND                           | 27    | 30  | 1,568579              | 1,2 | 1  | 0,85 | 1  | 43,19867     | 0,2065 |
| 3       | 2,65             | 1                  | fine SAND                           | 26    | 30  | 1,442342              | 1,2 | 1  | 0,85 | 1  | 38,25092     | 0,0434 |
| 4       | 3,65             | 1                  | medium SAND, dense<br>to very dense | 28    | 30  | 1,402491              | 1,2 | 1  | 0,85 | 1  | 40,05514     | 0,1268 |
| 5       | 4,65             | 1                  | medium SAND, dense<br>to very dense | 32    | 30  | 1,368894              | 1,2 | 1  | 0,85 | 1  | 44,68068     | 0,2325 |
| 6       | 5,65             | 1                  | medium SAND, dense<br>to very dense | 50    | 27  | 1,326739              | 1,2 | 1  | 0,85 | 1  | 67,6637      | 0,4666 |
| 7       | 6,65             | 1                  | medium SAND, dense<br>to very dense | 50    | 25  | 1,287104              | 1,2 | 1  | 0,85 | 1  | 65,6423      | 0,4497 |
| 8       | 7,65             | 1                  | medium SAND, dense<br>to very dense | 50    | 28  | 1,263209              | 1,2 | 1  | 0,85 | 1  | 64,4237      | 0,4394 |
| 9       | 8,65             | 1                  | medium SAND, dense<br>to very dense | 50    | 26  | 1,240186              | 1,2 | 1  | 0,85 | 1  | 63,2495      | 0,4294 |
| 10      | 9,65             | 1                  | medium SAND, dense<br>to very dense | 50    | 25  | 1,217987              | 1,2 | 1  | 0,85 | 1  | 62,1173      | 0,4197 |

**Tabel 5.33 Hasil Analisis Potensi Likuifaksi DB-01**

| Lapisan | Kedalaman | Beda Tinggi (m) | Jenis Tanah (m)                  | CSR    | CRR    | FS     | FS = 1 | STATUS                   |
|---------|-----------|-----------------|----------------------------------|--------|--------|--------|--------|--------------------------|
| 1       | 0,65      | 1               | fine SAND                        | 0,2587 | 1,1882 | 4,5927 | 1,0000 | Tidak Terjadi Likuifaksi |
| 2       | 1,65      | 1               | fine SAND                        | 0,2567 | 0,2065 | 0,8044 | 1,0000 | Tidak Terjadi Likuifaksi |
| 3       | 2,65      | 1               | fine SAND                        | 0,2547 | 0,0434 | 0,1703 | 1,0000 | Tidak Terjadi Likuifaksi |
| 4       | 3,65      | 1               | medium SAND, dense to very dense | 0,3158 | 0,1268 | 0,4015 | 1,0000 | Tidak Terjadi Likuifaksi |
| 5       | 4,65      | 1               | medium SAND, dense to very dense | 0,3670 | 0,2325 | 0,6336 | 1,0000 | Tidak Terjadi Likuifaksi |
| 6       | 5,65      | 1               | medium SAND, dense to very dense | 0,4038 | 0,4666 | 1,1555 | 1,0000 | Tidak Terjadi Likuifaksi |
| 7       | 6,65      | 1               | medium SAND, dense to very dense | 0,4321 | 0,4497 | 1,0409 | 1,0000 | Tidak Terjadi Likuifaksi |
| 8       | 7,65      | 1               | medium SAND, dense to very dense | 0,0000 | 0,4394 | 0,9524 | 1,0000 | Tidak Terjadi Likuifaksi |
| 9       | 8,65      | 1               | medium SAND, dense to very dense | 0,4614 | 0,4294 | 0,8827 | 1,0000 | Tidak Terjadi Likuifaksi |
| 10      | 9,65      | 1               | medium SAND, dense to very dense | 0,0000 | 0,4197 | 0,8349 | 1,0000 | Tidak Terjadi Likuifaksi |

Berdasarkan pada hasil perhitungan data SPT setelah pemedatan di titik DB-01 didapatkan grafik seperti pada Gambar 5.18 yang berisikan sumbu x terdiri dari 3 variabel yaitu nilai CSR, CRR, dan FS dan pada sumbu y merupakan kedalaman titik uji *bore hole* pada SPT. Dimana apabila nilai FS kurang dari 1 menunjukkan bahwa pada kedalaman tersebut mengalami potensi likuifaksi. Pada titik ini seluruh lapisan tanah aman dari dari potensi likuifaksi meskipun di beberapa lapisan tanah didapatkan nilai  $FS < 1$  tetapi nilai  $(N_1)_{60} \geq 30$  sehingga diklasifikasikan sebagai tanah yang tidak dapat terlikuifaksi.



**Gambar 5.18 Grafik CSR, CRR, FS vs Kedalaman (DB-01)**

b. *Bore Hole* DB-02

Perhitungan potensi likuifaksi pada titik *Bore Hole* DB-02 dapat dilihat pada Tabel 5.34, Tabel 5.35, Tabel 5.36 dan Gambar 5.23 berikut ini.

Tabel 5.34 Perhitungan CSR DB-02

| Lapisan | Kedalaman | Beda Tinggi | Jenis Tanah                      | (amax/g) | rd       | $\gamma d$ | Tegangan Total ( $\sigma$ ) | Angka Pori (u) | Tegangan efektif ( $\sigma'$ ) | $(\sigma/\sigma')$ | CSR    |
|---------|-----------|-------------|----------------------------------|----------|----------|------------|-----------------------------|----------------|--------------------------------|--------------------|--------|
| 1       | 0,65      | 1           | fine SAND                        | 0,5      | 0,995028 | 11,494     | 7,4711                      | 0              | 7,4711                         | 1                  | 0,2587 |
| 2       | 1,65      | 1           | fine SAND                        | 0,5      | 0,987378 | 11,494     | 18,9651                     | 0              | 18,9651                        | 1                  | 0,2567 |
| 3       | 2,65      | 1           | fine SAND                        | 0,5      | 0,979728 | 11,494     | 30,4591                     | 0              | 30,4591                        | 1                  | 0,2547 |
| 4       | 3,65      | 1           | medium SAND, dense to very dense | 0,5      | 0,972    | 11,494     | 41,9531                     | 5,3955         | 30,4591                        | 1,3773             | 0,2900 |
| 5       | 4,65      | 1           | medium SAND, dense to very dense | 0,5      | 0,964428 | 13,348     | 55,3011                     | 15,2055        | 40,0956                        | 1,3792             | 0,3458 |
| 6       | 5,65      | 1           | medium SAND, dense to very dense | 0,5      | 0,956778 | 13,348     | 68,6491                     | 25,0155        | 43,6336                        | 1,5733             | 0,3914 |
| 7       | 6,65      | 1           | medium SAND, dense to very dense | 0,5      | 0,949128 | 13,348     | 81,9971                     | 34,8255        | 47,1716                        | 1,7382             | 0,4290 |
| 8       | 7,65      | 1           | medium SAND, dense to very dense | 0,5      | 0,941478 | 13,348     | 95,3451                     | 44,6355        | 50,7096                        | 1,8802             | 0,0000 |

### Lanjutan Tabel 5.34 Perhitungan CSR DB-02

| Lapisan | Kedalaman | Beda Tinggi | Jenis Tanah                      | (amax/g) | rd       | $\gamma d$ | Tegangan Total ( $\sigma$ ) | Angka Pori (u) | Tegangan efektif ( $\sigma'$ ) | $(\sigma/\sigma')$ | CSR    |
|---------|-----------|-------------|----------------------------------|----------|----------|------------|-----------------------------|----------------|--------------------------------|--------------------|--------|
| 9       | 8,65      | 1           | medium SAND, dense to very dense | 0,5      | 0,933828 | 13,348     | 108,6931                    | 54,4455        | 54,2476                        | 2,0036             | 0,4602 |
| 10      | 9,65      | 1           | medium SAND, dense to very dense | 0,5      | 0,916345 | 13,348     | 122,0411                    | 64,2555        | 57,7856                        | 2,1119             | 0,0000 |

Tabel 5.35 Perhitungan CRR DB-02

| Lapisan | Kedalaman (m) | Beda Tinggi (m) | Jenis Tanah                      | N-SPT |    | Faktor koreksi (N1)60 |     |    |      | (N1)60 | CRR      |
|---------|---------------|-----------------|----------------------------------|-------|----|-----------------------|-----|----|------|--------|----------|
|         |               |                 |                                  |       |    | Cn                    | Ce  | Cb | Cr   |        |          |
| 1       | 0,65          | 1               | fine SAND                        | 16    | 30 | 1,7                   | 1,2 | 1  | 0,85 | 1      | 27,744   |
| 2       | 1,65          | 1               | fine SAND                        | 24    | 30 | 1,585962              | 1,2 | 1  | 0,85 | 1      | 38,82434 |
| 3       | 2,65          | 1               | fine SAND                        | 25    | 30 | 1,466072              | 1,2 | 1  | 0,85 | 1      | 37,38485 |
| 4       | 3,65          | 1               | medium SAND, dense to very dense | 35    | 30 | 1,409538              | 1,2 | 1  | 0,85 | 1      | 50,32049 |
| 5       | 4,65          | 1               | medium SAND, dense to very dense | 32    | 30 | 1,378694              | 1,2 | 1  | 0,85 | 1      | 45,00058 |
| 6       | 5,65          | 1               | medium SAND, dense to very dense | 50    | 29 | 1,349172              | 1,2 | 1  | 0,85 | 1      | 68,80776 |
| 7       | 6,65          | 1               | medium SAND, dense to very dense | 50    | 19 | 1,320887              | 1,2 | 1  | 0,85 | 1      | 67,3652  |
| 8       | 7,65          | 1               | medium SAND, dense to very dense | 48    | 30 | 1,293764              | 1,2 | 1  | 0,85 | 1      | 63,3427  |

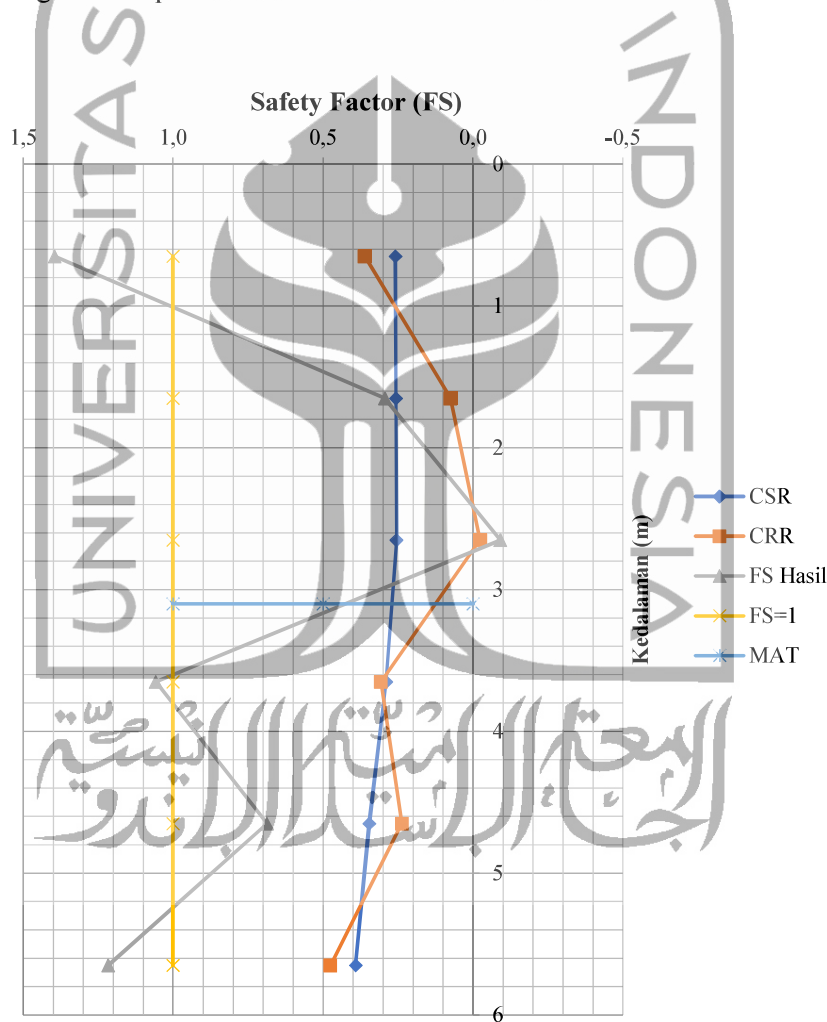
### Lanjutan Tabel 5.35 Perhitungan CRR DB-02

| Lapisan | Kedalaman<br>(m) | Beda<br>Tinggi (m) | Jenis Tanah                         | N-SPT |    | Faktor koreksi (N1)60 |     |    |      |    | (N1)60  | CRR    |
|---------|------------------|--------------------|-------------------------------------|-------|----|-----------------------|-----|----|------|----|---------|--------|
|         |                  |                    |                                     |       |    | Cn                    | Ce  | Cb | Cr   | Cs |         |        |
| 9       | 8,65             | 1                  | medium SAND,<br>dense to very dense | 50    | 29 | 1,267732              | 1,2 | 1  | 0,85 | 1  | 64,6543 | 0,4414 |
| 10      | 9,65             | 1                  | medium SAND,<br>dense to very dense | 50    | 23 | 1,242728              | 1,2 | 1  | 0,85 | 1  | 63,3791 | 0,4305 |

Tabel 5.36 Hasil Analisis Potensi Likuifaksi DB-02

| Lapisan | Kedalaman | Beda<br>Tinggi<br>(m) | Jenis Tanah (m)                  | CSR    | CRR     | FS      | FS = 1 | STATUS                   |
|---------|-----------|-----------------------|----------------------------------|--------|---------|---------|--------|--------------------------|
| 1       | 0,65      | 1                     | fine SAND                        | 0,2587 | 0,3608  | 1,3948  | 1,0000 | Tidak Terjadi Likuifaksi |
| 2       | 1,65      | 1                     | fine SAND                        | 0,2567 | 0,0756  | 0,2944  | 1,0000 | Tidak Terjadi Likuifaksi |
| 3       | 2,65      | 1                     | fine SAND                        | 0,2547 | -0,0232 | -0,0912 | 1,0000 | Tidak Terjadi Likuifaksi |
| 4       | 3,65      | 1                     | medium SAND, dense to very dense | 0,2900 | 0,3066  | 1,0572  | 1,0000 | Tidak Terjadi Likuifaksi |
| 5       | 4,65      | 1                     | medium SAND, dense to very dense | 0,3458 | 0,2376  | 0,6871  | 1,0000 | Tidak Terjadi Likuifaksi |
| 6       | 5,65      | 1                     | medium SAND, dense to very dense | 0,3914 | 0,4761  | 1,2163  | 1,0000 | Tidak Terjadi Likuifaksi |
| 7       | 6,65      | 1                     | medium SAND, dense to very dense | 0,4290 | 0,4641  | 1,0820  | 1,0000 | Tidak Terjadi Likuifaksi |
| 8       | 7,65      | 1                     | medium SAND, dense to very dense | 0,0000 | 0,4302  | 0,9348  | 1,0000 | Tidak Terjadi Likuifaksi |
| 9       | 8,65      | 1                     | medium SAND, dense to very dense | 0,4602 | 0,4414  | 0,9073  | 1,0000 | Tidak Terjadi Likuifaksi |
| 10      | 9,65      | 1                     | medium SAND, dense to very dense | 0,0000 | 0,4305  | 0,8557  | 1,0000 | Tidak Terjadi Likuifaksi |

Berdasarkan pada hasil perhitungan data SPT setelah pemedatan di titik DB-02 didapatkan grafik seperti pada Gambar 5.19 yang berisikan sumbu x terdiri dari 3 variabel yaitu nilai CSR, CRR, dan FS dan pada sumbu y merupakan kedalaman titik uji *bore hole* pada SPT. Dimana apabila nilai FS kurang dari 1 menunjukkan bahwa pada kedalaman tersebut mengalami potensi likuifaksi. Pada titik ini seluruh lapisan tanah aman dari dari potensi likuifaksi meskipun di beberapa lapisan tanah didapatkan nilai  $FS < 1$  tetapi nilai  $(N_1)_{60} \geq 30$  sehingga diklasifikasikan sebagai tanah yang tidak dapat terlikuifaksi.



**Gambar 5.19 Grafik CSR, CRR, FS vs Kedalaman (DB-02)**

c. *Bore Hole* DB-03

Perhitungan potensi likuifaksi pada titik *Bore Hole* DB-03 dapat dilihat pada Tabel 5.37, Tabel 5.38, Tabel 5.39 dan Gambar 5.24 berikut ini.

**ISLAM**  
**Tabel 5.37 Perhitungan CSR DB-03**

| Lapisan | Kedalaman | Beda Tinggi | Jenis Tanah                      | (amax/g) | rd       | $\gamma d$ | Tegangan Total ( $\sigma$ ) | Angka Pori (u) | Tegangan efektif ( $\sigma'$ ) | $(\sigma/\sigma')$ | CSR    |
|---------|-----------|-------------|----------------------------------|----------|----------|------------|-----------------------------|----------------|--------------------------------|--------------------|--------|
| 1       | 0,65      | 1           | fine SAND                        | 0,5      | 0,995028 | 12,648     | 8,2212                      | 0              | 8,2212                         | 1                  | 0,2587 |
| 2       | 1,65      | 1           | fine SAND                        | 0,5      | 0,987378 | 12,648     | 20,8692                     | 0              | 20,8692                        | 1                  | 0,2567 |
| 3       | 2,65      | 1           | fine SAND                        | 0,5      | 0,979728 | 12,648     | 33,5172                     | 0              | 33,5172                        | 1                  | 0,2547 |
| 4       | 3,65      | 1           | fine SAND                        | 0,5      | 0,972    | 12,648     | 46,1652                     | 7,3575         | 33,5172                        | 1,3773             | 0,3007 |
| 5       | 4,65      | 1           | medium SAND, dense to very dense | 0,5      | 0,964428 | 13,194     | 59,3592                     | 17,1675        | 42,1917                        | 1,4068             | 0,3528 |
| 6       | 5,65      | 1           | medium SAND, dense to very dense | 0,5      | 0,956778 | 13,194     | 72,5532                     | 26,9775        | 45,5757                        | 1,5919             | 0,3960 |
| 7       | 6,65      | 1           | medium SAND, dense to very dense | 0,5      | 0,949128 | 13,194     | 85,7472                     | 36,7875        | 48,9597                        | 1,7513             | 0,4322 |
| 8       | 7,65      | 1           | medium SAND, dense to very dense | 0,5      | 0,941478 | 13,194     | 98,9412                     | 46,5975        | 52,3437                        | 1,8902             | 0,0000 |

### Lanjutan Tabel 5.37 Perhitungan CSR DB-03

| Lapisan | Kedalaman | Beda Tinggi | Jenis Tanah                      | (amax/g) | rd       | $\gamma d$ | Tegangan Total ( $\sigma$ ) | Angka Pori (u) | Tegangan efektif ( $\sigma'$ ) | $(\sigma/\sigma')$ | CSR    |
|---------|-----------|-------------|----------------------------------|----------|----------|------------|-----------------------------|----------------|--------------------------------|--------------------|--------|
| 9       | 8,65      | 1           | medium SAND, dense to very dense | 0,5      | 0,933828 | 13,194     | 112,1352                    | 56,4075        | 55,7277                        | 2,0121             | 0,4627 |
| 10      | 9,65      | 1           | medium SAND, dense to very dense | 0,5      | 0,916345 | 14,052     | 126,1872                    | 66,2175        | 59,9697                        | 2,1041             | 0,0000 |

Tabel 5.38 Perhitungan CRR DB-03

| Lapisan | Kedalaman (m) | Beda Tinggi (m) | Jenis Tanah                      | N-SPT |    | Faktor koreksi (N1)60 |     |    |      |    | (N1)60   | CRR    |
|---------|---------------|-----------------|----------------------------------|-------|----|-----------------------|-----|----|------|----|----------|--------|
|         |               |                 |                                  |       |    | Cn                    | Ce  | Cb | Cr   | Cs |          |        |
| 1       | 0,65          | 1               | fine SAND                        | 11    | 30 | 1,7                   | 1,2 | 1  | 0,85 | 1  | 19,074   | 0,2042 |
| 2       | 1,65          | 1               | fine SAND                        | 16    | 30 | 1,564764              | 1,2 | 1  | 0,85 | 1  | 25,53695 | 0,3029 |
| 3       | 2,65          | 1               | fine SAND                        | 21    | 30 | 1,437167              | 1,2 | 1  | 0,85 | 1  | 30,78412 | 0,5344 |
| 4       | 3,65          | 1               | fine SAND                        | 31    | 30 | 1,389764              | 1,2 | 1  | 0,85 | 1  | 43,94435 | 0,2202 |
| 5       | 4,65          | 1               | medium SAND, dense to very dense | 35    | 30 | 1,361049              | 1,2 | 1  | 0,85 | 1  | 48,58947 | 0,2866 |
| 6       | 5,65          | 1               | medium SAND, dense to very dense | 50    | 20 | 1,333497              | 1,2 | 1  | 0,85 | 1  | 68,00836 | 0,4695 |
| 7       | 6,65          | 1               | medium SAND, dense to very dense | 50    | 19 | 1,307038              | 1,2 | 1  | 0,85 | 1  | 66,6590  | 0,4582 |
| 8       | 7,65          | 1               | medium SAND, dense to very dense | 52    | 30 | 1,281609              | 1,2 | 1  | 0,85 | 1  | 67,9765  | 0,4692 |

**Lanjutan Tabel 5.38 Perhitungan CRR DB-03**

| Lapisan | Kedalaman<br>(m) | Beda<br>Tinggi (m) | Jenis Tanah                      | N-SPT |    | Faktor koreksi (N1)60 |     |    |      | (N1)60 | CRR     |        |
|---------|------------------|--------------------|----------------------------------|-------|----|-----------------------|-----|----|------|--------|---------|--------|
|         |                  |                    |                                  |       |    | Cn                    | Ce  | Cb | Cr   |        |         |        |
| 9       | 8,65             | 1                  | medium SAND, dense to very dense | 50    | 25 | 1,25715               | 1,2 | 1  | 0,85 | 1      | 64,1147 | 0,4368 |
| 10      | 9,65             | 1                  | medium SAND, dense to very dense | 50    | 27 | 1,227778              | 1,2 | 1  | 0,85 | 1      | 62,6167 | 0,4240 |

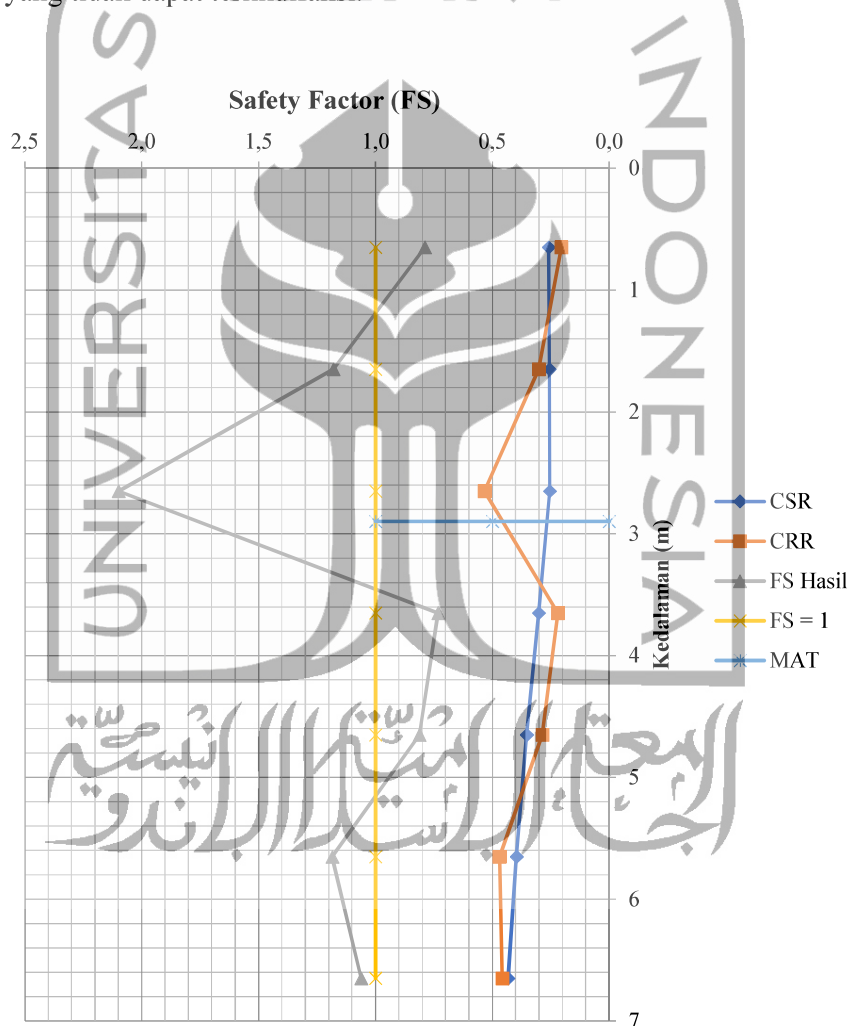
**Tabel 5.39 Hasil Analisis Potensi Likuifaksi DB-03**

| Lapisan | Kedalaman | Beda<br>Tinggi (m) | Jenis Tanah (m)                  | CSR    | CRR    | FS     | FS = 1 | STATUS                   |
|---------|-----------|--------------------|----------------------------------|--------|--------|--------|--------|--------------------------|
| 1       | 0,65      | 1                  | fine SAND                        | 0,2587 | 0,2042 | 0,7893 | 1,0000 | Terjadi Likuifaksi       |
| 2       | 1,65      | 1                  | fine SAND                        | 0,2567 | 0,3029 | 1,1798 | 1,0000 | Tidak Terjadi Likuifaksi |
| 3       | 2,65      | 1                  | fine SAND                        | 0,2547 | 0,5344 | 2,0979 | 1,0000 | Tidak Terjadi Likuifaksi |
| 4       | 3,65      | 1                  | fine SAND                        | 0,3007 | 0,2202 | 0,7323 | 1,0000 | Tidak Terjadi Likuifaksi |
| 5       | 4,65      | 1                  | medium SAND, dense to very dense | 0,3528 | 0,2866 | 0,8123 | 1,0000 | Tidak Terjadi Likuifaksi |
| 6       | 5,65      | 1                  | medium SAND, dense to very dense | 0,3960 | 0,4695 | 1,1855 | 1,0000 | Tidak Terjadi Likuifaksi |
| 7       | 6,65      | 1                  | medium SAND, dense to very dense | 0,4322 | 0,4582 | 1,0603 | 1,0000 | Tidak Terjadi Likuifaksi |
| 8       | 7,65      | 1                  | medium SAND, dense to very dense | 0,0000 | 0,4692 | 1,0140 | 1,0000 | Tidak Terjadi Likuifaksi |

**Lanjutan Tabel 5.39 Hasil Analisis Potensi Likuifaksi DB-03**

| Lapisan | Kedalaman | Beda Tinggi (m) | Jenis Tanah (m)                  | CSR    | CRR    | FS     | FS = 1 | STATUS                   |
|---------|-----------|-----------------|----------------------------------|--------|--------|--------|--------|--------------------------|
| 9       | 8,65      | 1               | medium SAND, dense to very dense | 0,4627 | 0,4368 | 0,8941 | 1,0000 | Tidak Terjadi Likuifaksi |
| 10      | 9,65      | 1               | medium SAND, dense to very dense | 0,0000 | 0,4240 | 0,8458 | 1,0000 | Tidak Terjadi Likuifaksi |

Berdasarkan pada hasil perhitungan data SPT setelah pemedatan di titik DB-03 didapatkan grafik seperti pada Gambar 5.20 yang berisikan sumbu x terdiri dari 3 variabel yaitu nilai CSR, CRR, dan FS dan pada sumbu y merupakan kedalaman titik uji *bore hole* pada SPT. Dimana apabila nilai FS kurang dari 1 menunjukkan bahwa pada kedalaman tersebut mengalami potensi likuifaksi. Pada titik ini seluruh lapisan tanah aman dari dari potensi likuifaksi meskipun di beberapa lapisan tanah didapatkan nilai  $FS < 1$  tetapi nilai  $(N_1)_{60} \geq 30$  sehingga diklasifikasikan sebagai tanah yang tidak dapat terlikuifaksi.



**Gambar 5.20 Grafik CSR, CRR, FS vs Kedalaman (DB-03)**

d. *Bore Hole* DB-04

Perhitungan potensi likuifaksi pada titik *Bore Hole* DB-04 dapat dilihat pada Tabel 5.40, Tabel 5.41, Tabel 5.42 dan Gambar 5.25 berikut ini.

**ISLAM**  
**Tabel 5.40 Perhitungan CSR DB-04**

| Lapisan | Kedalaman | Beda Tinggi | Jenis Tanah                            | (amax/g) | rd       | $\gamma d$ | Tegangan Total ( $\sigma$ ) | Angka Pori (u) | Tegangan efektif ( $\sigma'$ ) | $(\sigma/\sigma')$ | CSR    |
|---------|-----------|-------------|--|----------|----------|------------|-----------------------------|----------------|--------------------------------|--------------------|--------|
| 1       | 0,65      | 1           | fine SAND                              | 0,5      | 0,995028 | 12,648     | 8,2212                      | 0              | 8,2212                         | 1                  | 0,2587 |
| 2       | 1,65      | 1           | fine SAND                              | 0,5      | 0,987378 | 12,648     | 20,8692                     | 0              | 20,8692                        | 1                  | 0,2567 |
| 3       | 2,65      | 1           | fine SAND                              | 0,5      | 0,979728 | 12,648     | 33,5172                     | 0              | 33,5172                        | 1                  | 0,2547 |
| 4       | 3,65      | 1           | medium SAND,<br>medium dense           | 0,5      | 0,972    | 12,648     | 46,1652                     | 5,886          | 33,5172                        | 1,3773             | 0,2897 |
| 5       | 4,65      | 1           | medium SAND,<br>medium dense           | 0,5      | 0,964428 | 13,194     | 59,3592                     | 15,696         | 43,6632                        | 1,3594             | 0,3409 |
| 6       | 5,65      | 1           | medium SAND,<br>dense to very<br>dense | 0,5      | 0,956778 | 13,194     | 72,5532                     | 25,506         | 47,0472                        | 1,5421             | 0,3836 |
| 7       | 6,65      | 1           | medium SAND,<br>dense to very<br>dense | 0,5      | 0,949128 | 13,194     | 85,7472                     | 35,316         | 50,4312                        | 1,7002             | 0,4196 |
| 8       | 7,65      | 1           | medium SAND,<br>dense to very<br>dense | 0,5      | 0,941478 | 12,117     | 97,8642                     | 45,126         | 52,7382                        | 1,8556             | 0,4542 |

**Lanjutan Tabel 5.40 Perhitungan CSR DB-04**

| Lapisan | Kedalaman | Beda Tinggi | Jenis Tanah                         | (amax/g) | rd       | $\gamma d$ | Tegangan Total ( $\sigma$ ) | Angka Pori (u) | Tegangan efektif ( $\sigma'$ ) | $(\sigma/\sigma')$ | CSR    |
|---------|-----------|-------------|-------------------------------------|----------|----------|------------|-----------------------------|----------------|--------------------------------|--------------------|--------|
| 9       | 8,65      | 1           | medium SAND,<br>dense to very dense | 0,5      | 0,933828 | 12,117     | 109,9812                    | 54,936         | 55,0452                        | 1,9980             | 0,4851 |
| 10      | 9,65      | 1           | medium SAND,<br>dense to very dense | 0,5      | 0,916345 | 12,117     | 122,0982                    | 64,746         | 57,3522                        | 2,1289             | 0,5072 |

**Tabel 5.41 Perhitungan CRR DB-04**

| Lapisan | Kedalaman (m) | Beda Tinggi (m) | Jenis Tanah                      | N-SPT |    | Faktor koreksi (N1)60 |     |    |      |   | (N1)60   | CRR     |
|---------|---------------|-----------------|----------------------------------|-------|----|-----------------------|-----|----|------|---|----------|---------|
|         |               |                 |                                  | Cn    | Ce | Cb                    | Cr  | Cs |      |   |          |         |
| 1       | 0,65          | 1               | fine SAND                        | 13    | 30 | 1,7                   | 1,2 | 1  | 0,85 | 1 | 22,542   | 0,2499  |
| 2       | 1,65          | 1               | fine SAND                        | 22    | 30 | 1,564764              | 1,2 | 1  | 0,85 | 1 | 35,1133  | -0,6428 |
| 3       | 2,65          | 1               | fine SAND                        | 25    | 30 | 1,437167              | 1,2 | 1  | 0,85 | 1 | 36,64777 | -0,1109 |
| 4       | 3,65          | 1               | medium SAND, medium dense        | 25    | 30 | 1,37713               | 1,2 | 1  | 0,85 | 1 | 35,11683 | -0,6400 |
| 5       | 4,65          | 1               | medium SAND, medium dense        | 27    | 30 | 1,34893               | 1,2 | 1  | 0,85 | 1 | 37,14953 | -0,0470 |
| 6       | 5,65          | 1               | medium SAND, dense to very dense | 47    | 20 | 1,321861              | 1,2 | 1  | 0,85 | 1 | 63,37003 | 0,4305  |
| 7       | 6,65          | 1               | medium SAND, dense to very dense | 50    | 19 | 1,295858              | 1,2 | 1  | 0,85 | 1 | 66,0887  | 0,4535  |
| 8       | 7,65          | 1               | medium SAND, dense to very dense | 52    | 30 | 1,278709              | 1,2 | 1  | 0,85 | 1 | 67,8227  | 0,4679  |

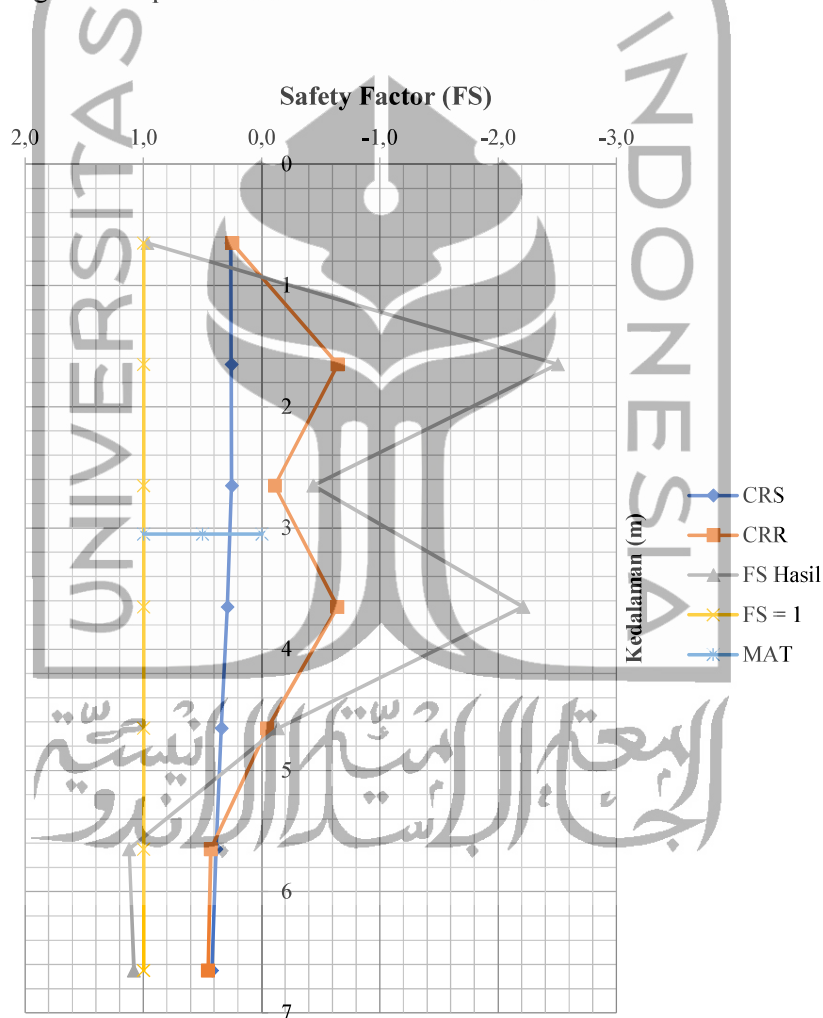
**Lanjutan Tabel 5.41 Perhitungan CRR DB-04**

| Lapisan | Kedalaman (m) | Beda Tinggi (m) | Jenis Tanah                      | N-SPT |    | Faktor koreksi (N1)60 |     |   |      | (N1)60 | CRR     |        |
|---------|---------------|-----------------|----------------------------------|-------|----|-----------------------|-----|---|------|--------|---------|--------|
| 9       | 8,65          | 1               | medium SAND, dense to very dense | 50    | 25 | 1,262008              | 1,2 | 1 | 0,85 | 1      | 64,3624 | 0,4389 |
| 10      | 9,65          | 1               | medium SAND, dense to very dense | 50    | 27 | 1,245737              | 1,2 | 1 | 0,85 | 1      | 63,5326 | 0,4319 |

**Tabel 5.42 Hasil Analisis Potensi Likuifaksi DB-04**

| Lapisan | Kedalaman | Beda Tinggi (m) | Jenis Tanah (m)                  | CSR    | CRR     | FS      | FS = 1 | STATUS                   |
|---------|-----------|-----------------|----------------------------------|--------|---------|---------|--------|--------------------------|
| 1       | 0,65      | 1               | fine SAND                        | 0,2587 | 0,2499  | 0,9661  | 1,0000 | Terjadi Likuifaksi       |
| 2       | 1,65      | 1               | fine SAND                        | 0,2567 | -0,6428 | -2,5040 | 1,0000 | Tidak Terjadi Likuifaksi |
| 3       | 2,65      | 1               | fine SAND                        | 0,2547 | -0,1109 | -0,4354 | 1,0000 | Tidak Terjadi Likuifaksi |
| 4       | 3,65      | 1               | medium SAND, medium dense        | 0,2897 | -0,6400 | -2,2092 | 1,0000 | Tidak Terjadi Likuifaksi |
| 5       | 4,65      | 1               | medium SAND, medium dense        | 0,3409 | -0,0470 | -0,1380 | 1,0000 | Tidak Terjadi Likuifaksi |
| 6       | 5,65      | 1               | medium SAND, dense to very dense | 0,3836 | 0,4305  | 1,1221  | 1,0000 | Tidak Terjadi Likuifaksi |
| 7       | 6,65      | 1               | medium SAND, dense to very dense | 0,4196 | 0,4535  | 1,0808  | 1,0000 | Tidak Terjadi Likuifaksi |
| 8       | 7,65      | 1               | medium SAND, dense to very dense | 0,4542 | 0,4679  | 1,0301  | 1,0000 | Tidak Terjadi Likuifaksi |
| 9       | 8,65      | 1               | medium SAND, dense to very dense | 0,4851 | 0,4389  | 0,9048  | 1,0000 | Tidak Terjadi Likuifaksi |
| 10      | 9,65      | 1               | medium SAND, dense to very dense | 0,5072 | 0,4319  | 0,8514  | 1,0000 | Tidak Terjadi Likuifaksi |

Berdasarkan pada hasil perhitungan data SPT setelah pemedatan di titik DB-04 didapatkan grafik seperti pada Gambar 5.21 yang berisikan sumbu x terdiri dari 3 variabel yaitu nilai CSR, CRR, dan FS dan pada sumbu y merupakan kedalaman titik uji *bore hole* pada SPT. Dimana apabila nilai FS kurang dari 1 menunjukkan bahwa pada kedalaman tersebut mengalami potensi likuifaksi. Pada titik ini seluruh lapisan tanah aman dari dari potensi likuifaksi meskipun di beberapa lapisan tanah didapatkan nilai  $FS < 1$  tetapi nilai  $(N_1)_{60} \geq 30$  sehingga diklasifikasikan sebagai tanah yang tidak dapat terlikuifaksi.



Gambar 5.21 Grafik CSR, CRR, FS vs Kedalaman (DB-04)

e. *Bore Hole DB-05*

Perhitungan potensi likuifaksi pada titik *Bore Hole DB-05* dapat dilihat pada Tabel 5.43, Tabel 5.44, Tabel 5.45 dan Gambar 5.26 berikut ini.

Tabel 5.43 Perhitungan CSR DB-05

| Lapisan | Kedalaman | Beda Tinggi | Jenis Tanah                         | (amax/g) | rd       | $\gamma d$ | Tegangan Total ( $\sigma$ ) | Angka Pori (u) | Tegangan efektif ( $\sigma'$ ) | $(\sigma/\sigma')$ | CSR    |
|---------|-----------|-------------|-------------------------------------|----------|----------|------------|-----------------------------|----------------|--------------------------------|--------------------|--------|
| 1       | 0,65      | 1           | fine SAND                           | 0,5      | 0,995028 | 11,07      | 7,1955                      | 0              | 7,1955                         | 1                  | 0,2587 |
| 2       | 1,65      | 1           | fine SAND                           | 0,5      | 0,987378 | 11,07      | 18,2655                     | 0              | 18,2655                        | 1                  | 0,2567 |
| 3       | 2,65      | 1           | medium SAND,<br>dense to very dense | 0,5      | 0,979728 | 12,27      | 30,5355                     | 0              | 30,5355                        | 1                  | 0,2547 |
| 4       | 3,65      | 1           | medium SAND,<br>dense to very dense | 0,5      | 0,972    | 12,27      | 42,8055                     | 8,0442         | 30,5355                        | 1,4018             | 0,3112 |
| 5       | 4,65      | 1           | medium SAND,<br>dense to very dense | 0,5      | 0,964428 | 14,28      | 57,0855                     | 17,8542        | 39,2313                        | 1,4551             | 0,3649 |
| 6       | 5,65      | 1           | medium SAND,<br>dense to very dense | 0,5      | 0,956778 | 14,28      | 71,3655                     | 27,6642        | 43,7013                        | 1,6330             | 0,4062 |
| 7       | 6,65      | 1           | medium SAND,<br>dense to very dense | 0,5      | 0,949128 | 14,135     | 85,5005                     | 47,2842        | 38,2163                        | 2,2372             | 0,5521 |
| 8       | 7,65      | 1           | medium SAND,<br>dense to very dense | 0,5      | 0,941478 | 13,99      | 99,4905                     | 57,0942        | 42,3963                        | 2,3466             | 0,5744 |

### Lanjutan Tabel 5.43 Perhitungan CSR DB-05

| Lapisan | Kedalaman | Beda Tinggi | Jenis Tanah                            | (amax/g) | rd       | $\gamma d$ | Tegangan Total ( $\sigma$ ) | Angka Pori (u) | Tegangan efektif ( $\sigma'$ ) | $(\sigma/\sigma')$ | CSR    |
|---------|-----------|-------------|--|----------|----------|------------|-----------------------------|----------------|--------------------------------|--------------------|--------|
| 9       | 8,65      | 1           | medium SAND,<br>dense to very<br>dense | 0,5      | 0,933828 | 13,99      | 113,4805                    | 66,9042        | 46,5763                        | 2,4364             | 0,5916 |
| 10      | 9,65      | 1           | medium SAND,<br>dense to very<br>dense | 0,5      | 0,916345 | 13,99      | 127,4705                    | 66,9042        | 60,5663                        | 2,1046             | 0,5014 |

Tabel 5.44 Perhitungan CRR DB-05

| Lapisan | Kedalaman (m) | Beda Tinggi (m) | Jenis Tanah                      | N-SPT |    | Faktor koreksi (N1)60 |     |    |      |    | (N1)60   | CRR     |
|---------|---------------|-----------------|----------------------------------|-------|----|-----------------------|-----|----|------|----|----------|---------|
|         |               |                 |                                  |       |    | Cn                    | Ce  | Cb | Cr   | Cs |          |         |
| 1       | 0,65          | 1               | fine SAND                        | 21    | 30 | 1,7                   | 1,2 | 1  | 0,85 | 1  | 36,414   | -0,1492 |
| 2       | 1,65          | 1               | fine SAND                        | 30    | 30 | 1,593895              | 1,2 | 1  | 0,85 | 1  | 48,77319 | 0,2888  |
| 3       | 2,65          | 1               | medium SAND, dense to very dense | 31    | 30 | 1,465336              | 1,2 | 1  | 0,85 | 1  | 46,33393 | 0,2573  |
| 4       | 3,65          | 1               | medium SAND, dense to very dense | 35    | 30 | 1,425732              | 1,2 | 1  | 0,85 | 1  | 50,89862 | 0,3130  |
| 5       | 4,65          | 1               | medium SAND, dense to very dense | 36    | 30 | 1,386104              | 1,2 | 1  | 0,85 | 1  | 50,89773 | 0,3130  |
| 6       | 5,65          | 1               | medium SAND, dense to very dense | 50    | 20 | 1,348619              | 1,2 | 1  | 0,85 | 1  | 68,77957 | 0,4758  |
| 7       | 6,65          | 1               | medium SAND, dense to very dense | 50    | 19 | 1,394907              | 1,2 | 1  | 0,85 | 1  | 71,1403  | 0,4951  |
| 8       | 7,65          | 1               | medium SAND, dense to very dense | 50    | 30 | 1,359351              | 1,2 | 1  | 0,85 | 1  | 69,3269  | 0,4803  |

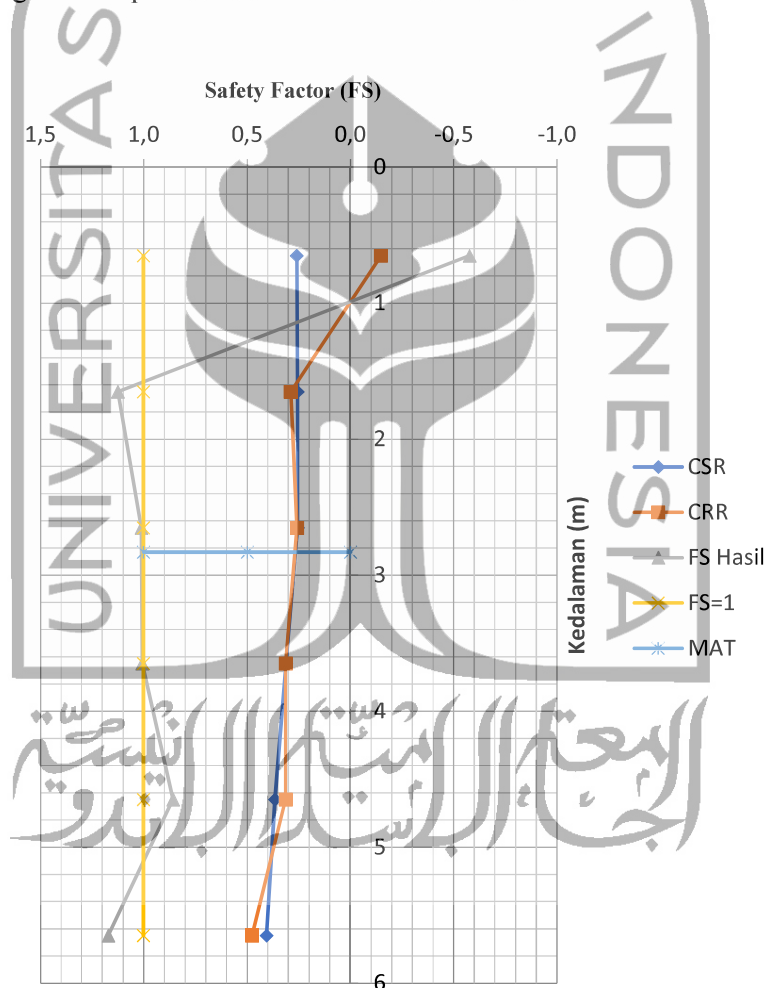
**Lanjutan Tabel 5.44 Perhitungan CRR DB-05**

| Lapisan | Kedalaman<br>(m) | Beda<br>Tinggi (m) | Jenis Tanah                      | N-SPT |    | Faktor koreksi (N1)60 |     |    |      |    | (N1)60  | CRR    |
|---------|------------------|--------------------|----------------------------------|-------|----|-----------------------|-----|----|------|----|---------|--------|
|         |                  |                    |                                  |       |    | Cn                    | Ce  | Cb | Cr   | Cs |         |        |
| 9       | 8,65             | 1                  | medium SAND, dense to very dense | 50    | 25 | 1,325563              | 1,2 | 1  | 0,85 | 1  | 67,6037 | 0,4661 |
| 10      | 9,65             | 1                  | medium SAND, dense to very dense | 50    | 27 | 1,223757              | 1,2 | 1  | 0,85 | 1  | 62,4116 | 0,4222 |

**Tabel 5.45 Hasil Analisis Potensi Likuifaksi DB-05**

| Lapisan | Kedalaman | Beda<br>Tinggi<br>(m) | Jenis Tanah (m)                  | CSR    | CRR     | FS      | FS = 1 | STATUS                   |
|---------|-----------|-----------------------|----------------------------------|--------|---------|---------|--------|--------------------------|
| 1       | 0,65      | 1                     | fine SAND                        | 0,2587 | -0,1492 | -0,5768 | 1,0000 | Tidak Terjadi Likuifaksi |
| 2       | 1,65      | 1                     | fine SAND                        | 0,2567 | 0,2888  | 1,1248  | 1,0000 | Tidak Terjadi Likuifaksi |
| 3       | 2,65      | 1                     | medium SAND, dense to very dense | 0,2547 | 0,2573  | 1,0102  | 1,0000 | Tidak Terjadi Likuifaksi |
| 4       | 3,65      | 1                     | medium SAND, dense to very dense | 0,3112 | 0,3130  | 1,0057  | 1,0000 | Tidak Terjadi Likuifaksi |
| 5       | 4,65      | 1                     | medium SAND, dense to very dense | 0,3649 | 0,3130  | 0,8579  | 1,0000 | Tidak Terjadi Likuifaksi |
| 6       | 5,65      | 1                     | medium SAND, dense to very dense | 0,4062 | 0,4758  | 1,1713  | 1,0000 | Tidak Terjadi Likuifaksi |
| 7       | 6,65      | 1                     | medium SAND, dense to very dense | 0,5521 | 0,4951  | 0,8968  | 1,0000 | Tidak Terjadi Likuifaksi |
| 8       | 7,65      | 1                     | medium SAND, dense to very dense | 0,5744 | 0,4803  | 0,8362  | 1,0000 | Tidak Terjadi Likuifaksi |
| 9       | 8,65      | 1                     | medium SAND, dense to very dense | 0,5916 | 0,4661  | 0,7879  | 1,0000 | Tidak Terjadi Likuifaksi |
| 10      | 9,65      | 1                     | medium SAND, dense to very dense | 0,5014 | 0,4222  | 0,8420  | 1,0000 | Tidak Terjadi Likuifaksi |

Berdasarkan pada hasil perhitungan data SPT setelah pemedatan di titik DB-05 didapatkan grafik seperti pada Gambar 5.22 yang berisikan sumbu x terdiri dari 3 variabel yaitu nilai CSR, CRR, dan FS dan pada sumbu y merupakan kedalaman titik uji *bore hole* pada SPT. Dimana apabila nilai FS kurang dari 1 menunjukkan bahwa pada kedalaman tersebut mengalami potensi likuifaksi. Pada titik ini seluruh lapisan tanah aman dari dari potensi likuifaksi meskipun di beberapa lapisan tanah didapatkan nilai  $FS < 1$  tetapi nilai  $(N_1)_{60} \geq 30$  sehingga diklasifikasikan sebagai tanah yang tidak dapat terlikuifaksi.



Gambar 5.22 Grafik CSR, CRR, FS vs Kedalaman (DB-05)

f. *Bore Hole* DB-06

Perhitungan potensi likuifaksi pada titik *Bore Hole* DB-06 dapat dilihat pada Tabel 5.46, Tabel 5.47, Tabel 5.48 dan Gambar 5.27 berikut ini.

Tabel 5.46 Perhitungan CSR DB-06

| Lapisan | Kedalaman | Beda Tinggi | Jenis Tanah                         | (amax/g) | rd       | $\gamma d$ | Tegangan Total ( $\sigma$ ) | Angka Pori (u) | Tegangan efektif ( $\sigma'$ ) | $(\sigma/\sigma')$ | CSR    |
|---------|-----------|-------------|-------------------------------------|----------|----------|------------|-----------------------------|----------------|--------------------------------|--------------------|--------|
| 1       | 0,65      | 1           | fine SAND                           | 0,5      | 0,987378 | 15,22      | 9,893                       | 0              | 9,893                          | 1                  | 1,8612 |
| 2       | 1,65      | 1           | fine SAND                           | 0,5      | 0,979728 | 15,22      | 25,113                      | 0              | 25,113                         | 1                  | 1,8468 |
| 3       | 2,65      | 1           | medium SAND,<br>medium dense        | 0,5      | 0,972078 | 15,22      | 40,333                      | 0              | 40,333                         | 1                  | 1,8324 |
| 4       | 3,65      | 1           | medium SAND,<br>medium dense        | 0,5      | 0,964    | 13,194     | 53,527                      | 7,3575         | 40,333                         | 1,3271             | 2,1077 |
| 5       | 4,65      | 1           | medium SAND,<br>dense to very dense | 0,5      | 0,956778 | 13,194     | 66,721                      | 17,1675        | 49,5535                        | 1,3464             | 2,4283 |
| 6       | 5,65      | 1           | medium SAND,<br>dense to very dense | 0,5      | 0,949128 | 13,412     | 80,133                      | 26,9775        | 53,1555                        | 1,5075             | 2,6971 |
| 7       | 6,65      | 1           | medium SAND,<br>dense to very dense | 0,5      | 0,941478 | 13,63      | 93,763                      | 46,5975        | 47,1655                        | 1,9879             | 3,5280 |
| 8       | 7,65      | 1           | medium SAND,<br>dense to very dense | 0,5      | 0,933828 | 13,63      | 107,393                     | 56,4075        | 50,9855                        | 2,1063             | 3,7077 |

### Lanjutan Tabel 5.46 Perhitungan CSR DB-06

| Lapisan | Kedalaman | Beda Tinggi | Jenis Tanah                            | (amax/g) | rd       | $\gamma d$ | Tegangan Total ( $\sigma$ ) | Angka Pori (u) | Tegangan efektif ( $\sigma'$ ) | $(\sigma/\sigma')$ | CSR    |
|---------|-----------|-------------|--|----------|----------|------------|-----------------------------|----------------|--------------------------------|--------------------|--------|
| 9       | 8,65      | 1           | medium SAND,<br>dense to very<br>dense | 0,5      | 0,916345 | 13,63      | 121,023                     | 66,2175        | 54,8055                        | 2,2082             | 3,8143 |
| 10      | 9,65      | 1           | medium SAND,<br>dense to very<br>dense | 0,5      | 1        | 13,63      | 134,653                     | 66,2175        | 68,4355                        | 1,9675             | 3,7089 |

Tabel 5.47 Perhitungan CRR DB-06

| Lapisan | Kedalaman (m) | Beda Tinggi (m) | Jenis Tanah                      | N-SPT |    | Faktor koreksi (N1)60 |     |    |      |    | (N1)60   | CRR    |
|---------|---------------|-----------------|----------------------------------|-------|----|-----------------------|-----|----|------|----|----------|--------|
|         |               |                 |                                  |       |    | Cn                    | Ce  | Cb | Cr   | Cs |          |        |
| 1       | 0,65          | 1               | fine SAND                        | 19    | 30 | 1,69539               | 1,2 | 1  | 0,85 | 1  | 32,85666 | 1,1134 |
| 2       | 1,65          | 1               | fine SAND                        | 27    | 30 | 1,519499              | 1,2 | 1  | 0,85 | 1  | 41,84699 | 0,1778 |
| 3       | 2,65          | 1               | medium SAND, medium dense        | 27    | 30 | 1,376673              | 1,2 | 1  | 0,85 | 1  | 37,91357 | 0,0206 |
| 4       | 3,65          | 1               | medium SAND, medium dense        | 29    | 30 | 1,328777              | 1,2 | 1  | 0,85 | 1  | 39,30523 | 0,0979 |
| 5       | 4,65          | 1               | medium SAND, dense to very dense | 33    | 30 | 1,302503              | 1,2 | 1  | 0,85 | 1  | 43,84227 | 0,2184 |
| 6       | 5,65          | 1               | medium SAND, dense to very dense | 38    | 20 | 1,275655              | 1,2 | 1  | 0,85 | 1  | 49,44439 | 0,2967 |
| 7       | 6,65          | 1               | medium SAND, dense to very dense | 50    | 19 | 1,320935              | 1,2 | 1  | 0,85 | 1  | 67,3677  | 0,4641 |
| 8       | 7,65          | 1               | medium SAND, dense to very dense | 50    | 30 | 1,291696              | 1,2 | 1  | 0,85 | 1  | 65,8765  | 0,4517 |

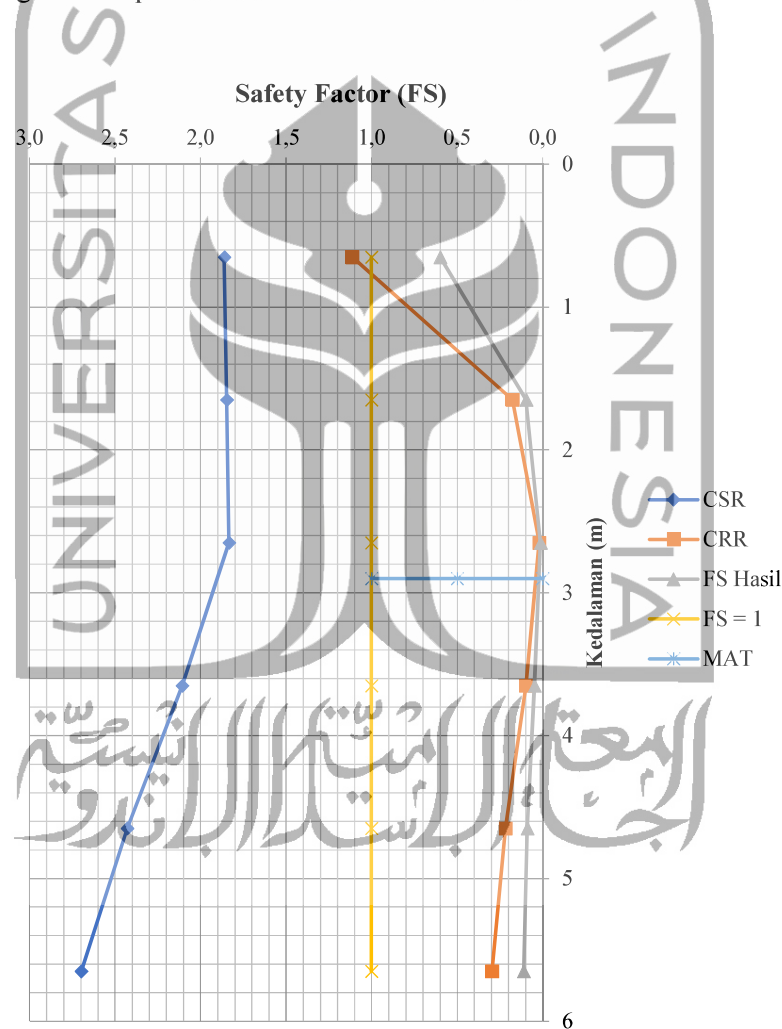
**Lanjutan Tabel 5.47 Perhitungan CRR DB-06**

| Lapisan | Kedalaman<br>(m) | Beda<br>Tinggi<br>(m) | Jenis Tanah                      | N-SPT |    | Faktor koreksi (N1)60 |     |    |      |    | (N1)60  | CRR    |
|---------|------------------|-----------------------|----------------------------------|-------|----|-----------------------|-----|----|------|----|---------|--------|
|         |                  |                       |                                  |       |    | Cn                    | Ce  | Cb | Cr   | Cs |         |        |
| 9       | 8,65             | 1                     | medium SAND, dense to very dense | 45    | 25 | 1,263723              | 1,2 | 1  | 0,85 | 1  | 58,0049 | 0,3831 |
| 10      | 9,65             | 1                     | medium SAND, dense to very dense | 50    | 27 | 1,173079              | 1,2 | 1  | 0,85 | 1  | 59,8270 | 0,3996 |

**Tabel 5.48 Hasil Analisis Potensi Likuifaksi DB-06**

| Lapisan | Kedalaman | Beda<br>Tinggi<br>(m) | Jenis Tanah (m)                  | CSR    | CRR    | FS     | FS = 1 | STATUS                   |
|---------|-----------|-----------------------|----------------------------------|--------|--------|--------|--------|--------------------------|
| 1       | 0,65      | 1                     | fine SAND                        | 1,8612 | 1,1134 | 0,5982 | 1,0000 | Tidak Terjadi Likuifaksi |
| 2       | 1,65      | 1                     | fine SAND                        | 1,8468 | 0,1778 | 0,0963 | 1,0000 | Tidak Terjadi Likuifaksi |
| 3       | 2,65      | 1                     | medium SAND, medium dense        | 1,8324 | 0,0206 | 0,0112 | 1,0000 | Tidak Terjadi Likuifaksi |
| 4       | 3,65      | 1                     | medium SAND, medium dense        | 2,1077 | 0,0979 | 0,0465 | 1,0000 | Tidak Terjadi Likuifaksi |
| 5       | 4,65      | 1                     | medium SAND, dense to very dense | 2,4283 | 0,2184 | 0,0899 | 1,0000 | Tidak Terjadi Likuifaksi |
| 6       | 5,65      | 1                     | medium SAND, dense to very dense | 2,6971 | 0,2967 | 0,1100 | 1,0000 | Tidak Terjadi Likuifaksi |
| 7       | 6,65      | 1                     | medium SAND, dense to very dense | 3,5280 | 0,4641 | 0,1316 | 1,0000 | Tidak Terjadi Likuifaksi |
| 8       | 7,65      | 1                     | medium SAND, dense to very dense | 3,7077 | 0,4517 | 0,1218 | 1,0000 | Tidak Terjadi Likuifaksi |
| 9       | 8,65      | 1                     | medium SAND, dense to very dense | 3,8143 | 0,3831 | 0,1004 | 1,0000 | Tidak Terjadi Likuifaksi |
| 10      | 9,65      | 1                     | medium SAND, dense to very dense | 3,7089 | 0,3996 | 0,1077 | 1,0000 | Tidak Terjadi Likuifaksi |

Berdasarkan pada hasil perhitungan data SPT setelah pemedatan di titik DB-06 didapatkan grafik seperti pada Gambar 5.23 yang berisikan sumbu x terdiri dari 3 variabel yaitu nilai CSR, CRR, dan FS dan pada sumbu y merupakan kedalaman titik uji *bore hole* pada SPT. Dimana apabila nilai FS kurang dari 1 menunjukkan bahwa pada kedalaman tersebut mengalami potensi likuifaksi. Pada titik ini seluruh lapisan tanah aman dari dari potensi likuifaksi meskipun di beberapa lapisan tanah didapatkan nilai  $FS < 1$  tetapi nilai  $(N_1)_{60} \geq 30$  sehingga diklasifikasikan sebagai tanah yang tidak dapat terlikuifaksi.



**Gambar 5.23 Grafik CSR, CRR, FS vs Kedalaman (DB-06)**

### 5.2.3 Analisis Data CPT

Adapun data lapangan yang didapatkan dari uji CPT ialah tahanan ujung konus ( $q_c$ ). Dari nilai  $q_c$  yang ada dapat dihitung nilai friksi dan jumlah hambatan lekat pada suatu lapisan tanah. Dari nilai tahanan ujung dapat dihitung nilai CRR yang mewakili nilai ketahanan tanah terhadap beban siklik akibat gempa. Dari nilai  $q_c$  diolah menjadi grafik. Untuk contoh perhitungan dapat dilihat sebagai berikut.

CPT-01

Didapatkan dari data CPT-01 terlampir pada Lampiran 6.

$$H = 0,2$$

$$\gamma = 12,438$$

1. Perhitungan tegangan efektif ( $\sigma'$ )

$$\begin{aligned}
 \text{Tegangan total } (\sigma') &= h \times \gamma \\
 &= 0,2 \times 12,438 \\
 &= 2,4876 \text{ kN/m}^2 \\
 \text{Tekanan air pori } (u) &= 0 \text{ kN/m}^2 \\
 \text{Tegangan efektif } (\sigma'_1) &= \sigma - u \\
 &= 2,4876 - 0 \\
 &= 2,4876 \text{ kN/m}^2
 \end{aligned}$$

2. Perhitungan nilai reduksi tegangan (rd)

$$rd = 1,0 - 0,00765 \times z$$

3. Perhitungan nilai Cyclic Stress Ratio (CSR)

$$\begin{aligned}
 CSR &= 0,65 \left( \frac{a_{max}}{g} \right) \left( \frac{\sigma_v}{\sigma'_{vo}} \right) rd \\
 &= 0,65 \times (0,4) \times \left( \frac{2,4876}{2,4876} \right) \times 0,99694 \\
 &= 0,2592
 \end{aligned}$$

4. Perhitungan nilai Q

$$Q = \left[ \frac{(q_c - \sigma_{vo})}{P_a} \right] \left[ \left( \frac{P_a}{\sigma'_{vo}} \right)^n \right]$$

$$\begin{aligned}
 &= \left[ \frac{(5272,6 - 2,4876)}{101,325} \right] \left[ \left( \frac{101,325}{2,4876} \right)^{0,5} \right] \\
 &= 331,948949
 \end{aligned}$$

5. Perhitungan nilai F

$$\begin{aligned}
 F &= \left[ \frac{f_s}{q_c - \sigma_{vo}} \right] \times 100\% \\
 &= \left[ \frac{0,4}{861,0195 - 2,4876} \right] \times 100\% \\
 &= 7,58997 \times 10^{-5}
 \end{aligned}$$

6. Perhitungan nilai Ic

$$\begin{aligned}
 Ic &= [(3,47 - \log Q)^2 + (1,22 + \log F)^2]^{0,5} \\
 &= [(3,47 - \log 331,948949)^2 + (1,22 + \log 7,58997 \times 10^{-5})^2]^{0,5} \\
 &= 3,05108
 \end{aligned}$$

7. Perhitungan nilai Cq

$$\begin{aligned}
 Cq &= \left( \frac{Pa}{\sigma'_{vo}} \right)^n \\
 &= \left( \frac{101,325}{2,4876} \right)^{0,5} \\
 &= 6,382165
 \end{aligned}$$

8. Perhitungan qcIN

$$\begin{aligned}
 qcIN &= Cq (qc/Pa) \\
 &= 6,382165 (5272,6/101,325) \\
 &= 332,1056
 \end{aligned}$$

Hitungan ekivalensi pasir bersih N-SPT ternormalisasi ( $qcIN_{cs}$ )

Harga tahanan konus ternormalisasi  $qcIN$ , untuk pasir kelempungan dikoreksi terhadap pasir bersih ( $cs$ ) dengan harga ( $qcIN_{cs}$ ) seperti berikut.

$$(qcIN)_{cs} = Kc \cdot qcIN$$

Dimana :

$Kc$  = faktor koreksi untuk karakteristik butiran yang didefinisikan oleh persamaan berikut (Robertson and Wride, 1998)

Untuk  $Ic \leq 1,64$ ..... $Kc = 1,0$

Untuk  $Ic > 1,64$ ..... $Kc = -0,403 \cdot Ic^4 + 5,581 \cdot Ic^3 - 21,63 \cdot Ic^2 + 33,75 \cdot Ic - 17,88$

Pada perhitungan nilai  $I_c$  diatas, didapatkan nilai  $I_c = 3,05108$

$$I_c > 1,64$$

$$\begin{aligned} K_c &= -0,403 \cdot I_c^4 + 5,581 \cdot I_c^3 - 21,63 \cdot I_c^2 + 33,75 \cdot I_c - 17,88 \\ &= -0,403 \cdot 3,05108^4 + 5,581 \cdot 3,05108^3 - 21,63 \cdot 3,05108^2 + 33,75 \cdot 3,05108 - 17,88 \\ &= 7,33058 \\ &= K_c \cdot q_{cIN} \\ &= 7,33058 \times 332,1056 \\ &= 2434,526 \\ &= 0,833 \left( \frac{q_{cIN}}{1000} \right) + 0,05 \\ &= 0,833 \left( \frac{332,1056}{1000} \right) + 0,05 \\ &= 0,326644 \\ &\approx 2 \end{aligned}$$

#### 9. Perhitungan CRR

$$\begin{aligned} CRR &= \\ &= 0,833 \left( \frac{q_{cIN}}{1000} \right) + 0,05 \\ &= 0,833 \left( \frac{332,1056}{1000} \right) + 0,05 \\ &= 0,326644 \\ &\approx 2 \end{aligned}$$

Berdasarkan nilai  $(q_{cIN})_{cs}$  yang diperoleh yaitu 2434,526 sehingga dalam buku *Soil Liquefaction During Earthquake* tulisan LM Idriss dan R.W. Boulanger diketahui bahwa nilai  $CRR_{7,5}$  sebagai berikut :

Jika nilai  $(q_{cIN})_{cs} < 211$

$$CRR_{7,5} = \exp [((q_{cIN})_{cs}/540) + ((q_{cIN})_{cs}/67)2 - ((q_{cIN})_{cs}/80)2 + ((q_{cIN})_{cs}/114)4 - 3]$$

Jika nilai  $(q_{cIN})_{cs} > 211$ , maka  $CRR_{7,5} = 2$

#### 10. Perhitungan FS

$$\begin{aligned} FS &= \frac{CRR}{CSR} \\ &= \frac{2}{0,25920} \\ &= 7,71592 > 1 \text{ (tidak terjadi likuifaksi)} \end{aligned}$$

Berdasarkan perhitungan data CPT diatas, berikut rekapitulasi titik-titik lainnya pada *runway* sebagai berikut.

a. CPT-01

Rekapitulasi hasil potensi likuifaksi pada titik CPT-01 dapat dilihat pada Tabel 5.49 dan Gambar 5.28 berikut ini.

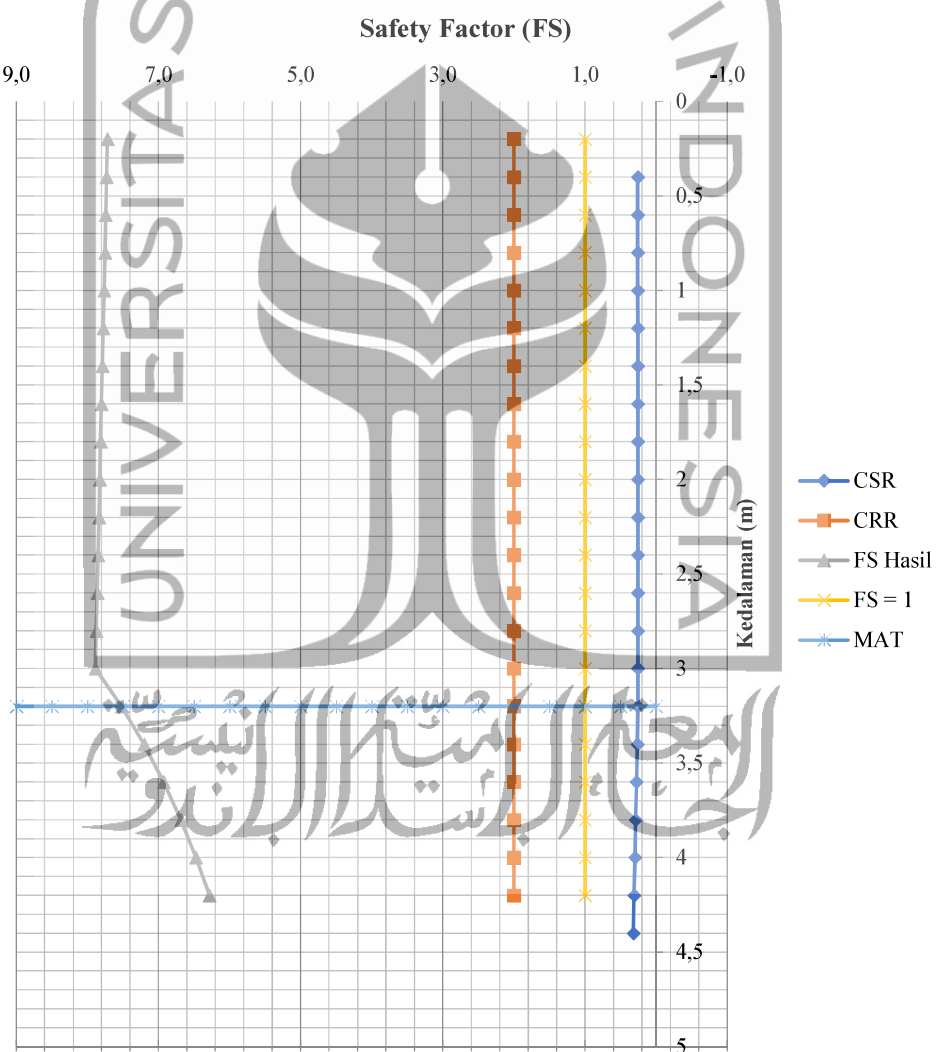
**Tabel 5.49 Rekapitulasi Hasil Analisis Potensi Likuifaksi CPT-01**

| Depth<br>m | qc (kN/m <sup>2</sup> ) |                   | $\sigma$ | $\sigma'$ | IC    | qcIN    | rd    | CSR   | CRR   | FS    | STATUS                   |
|------------|-------------------------|-------------------|----------|-----------|-------|---------|-------|-------|-------|-------|--------------------------|
|            | kg/cm <sup>2</sup>      | kN/m <sup>2</sup> |          |           |       |         |       |       |       |       |                          |
| 0,2        |                         |                   |          |           |       |         |       |       |       |       |                          |
| 0,4        | 5,2726                  | 5272,6            | 2,488    | 2,488     | 3,051 | 332,106 | 0,997 | 0,259 | 2,000 | 7,716 | Tidak Terjadi Likuifaksi |
| 0,6        | 6,9103                  | 6910,3            | 4,975    | 4,975     | 3,173 | 307,775 | 0,995 | 0,259 | 2,000 | 7,728 | Tidak Terjadi Likuifaksi |
| 0,8        | 10,7353                 | 10735,3           | 7,463    | 7,463     | 2,357 | 390,396 | 0,994 | 0,258 | 2,000 | 7,740 | Tidak Terjadi Likuifaksi |
| 1          | 15,8626                 | 15862,6           | 9,950    | 9,950     | 1,496 | 499,569 | 0,992 | 0,258 | 2,000 | 7,752 | Tidak Terjadi Likuifaksi |
| 1,2        | 11,7831                 | 11783,1           | 12,438   | 12,438    | 1,517 | 331,914 | 0,991 | 0,258 | 2,000 | 7,764 | Tidak Terjadi Likuifaksi |
| 1,4        | 17,8004                 | 17800,4           | 14,926   | 14,926    | 1,263 | 457,726 | 0,989 | 0,257 | 2,000 | 7,776 | Tidak Terjadi Likuifaksi |
| 1,6        | 21,0211                 | 21021,1           | 17,413   | 17,413    | 1,213 | 500,447 | 0,988 | 0,257 | 2,000 | 7,788 | Tidak Terjadi Likuifaksi |
| 1,8        | 22,1401                 | 22140,1           | 19,901   | 19,901    | 1,251 | 493,044 | 0,986 | 0,256 | 2,000 | 7,800 | Tidak Terjadi Likuifaksi |
| 2          | 23,1461                 | 23146,1           | 22,388   | 22,388    | 1,226 | 485,968 | 0,985 | 0,256 | 2,000 | 7,812 | Tidak Terjadi Likuifaksi |
| 2,2        | 22,4549                 | 22454,9           | 24,876   | 24,876    | 1,241 | 447,263 | 0,983 | 0,256 | 2,000 | 7,824 | Tidak Terjadi Likuifaksi |
| 2,4        | 25,3997                 | 25399,7           | 27,364   | 27,364    | 1,274 | 482,374 | 0,982 | 0,255 | 2,000 | 7,836 | Tidak Terjadi Likuifaksi |
| 2,6        | 22,994                  | 22994             | 29,851   | 29,851    | 1,178 | 418,095 | 0,980 | 0,255 | 2,000 | 7,848 | Tidak Terjadi Likuifaksi |
| 2,8        | 18,0773                 | 18077,3           | 32,339   | 32,339    | 1,325 | 315,801 | 0,979 | 0,254 | 2,000 | 7,861 | Tidak Terjadi Likuifaksi |
| 3          | 16,8295                 | 16829,5           | 34,826   | 34,826    | 1,403 | 283,308 | 0,977 | 0,254 | 2,000 | 7,873 | Tidak Terjadi Likuifaksi |
| 3,2        | 17,1474                 | 17147,4           | 37,823   | 37,823    | 1,455 | 276,988 | 0,976 | 0,254 | 2,000 | 7,885 | Tidak Terjadi Likuifaksi |

**Lanjutan Tabel 5.49 Rekapitulasi Hasil Analisis Potensi Likuifaksi CPT-01**

| Depth<br>m | qc (kN/m <sup>2</sup> ) |                   | $\sigma$ | $\sigma'$ | IC    | qcIN    | rd    | CSR   | CRR   | FS    | STATUS                   |
|------------|-------------------------|-------------------|----------|-----------|-------|---------|-------|-------|-------|-------|--------------------------|
|            | kg/cm <sup>2</sup>      | kN/m <sup>2</sup> |          |           |       |         |       |       |       |       |                          |
| 3,4        | 20,4791                 | 20479,1           | 40,820   | 38,858    | 1,309 | 326,372 | 0,974 | 0,266 | 2,000 | 7,518 | Tidak Terjadi Likuifaksi |
| 3,6        | 22,9687                 | 22968,7           | 43,817   | 39,893    | 1,438 | 361,269 | 0,972 | 0,278 | 2,000 | 7,202 | Tidak Terjadi Likuifaksi |
| 3,8        | 27,4897                 | 27489,7           | 46,814   | 40,928    | 1,297 | 426,878 | 0,971 | 0,289 | 2,000 | 6,926 | Tidak Terjadi Likuifaksi |
| 4          | 27,7158                 | 27715,8           | 49,810   | 41,962    | 1,420 | 425,049 | 0,969 | 0,299 | 2,000 | 6,685 | Tidak Terjadi Likuifaksi |
| 4,2        | 32,4103                 | 32410,3           | 52,807   | 42,997    | 1,261 | 491,026 | 0,968 | 0,309 | 2,000 | 6,471 | Tidak Terjadi Likuifaksi |
| 4,4        | 40,7778                 | 40777,8           | 55,804   | 44,032    | 1,310 | 610,494 | 0,966 | 0,318 | 2,000 | 6,281 | Tidak Terjadi Likuifaksi |

Berdasarkan pada hasil perhitungan data CPT setelah pemandatan di titik CPT-01 didapatkan grafik seperti pada Gambar 5.24 yang berisikan sumbu x terdiri dari 3 variabel yaitu nilai CSR, CRR, dan FS dan pada sumbu y merupakan kedalaman titik uji pada CPT. Dimana apabila nilai FS lebih dari 1 menunjukkan bahwa aman dari potensi likuifaksi dan pada titik CPT-01 ini semua lapisan tanah di setiap kedalaman aman dari likuifaksi selain karena memiliki nilai *Safety Factor* > 1 dan karena nilai  $(q_{cIN})_{cs} > 211$  sehingga didapatkan nilai  $CRR_{7,5} = 2$ .



**Gambar 5.24 Grafik CSR, CRR, FS vs Kedalaman (CPT-01)**

b. CPT-02

Rekapitulasi hasil potensi likuifaksi pada titik CPT-02 dapat dilihat pada Tabel 5.50 dan Gambar 5.29 berikut ini.

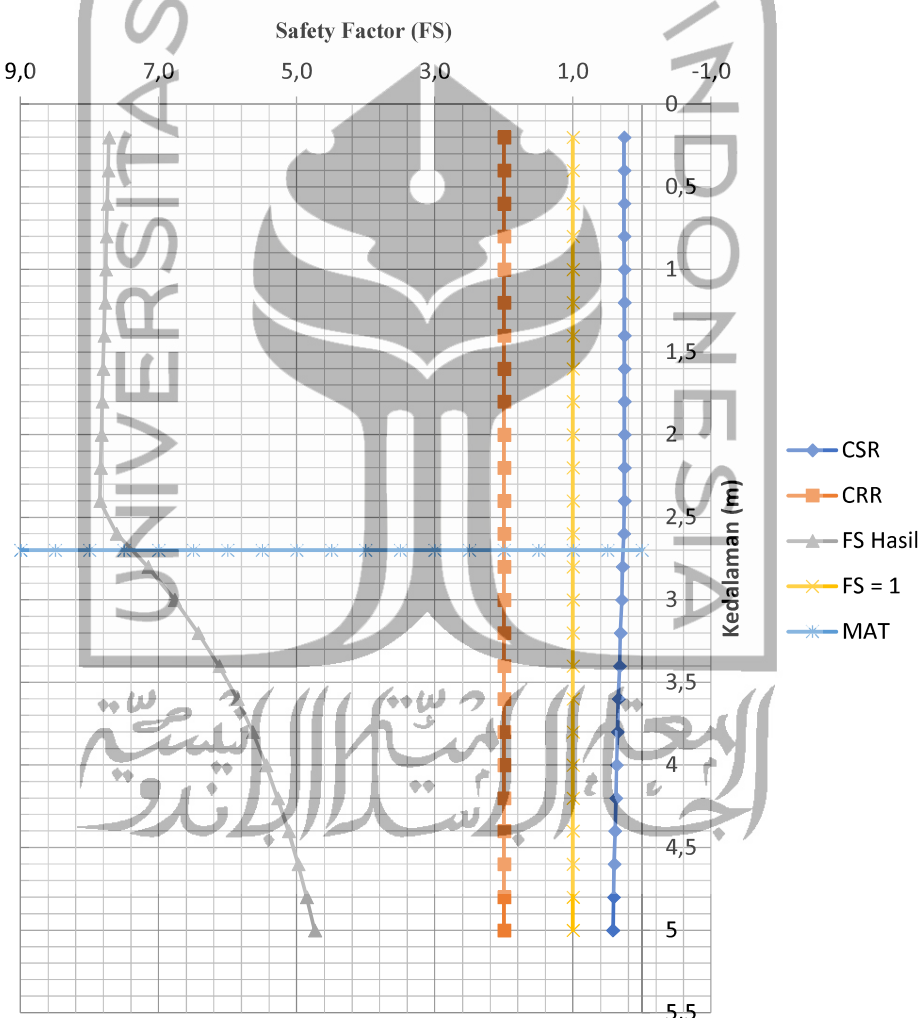
**Tabel 5.50 Rekapitulasi Hasil Analisis Potensi Likuifaksi CPT-02**

| Depth<br>m | qc (kN/m <sup>2</sup> ) |                   | $\sigma$ | $\sigma'$ | IC   | qcIN   | rd   | CSR  | CRR  | FS   | STATUS                   |
|------------|-------------------------|-------------------|----------|-----------|------|--------|------|------|------|------|--------------------------|
|            | kg/cm <sup>2</sup>      | kN/m <sup>2</sup> |          |           |      |        |      |      |      |      |                          |
| 0,2        |                         |                   |          |           |      |        |      |      |      |      |                          |
| 0,4        | 6,1707                  | 6170,7            | 2,30     | 2,30      | 3,38 | 404,32 | 1,00 | 0,26 | 2,00 | 7,72 | Tidak Terjadi Likuifaksi |
| 0,6        | 6,9431                  | 6943,1            | 4,60     | 4,60      | 3,46 | 321,68 | 1,00 | 0,26 | 2,00 | 7,73 | Tidak Terjadi Likuifaksi |
| 0,8        | 6,482                   | 6482              | 6,90     | 6,90      | 3,46 | 245,21 | 0,99 | 0,26 | 2,00 | 7,74 | Tidak Terjadi Likuifaksi |
| 1          | 9,4337                  | 9433,7            | 9,20     | 9,20      | 1,79 | 309,06 | 0,99 | 0,26 | 2,00 | 7,75 | Tidak Terjadi Likuifaksi |
| 1,2        | 11,3325                 | 11332,5           | 11,49    | 11,49     | 1,47 | 332,07 | 0,99 | 0,26 | 2,00 | 7,76 | Tidak Terjadi Likuifaksi |
| 1,4        | 9,7862                  | 9786,2            | 13,79    | 13,79     | 1,55 | 261,78 | 0,99 | 0,26 | 2,00 | 7,78 | Tidak Terjadi Likuifaksi |
| 1,6        | 13,7071                 | 13707,1           | 16,09    | 16,09     | 1,51 | 339,46 | 0,99 | 0,26 | 2,00 | 7,79 | Tidak Terjadi Likuifaksi |
| 1,8        | 18,2261                 | 18226,1           | 18,39    | 18,39     | 1,41 | 422,22 | 0,99 | 0,26 | 2,00 | 7,80 | Tidak Terjadi Likuifaksi |
| 2          | 22,1096                 | 22109,6           | 20,69    | 20,69     | 1,37 | 482,89 | 0,98 | 0,26 | 2,00 | 7,81 | Tidak Terjadi Likuifaksi |
| 2,2        | 21,8484                 | 21848,4           | 22,99    | 22,99     | 1,38 | 452,70 | 0,98 | 0,26 | 2,00 | 7,82 | Tidak Terjadi Likuifaksi |
| 2,4        | 20,6397                 | 20639,7           | 25,29    | 25,29     | 1,38 | 407,75 | 0,98 | 0,26 | 2,00 | 7,84 | Tidak Terjadi Likuifaksi |
| 2,6        | 19,1346                 | 19134,6           | 27,59    | 27,59     | 1,60 | 361,93 | 0,98 | 0,25 | 2,00 | 7,85 | Tidak Terjadi Likuifaksi |
| 2,8        | 17,6451                 | 17645,1           | 29,88    | 28,90     | 1,42 | 326,06 | 0,98 | 0,26 | 2,00 | 7,60 | Tidak Terjadi Likuifaksi |
| 3          | 19,5869                 | 19586,9           | 32,18    | 29,24     | 1,37 | 359,85 | 0,98 | 0,28 | 2,00 | 7,15 | Tidak Terjadi Likuifaksi |
| 3,2        | 23,1468                 | 23146,8           | 34,48    | 29,58     | 1,33 | 422,82 | 0,98 | 0,30 | 2,00 | 6,76 | Tidak Terjadi Likuifaksi |
| 3,4        | 21,4701                 | 21470,1           | 36,78    | 29,91     | 1,29 | 389,98 | 0,97 | 0,31 | 2,00 | 6,42 | Tidak Terjadi Likuifaksi |
| 3,6        | 21,2011                 | 21201,1           | 39,08    | 30,25     | 1,30 | 382,94 | 0,97 | 0,33 | 2,00 | 6,12 | Tidak Terjadi Likuifaksi |

**Lanjutan Tabel 5.50 Rekapitulasi Hasil Analisis Potensi Likuifaksi CPT-02**

| Depth<br>m | qc (kN/m <sup>2</sup> ) |         | $\sigma$<br>kg/cm <sup>2</sup> | $\sigma'$<br>kN/m <sup>2</sup> | IC   | qcIN   | rd   | CSR  | CRR  | FS   | STATUS                   |
|------------|-------------------------|---------|--------------------------------|--------------------------------|------|--------|------|------|------|------|--------------------------|
|            |                         |         |                                |                                |      |        |      |      |      |      |                          |
| 3,8        | 21,283                  | 21283   | 41,38                          | 30,59                          | 1,34 | 382,30 | 0,97 | 0,34 | 2,00 | 5,86 | Tidak Terjadi Likuifaksi |
| 4          | 25,7085                 | 25708,5 | 44,05                          | 31,30                          | 1,33 | 456,54 | 0,97 | 0,35 | 2,00 | 5,64 | Tidak Terjadi Likuifaksi |
| 4,2        | 32,9023                 | 32902,3 | 46,72                          | 32,00                          | 1,29 | 577,80 | 0,97 | 0,37 | 2,00 | 5,44 | Tidak Terjadi Likuifaksi |
| 4,4        | 30,2465                 | 30246,5 | 49,39                          | 32,71                          | 1,23 | 525,38 | 0,97 | 0,38 | 2,00 | 5,27 | Tidak Terjadi Likuifaksi |
| 4,6        | 30,8982                 | 30898,2 | 52,06                          | 33,42                          | 1,23 | 530,99 | 0,96 | 0,39 | 2,00 | 5,12 | Tidak Terjadi Likuifaksi |
| 4,8        | 39,4401                 | 39440,1 | 54,73                          | 34,13                          | 0,94 | 670,72 | 0,96 | 0,40 | 2,00 | 4,98 | Tidak Terjadi Likuifaksi |
| 5          | 35,8913                 | 35891,3 | 57,40                          | 34,83                          | 1,11 | 604,14 | 0,96 | 0,41 | 2,00 | 4,85 | Tidak Terjadi Likuifaksi |
| 5,2        | 38,7197                 | 38719,7 | 60,07                          | 35,54                          | 1,10 | 645,23 | 0,96 | 0,42 | 2,00 | 4,74 | Tidak Terjadi Likuifaksi |

Berdasarkan pada hasil perhitungan data CPT setelah pemedatan di titik CPT-02 didapatkan grafik seperti pada Gambar 5.25 yang berisikan sumbu x terdiri dari 3 variabel yaitu nilai CSR, CRR, dan FS dan pada sumbu y merupakan kedalaman titik uji pada CPT. Dimana apabila nilai FS lebih dari 1 menunjukkan bahwa aman dari potensi likuifaksi dan pada titik CPT-01 ini semua lapisan tanah di setiap kedalaman aman dari likuifaksi selain karena memiliki nilai *Safety Factor* > 1 dan karena nilai  $(q_{cIN})_{cs} > 211$  sehingga didapatkan nilai  $CRR_{7,5} = 2$ .



**Gambar 5.25 Grafik CSR, CRR, FS vs Kedalaman (CPT-02)**

c. CPT-03

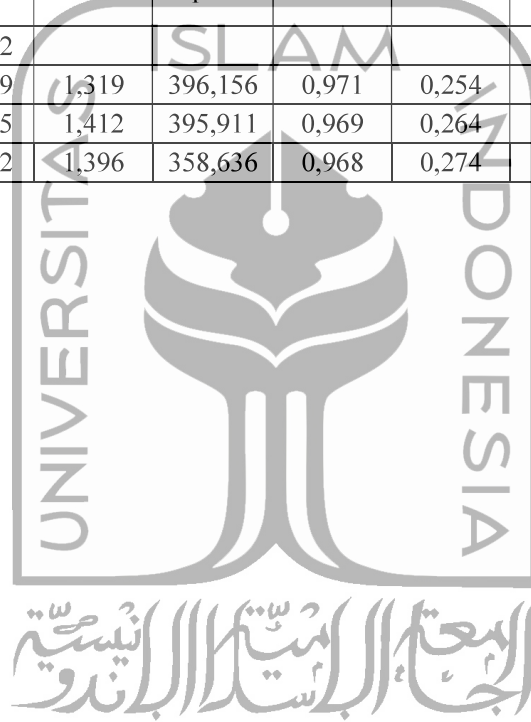
Rekapitulasi hasil potensi likuifaksi pada titik CPT-03 dapat dilihat pada Tabel 5.51 dan Gambar 5.30 berikut ini.

**Tabel 5.51 Rekapitulasi Hasil Analisis Potensi Likuifaksi CPT-03**

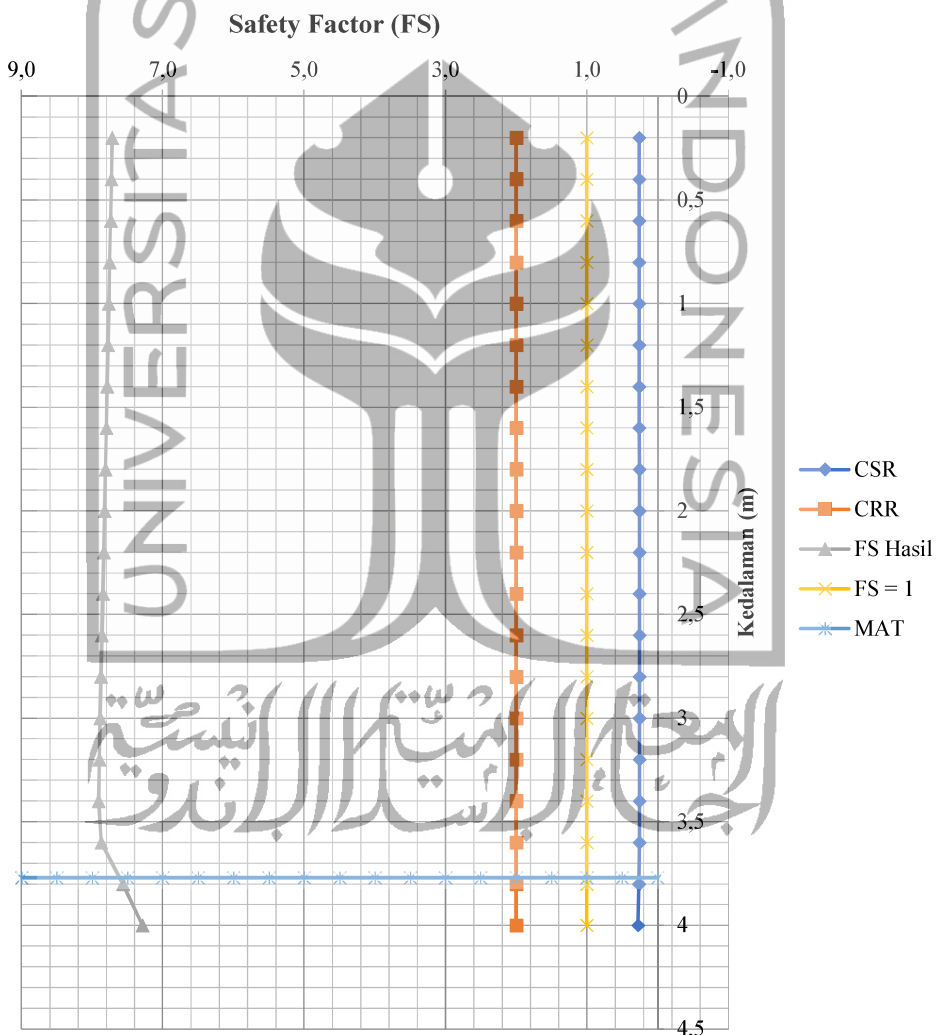
| Depth<br>m | qc (kN/m <sup>2</sup> ) |                   | $\sigma$ | $\sigma'$ | IC    | qcIN    | rd    | CSR   | CRR   | FS    | STATUS                   |
|------------|-------------------------|-------------------|----------|-----------|-------|---------|-------|-------|-------|-------|--------------------------|
|            | kg/cm <sup>2</sup>      | kN/m <sup>2</sup> |          |           |       |         |       |       |       |       |                          |
| 0,2        |                         |                   | 0        |           |       |         |       |       |       |       |                          |
| 0,4        | 5,9688                  | 5968,8            | 2,530    | 2,530     | 3,087 | 372,823 | 0,997 | 0,259 | 2,000 | 7,716 | Tidak Terjadi Likuifaksi |
| 0,6        | 14,9913                 | 14991,3           | 5,059    | 5,059     | 1,098 | 662,125 | 0,995 | 0,259 | 2,000 | 7,728 | Tidak Terjadi Likuifaksi |
| 0,8        | 21,4209                 | 21420,9           | 7,589    | 7,589     | 1,305 | 772,490 | 0,994 | 0,258 | 2,000 | 7,740 | Tidak Terjadi Likuifaksi |
| 1          | 23,3198                 | 23319,8           | 10,118   | 10,118    | 1,236 | 728,300 | 0,992 | 0,258 | 2,000 | 7,752 | Tidak Terjadi Likuifaksi |
| 1,2        | 14,9621                 | 14962,1           | 12,648   | 12,648    | 1,294 | 417,949 | 0,991 | 0,258 | 2,000 | 7,764 | Tidak Terjadi Likuifaksi |
| 1,4        | 17,3932                 | 17393,2           | 15,178   | 15,178    | 1,426 | 443,527 | 0,989 | 0,257 | 2,000 | 7,776 | Tidak Terjadi Likuifaksi |
| 1,6        | 21,7874                 | 21787,4           | 17,707   | 17,707    | 1,344 | 514,366 | 0,988 | 0,257 | 2,000 | 7,788 | Tidak Terjadi Likuifaksi |
| 1,8        | 24,3375                 | 24337,5           | 20,237   | 20,237    | 1,338 | 537,461 | 0,986 | 0,256 | 2,000 | 7,800 | Tidak Terjadi Likuifaksi |
| 2          | 25,6553                 | 25655,3           | 22,766   | 22,766    | 1,357 | 534,160 | 0,985 | 0,256 | 2,000 | 7,812 | Tidak Terjadi Likuifaksi |
| 2,2        | 25,3473                 | 25347,3           | 25,296   | 25,296    | 1,341 | 500,665 | 0,983 | 0,256 | 2,000 | 7,824 | Tidak Terjadi Likuifaksi |
| 2,4        | 25,2069                 | 25206,9           | 27,826   | 27,826    | 1,377 | 474,721 | 0,982 | 0,255 | 2,000 | 7,836 | Tidak Terjadi Likuifaksi |
| 2,6        | 23,893                  | 23893             | 30,355   | 30,355    | 1,405 | 430,820 | 0,980 | 0,255 | 2,000 | 7,848 | Tidak Terjadi Likuifaksi |
| 2,8        | 24,9184                 | 24918,4           | 32,885   | 32,885    | 1,356 | 431,682 | 0,979 | 0,254 | 2,000 | 7,861 | Tidak Terjadi Likuifaksi |
| 3          | 22,2397                 | 22239,7           | 35,414   | 35,414    | 1,394 | 371,262 | 0,977 | 0,254 | 2,000 | 7,873 | Tidak Terjadi Likuifaksi |
| 3,2        | 17,1046                 | 17104,6           | 37,944   | 37,944    | 1,470 | 275,856 | 0,976 | 0,254 | 2,000 | 7,885 | Tidak Terjadi Likuifaksi |
| 3,4        | 18,1827                 | 18182,7           | 40,474   | 40,474    | 1,442 | 283,932 | 0,974 | 0,253 | 2,000 | 7,898 | Tidak Terjadi Likuifaksi |
| 3,6        | 23,1053                 | 23105,3           | 43,003   | 43,003    | 1,397 | 350,028 | 0,972 | 0,253 | 2,000 | 7,910 | Tidak Terjadi Likuifaksi |

**Lanjutan Tabel 5.51 Rekapitulasi Hasil Analisis Potensi Likuifaksi CPT-03**

| Depth | qc (kN/m <sup>2</sup> ) |                    | $\sigma$          | $\sigma'$         | IC    | qcIN    | rd    | CSR   | CRR   | FS    | STATUS                   |
|-------|-------------------------|--------------------|-------------------|-------------------|-------|---------|-------|-------|-------|-------|--------------------------|
|       | m                       | kg/cm <sup>2</sup> | kN/m <sup>2</sup> | kN/m <sup>2</sup> |       |         |       |       |       |       |                          |
| 3,8   | 26,8212                 | 26821,2            | 45,533            | 45,239            | 1,319 | 396,156 | 0,971 | 0,254 | 2,000 | 7,871 | Tidak Terjadi Likuifaksi |
| 4     | 27,0044                 | 27004,4            | 48,172            | 45,915            | 1,412 | 395,911 | 0,969 | 0,264 | 2,000 | 7,563 | Tidak Terjadi Likuifaksi |
| 4,2   | 24,6416                 | 24641,6            | 50,810            | 46,592            | 1,396 | 358,636 | 0,968 | 0,274 | 2,000 | 7,288 | Tidak Terjadi Likuifaksi |



Berdasarkan pada hasil perhitungan data CPT setelah pemandatan di titik CPT-03 didapatkan grafik seperti pada Gambar 5.26 yang berisikan sumbu x terdiri dari 3 variabel yaitu nilai CSR, CRR, dan FS dan pada sumbu y merupakan kedalaman titik uji pada CPT. Dimana apabila nilai FS lebih dari 1 menunjukkan bahwa aman dari potensi likuifaksi dan pada titik CPT-01 ini semua lapisan tanah di setiap kedalaman aman dari likuifaksi selain karena memiliki nilai *Safety Factor* > 1 dan karena nilai  $(q_{cIN})_{cs} > 211$  sehingga didapatkan nilai  $CRR_{7,5} = 2$ .



**Gambar 5.26 Grafik CSR, CRR, FS vs Kedalaman (CPT-03)**

d. CPT-07

Rekapitulasi hasil potensi likuifaksi pada titik CPT-07 dapat dilihat pada Tabel 5.52 dan Gambar 5.31 berikut ini.

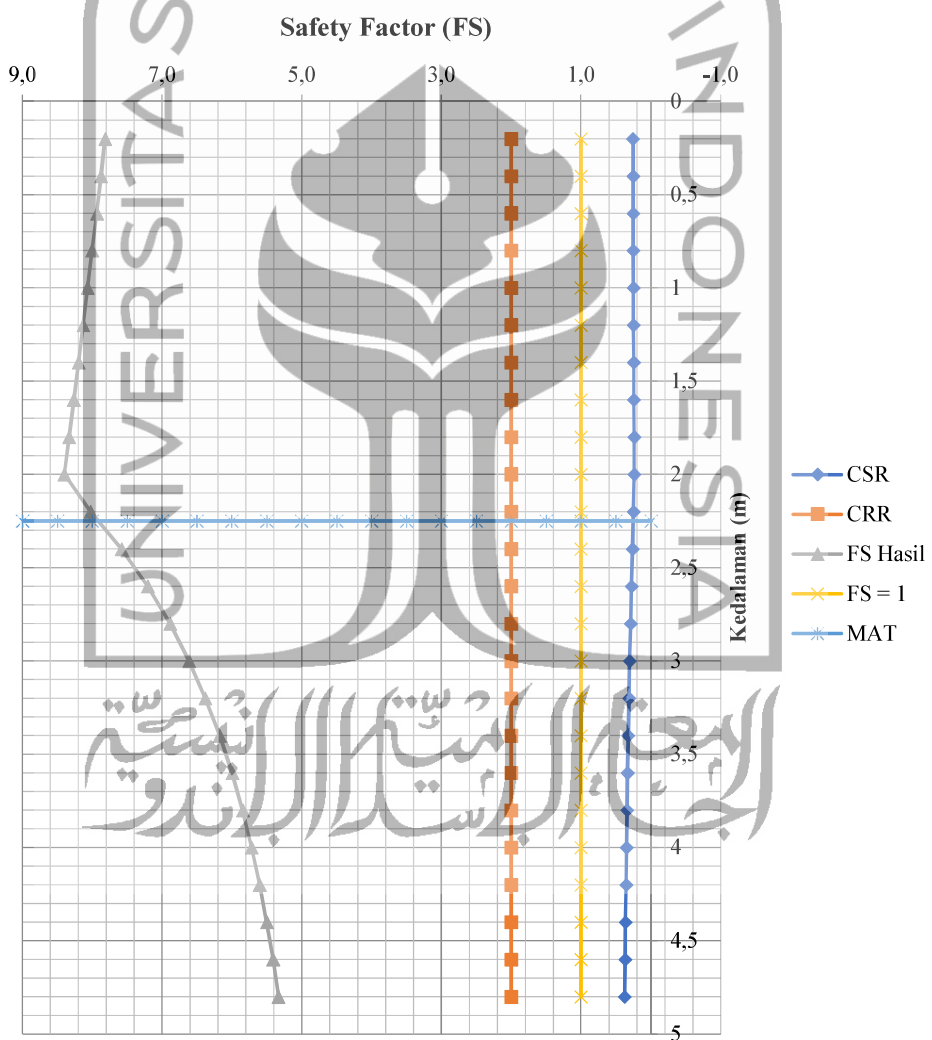
**Tabel 5.52 Rekapitulasi Hasil Analisis Potensi Likuifaksi CPT-07**

| Depth<br>m | qc (kN/m <sup>2</sup> ) |                   | $\sigma$ | $\sigma'$ | IC    | qcIN    | rd    | CSR   | CRR   | FS    | STATUS                   |
|------------|-------------------------|-------------------|----------|-----------|-------|---------|-------|-------|-------|-------|--------------------------|
|            | kg/cm <sup>2</sup>      | kN/m <sup>2</sup> |          |           |       |         |       |       |       |       |                          |
| 0,2        | 0                       | 0                 | 0        | 0         | 0     | 0       | 0     | 0     | 0     | 0     |                          |
| 0,4        | 2,6517                  | 2651,7            | 2,530    | 2,530     | 3,439 | 165,630 | 0,985 | 0,256 | 2,000 | 7,812 | Tidak Terjadi Likuifaksi |
| 0,6        | 11,2882                 | 11288,2           | 5,059    | 5,059     | 1,709 | 498,569 | 0,977 | 0,254 | 2,000 | 7,873 | Tidak Terjadi Likuifaksi |
| 0,8        | 16,3531                 | 16353,1           | 7,589    | 7,589     | 1,366 | 589,733 | 0,969 | 0,252 | 2,000 | 7,935 | Tidak Terjadi Likuifaksi |
| 1          | 20,954                  | 20954             | 10,118   | 10,118    | 1,300 | 654,414 | 0,962 | 0,250 | 2,000 | 7,998 | Tidak Terjadi Likuifaksi |
| 1,2        | 22,1393                 | 22139,3           | 12,648   | 12,648    | 1,293 | 618,436 | 0,954 | 0,248 | 2,000 | 8,062 | Tidak Terjadi Likuifaksi |
| 1,4        | 20,685                  | 20685             | 15,178   | 15,178    | 1,311 | 527,467 | 0,946 | 0,246 | 2,000 | 8,128 | Tidak Terjadi Likuifaksi |
| 1,6        | 20,0738                 | 20073,8           | 17,707   | 17,707    | 1,356 | 473,911 | 0,939 | 0,244 | 2,000 | 8,194 | Tidak Terjadi Likuifaksi |
| 1,8        | 20,1742                 | 20174,2           | 20,237   | 20,237    | 1,314 | 445,520 | 0,931 | 0,242 | 2,000 | 8,261 | Tidak Terjadi Likuifaksi |
| 2          | 21,7104                 | 21710,4           | 22,766   | 22,766    | 1,339 | 452,025 | 0,924 | 0,240 | 2,000 | 8,330 | Tidak Terjadi Likuifaksi |
| 2,2        | 23,4767                 | 23476,7           | 25,296   | 25,296    | 1,343 | 463,717 | 0,916 | 0,238 | 2,000 | 8,399 | Tidak Terjadi Likuifaksi |
| 2,4        | 23,5196                 | 23519,6           | 27,826   | 26,354    | 1,356 | 455,143 | 0,908 | 0,249 | 2,000 | 8,022 | Tidak Terjadi Likuifaksi |
| 2,6        | 21,8976                 | 21897,6           | 30,355   | 26,922    | 1,500 | 419,263 | 0,901 | 0,264 | 2,000 | 7,576 | Tidak Terjadi Likuifaksi |
| 2,8        | 21,223                  | 21223             | 32,885   | 27,489    | 1,356 | 402,130 | 0,893 | 0,278 | 2,000 | 7,201 | Tidak Terjadi Likuifaksi |
| 3          | 17,9673                 | 17967,3           | 35,414   | 28,057    | 1,359 | 336,980 | 0,885 | 0,291 | 2,000 | 6,884 | Tidak Terjadi Likuifaksi |
| 3,2        | 18,4469                 | 18446,9           | 37,944   | 28,625    | 1,438 | 342,528 | 0,878 | 0,302 | 2,000 | 6,612 | Tidak Terjadi Likuifaksi |
| 3,4        | 16,8405                 | 16840,5           | 40,474   | 29,192    | 1,453 | 309,645 | 0,870 | 0,314 | 2,000 | 6,378 | Tidak Terjadi Likuifaksi |
| 3,6        | 16,0918                 | 16091,8           | 43,003   | 29,760    | 1,545 | 293,043 | 0,862 | 0,324 | 2,000 | 6,173 | Tidak Terjadi Likuifaksi |

**Lanjutan Tabel 5.52 Rekapitulasi Hasil Analisis Potensi Likuifaksi CPT-07**

| Depth<br>m | qc (kN/m <sup>2</sup> ) |                   | $\sigma$ | $\sigma'$ | IC    | qcIN    | rd    | CSR   | CRR   | FS    | STATUS                   |
|------------|-------------------------|-------------------|----------|-----------|-------|---------|-------|-------|-------|-------|--------------------------|
|            | kg/cm <sup>2</sup>      | kN/m <sup>2</sup> |          |           |       |         |       |       |       |       |                          |
| 3,8        | 18,9788                 | 18978,8           | 45,533   | 30,327    | 1,511 | 342,368 | 0,855 | 0,334 | 2,000 | 5,995 | Tidak Terjadi Likuifaksi |
| 4          | 15,9749                 | 15974,9           | 48,172   | 31,004    | 1,411 | 285,017 | 0,847 | 0,342 | 2,000 | 5,845 | Tidak Terjadi Likuifaksi |
| 4,2        | 14,384                  | 14384             | 50,810   | 31,681    | 1,468 | 253,877 | 0,839 | 0,350 | 2,000 | 5,714 | Tidak Terjadi Likuifaksi |
| 4,4        | 15,3198                 | 15319,8           | 53,449   | 32,358    | 0,000 | 267,551 | 0,832 | 0,357 | 2,000 | 5,599 | Tidak Terjadi Likuifaksi |
| 4,6        | 14,5439                 | 14543,9           | 56,088   | 33,035    | 1,000 | 251,385 | 0,824 | 0,364 | 2,000 | 5,498 | Tidak Terjadi Likuifaksi |
| 4,8        | 20,8253                 | 20825,3           | 58,727   | 33,711    | 2,000 | 356,324 | 0,816 | 0,370 | 2,000 | 5,409 | Tidak Terjadi Likuifaksi |
| 5          | 20,2366                 | 20236,6           | 61,366   | 34,388    | 3,000 | 342,827 | 0,809 | 0,375 | 2,000 | 5,330 | Tidak Terjadi Likuifaksi |

Berdasarkan pada hasil perhitungan data CPT setelah pemandatan di titik CPT-07 didapatkan grafik seperti pada Gambar 5.27 yang berisikan sumbu x terdiri dari 3 variabel yaitu nilai CSR, CRR, dan FS dan pada sumbu y merupakan kedalaman titik uji pada CPT. Dimana apabila nilai FS lebih dari 1 menunjukkan bahwa aman dari potensi likuifaksi dan pada titik CPT-01 ini semua lapisan tanah di setiap kedalaman aman dari likuifaksi selain karena memiliki nilai *Safety Factor* > 1 dan karena nilai  $(q_{cIN})_{cs} > 211$  sehingga didapatkan nilai  $CRR_{7,5} = 2$ .



**Gambar 5.27 Grafik CSR, CRR, FS vs Kedalaman (CPT-07)**

e. CPT-09

Rekapitulasi hasil potensi likuifaksi pada titik CPT-09 dapat dilihat pada Tabel 5.53 dan Gambar 5.32 berikut ini.

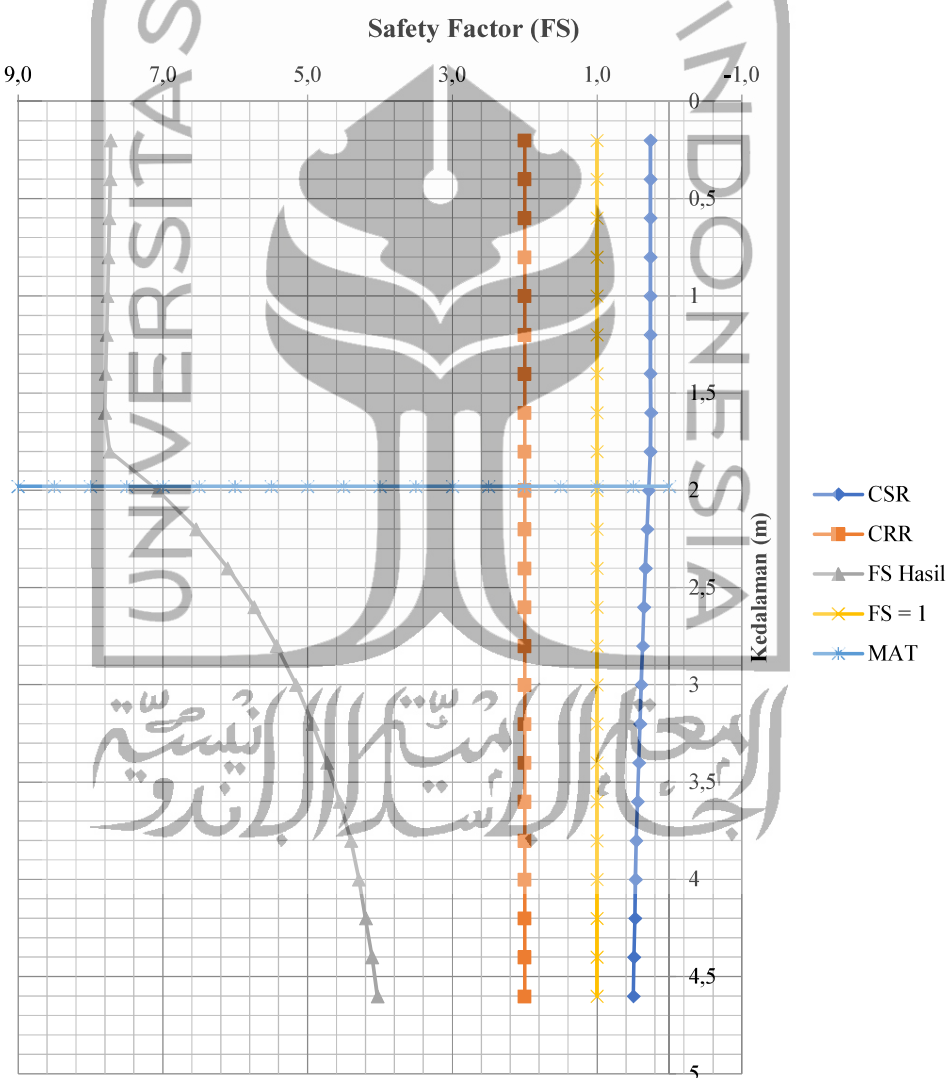
**Tabel 5.53 Rekapitulasi Hasil Analisis Potensi Likuifaksi CPT-09**

| Depth<br>m | qc (kN/m <sup>2</sup> ) |                   | $\sigma$ | $\sigma'$ | IC    | qcIN    | rd    | CSR   | CRR   | FS    | STATUS                   |
|------------|-------------------------|-------------------|----------|-----------|-------|---------|-------|-------|-------|-------|--------------------------|
|            | kg/cm <sup>2</sup>      | kN/m <sup>2</sup> |          |           |       |         |       |       |       |       |                          |
| 0,2        | 0                       | 0                 | 0        | 0         | 0     | 0       | 0     | 0     | 0     | 0     |                          |
| 0,4        | 7,3448                  | 7344,8            | 2,214    | 2,214     | 3,728 | 490,380 | 0,997 | 0,259 | 2,000 | 7,716 | Tidak Terjadi Likuifaksi |
| 0,6        | 13,2402                 | 13240,2           | 4,428    | 4,428     | 3,960 | 625,075 | 0,995 | 0,259 | 2,000 | 7,728 | Tidak Terjadi Likuifaksi |
| 0,8        | 20,6485                 | 20648,5           | 6,642    | 6,642     | 1,671 | 795,941 | 0,994 | 0,258 | 2,000 | 7,740 | Tidak Terjadi Likuifaksi |
| 1          | 28,0178                 | 28017,8           | 8,856    | 8,856     | 1,398 | 935,313 | 0,992 | 0,258 | 2,000 | 7,752 | Tidak Terjadi Likuifaksi |
| 1,2        | 27,0352                 | 27035,2           | 11,070   | 11,070    | 1,096 | 807,230 | 0,991 | 0,258 | 2,000 | 7,764 | Tidak Terjadi Likuifaksi |
| 1,4        | 19,5022                 | 19502,2           | 13,284   | 13,284    | 1,290 | 531,570 | 0,989 | 0,257 | 2,000 | 7,776 | Tidak Terjadi Likuifaksi |
| 1,6        | 24,4345                 | 24434,5           | 15,498   | 15,498    | 1,396 | 616,605 | 0,988 | 0,257 | 2,000 | 7,788 | Tidak Terjadi Likuifaksi |
| 1,8        | 27,2029                 | 27202,9           | 17,712   | 17,712    | 1,274 | 642,130 | 0,986 | 0,256 | 2,000 | 7,800 | Tidak Terjadi Likuifaksi |
| 2          | 22,5669                 | 22566,9           | 19,926   | 19,730    | 1,330 | 504,722 | 0,985 | 0,259 | 2,000 | 7,735 | Tidak Terjadi Likuifaksi |
| 2,2        | 19,5178                 | 19517,8           | 22,380   | 20,222    | 1,411 | 431,184 | 0,983 | 0,283 | 2,000 | 7,069 | Tidak Terjadi Likuifaksi |
| 2,4        | 19,6269                 | 19626,9           | 24,834   | 20,714    | 1,384 | 428,414 | 0,982 | 0,306 | 2,000 | 6,536 | Tidak Terjadi Likuifaksi |
| 2,6        | 21,8845                 | 21884,5           | 27,288   | 21,206    | 1,398 | 472,118 | 0,980 | 0,328 | 2,000 | 6,099 | Tidak Terjadi Likuifaksi |
| 2,8        | 18,7029                 | 18702,9           | 29,742   | 21,698    | 1,432 | 398,880 | 0,979 | 0,349 | 2,000 | 5,735 | Tidak Terjadi Likuifaksi |
| 3          | 18,5001                 | 18500,1           | 32,196   | 22,190    | 1,443 | 390,157 | 0,977 | 0,369 | 2,000 | 5,426 | Tidak Terjadi Likuifaksi |
| 3,2        | 17,9854                 | 17985,4           | 34,650   | 22,682    | 1,464 | 375,166 | 0,976 | 0,387 | 2,000 | 5,162 | Tidak Terjadi Likuifaksi |
| 3,4        | 17,8568                 | 17856,8           | 37,104   | 23,174    | 1,428 | 368,508 | 0,974 | 0,405 | 2,000 | 4,933 | Tidak Terjadi Likuifaksi |
| 3,6        | 14,0435                 | 14043,5           | 39,558   | 23,666    | 1,499 | 286,785 | 0,972 | 0,423 | 2,000 | 4,732 | Tidak Terjadi Likuifaksi |

**Lanjutan Tabel 5.53 Rekapitulasi Hasil Analisis Potensi Likuifaksi CPT-09**

| Depth<br>m | qc (kN/m <sup>2</sup> ) |                   | $\sigma$ | $\sigma'$ | IC    | qcIN    | rd    | CSR   | CRR   | FS    | STATUS                   |
|------------|-------------------------|-------------------|----------|-----------|-------|---------|-------|-------|-------|-------|--------------------------|
|            | kg/cm <sup>2</sup>      | kN/m <sup>2</sup> |          |           |       |         |       |       |       |       |                          |
| 3,8        | 14,523                  | 14523             | 42,012   | 24,158    | 1,530 | 293,541 | 0,971 | 0,439 | 2,000 | 4,556 | Tidak Terjadi Likuifaksi |
| 4          | 13,7159                 | 13715,9           | 44,466   | 24,650    | 1,525 | 274,448 | 0,969 | 0,455 | 2,000 | 4,399 | Tidak Terjadi Likuifaksi |
| 4,2        | 15,7357                 | 15735,7           | 47,322   | 25,544    | 1,608 | 309,304 | 0,968 | 0,466 | 2,000 | 4,290 | Tidak Terjadi Likuifaksi |
| 4,4        | 20,4886                 | 20488,6           | 50,178   | 26,438    | 1,356 | 395,860 | 0,966 | 0,477 | 2,000 | 4,194 | Tidak Terjadi Likuifaksi |
| 4,6        | 17,0341                 | 17034,1           | 53,034   | 27,332    | 1,461 | 323,688 | 0,965 | 0,487 | 2,000 | 4,109 | Tidak Terjadi Likuifaksi |
| 4,8        | 14,1487                 | 14148,7           | 55,890   | 28,226    | 1,521 | 264,567 | 0,963 | 0,496 | 2,000 | 4,033 | Tidak Terjadi Likuifaksi |

Berdasarkan pada hasil perhitungan data CPT setelah pemandatan di titik CPT-09 didapatkan grafik seperti pada Gambar 5.28 yang berisikan sumbu x terdiri dari 3 variabel yaitu nilai CSR, CRR, dan FS dan pada sumbu y merupakan kedalaman titik uji pada CPT. Dimana apabila nilai FS lebih dari 1 menunjukkan bahwa aman dari potensi likuifaksi dan pada titik CPT-01 ini semua lapisan tanah di setiap kedalaman aman dari likuifaksi selain karena memiliki nilai *Safety Factor* > 1 dan karena nilai  $(q_{cIN})_{cs} > 211$  sehingga didapatkan nilai  $CRR_{7,5} = 2$ .



Gambar 5.28 Grafik CSR, CRR, FS vs Kedalaman (CPT-09)

f. CPT-11

Rekapitulasi hasil potensi likuifaksi pada titik CPT-11 dapat dilihat pada Tabel 5.54 dan Gambar 5.33 berikut ini.

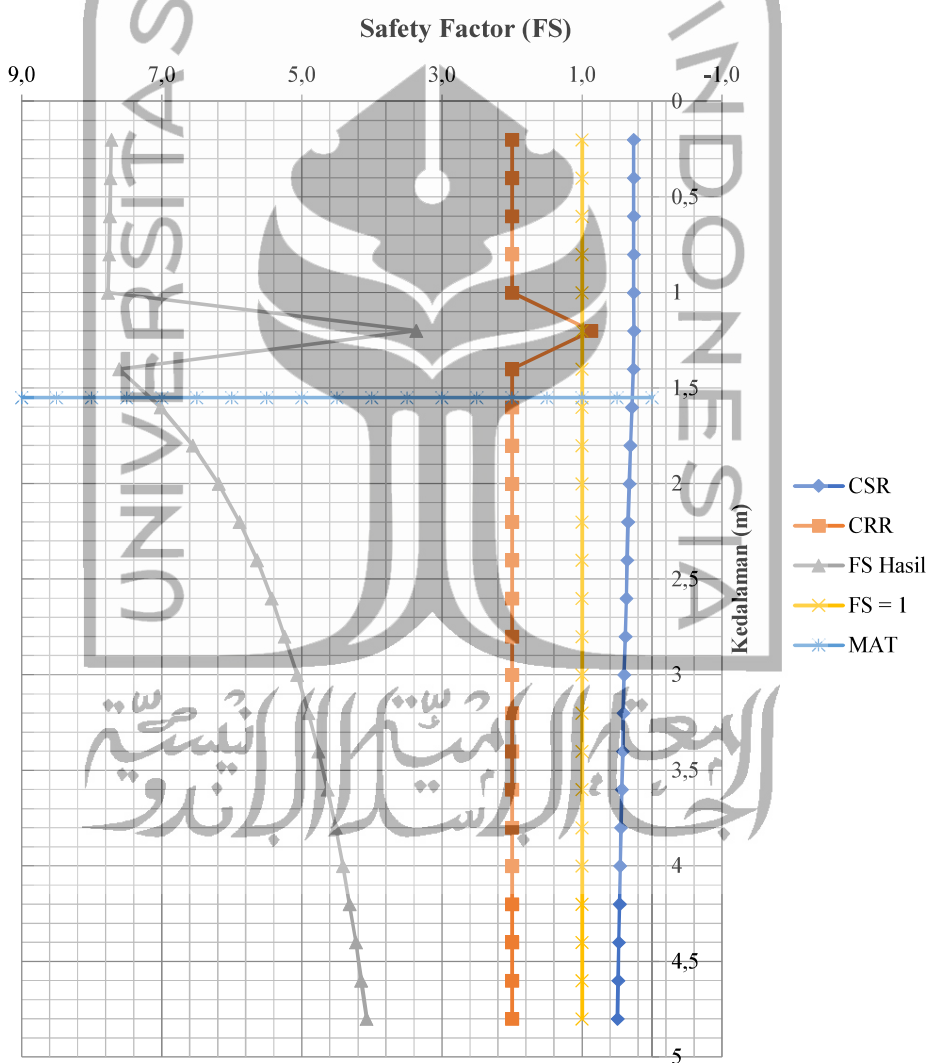
**Tabel 5.54 Rekapitulasi Hasil Analisis Potensi Likuifaksi CPT-11**

| Depth<br>m | qc (kN/m <sup>2</sup> ) |                   | $\sigma$ | $\sigma'$ | IC    | qcIN    | rd    | CSR   | CRR   | FS    | STATUS                   |
|------------|-------------------------|-------------------|----------|-----------|-------|---------|-------|-------|-------|-------|--------------------------|
|            | kg/cm <sup>2</sup>      | kN/m <sup>2</sup> |          |           |       |         |       |       |       |       |                          |
| 0,2        |                         |                   |          |           |       |         |       |       |       |       |                          |
| 0,4        | 9,2047                  | 9204,7            | 3,044    | 3,044     | 3,524 | 524,118 | 0,997 | 0,259 | 2,000 | 7,716 | Tidak Terjadi Likuifaksi |
| 0,6        | 17,5137                 | 17513,7           | 6,088    | 6,088     | 2,450 | 705,151 | 0,995 | 0,259 | 2,000 | 7,728 | Tidak Terjadi Likuifaksi |
| 0,8        | 21,054                  | 21054             | 9,132    | 9,132     | 1,742 | 692,139 | 0,994 | 0,258 | 2,000 | 7,740 | Tidak Terjadi Likuifaksi |
| 1          | 22,6137                 | 22613,7           | 12,176   | 12,176    | 1,534 | 643,815 | 0,992 | 0,258 | 2,000 | 7,752 | Tidak Terjadi Likuifaksi |
| 1,2        | 19,6269                 | 19626,9           | 15,220   | 15,220    | 1,391 | 499,788 | 0,991 | 0,258 | 2,000 | 7,764 | Tidak Terjadi Likuifaksi |
| 1,4        | 8,3313                  | 8331,3            | 18,264   | 18,264    | 1,567 | 193,667 | 0,989 | 0,257 | 0,866 | 3,366 | Tidak Terjadi Likuifaksi |
| 1,6        | 5,6643                  | 5664,3            | 21,308   | 20,818    | 3,238 | 123,331 | 0,988 | 0,263 | 2,000 | 7,608 | Tidak Terjadi Likuifaksi |
| 1,8        | 9,0253                  | 9025,3            | 24,352   | 21,900    | 3,633 | 191,596 | 0,986 | 0,285 | 2,000 | 7,014 | Tidak Terjadi Likuifaksi |
| 2          | 13,0609                 | 13060,9           | 27,396   | 22,982    | 2,721 | 270,661 | 0,985 | 0,305 | 2,000 | 6,553 | Tidak Terjadi Likuifaksi |
| 2,2        | 14,6595                 | 14659,5           | 30,440   | 24,064    | 2,021 | 296,880 | 0,983 | 0,323 | 2,000 | 6,185 | Tidak Terjadi Likuifaksi |
| 2,4        | 17,0653                 | 17065,3           | 33,484   | 25,146    | 1,746 | 338,085 | 0,982 | 0,340 | 2,000 | 5,885 | Tidak Terjadi Likuifaksi |
| 2,6        | 13,7744                 | 13774,4           | 36,528   | 26,228    | 1,761 | 267,200 | 0,980 | 0,355 | 2,000 | 5,635 | Tidak Terjadi Likuifaksi |
| 2,8        | 14,7882                 | 14788,2           | 39,572   | 27,310    | 1,768 | 281,125 | 0,979 | 0,369 | 2,000 | 5,425 | Tidak Terjadi Likuifaksi |
| 3          | 12,4994                 | 12499,4           | 42,616   | 28,392    | 1,676 | 233,043 | 0,977 | 0,381 | 2,000 | 5,245 | Tidak Terjadi Likuifaksi |
| 3,2        | 11,2907                 | 11290,7           | 45,255   | 29,068    | 1,837 | 208,043 | 0,976 | 0,395 | 2,000 | 5,065 | Tidak Terjadi Likuifaksi |
| 3,4        | 10,8969                 | 10896,9           | 47,894   | 29,745    | 1,842 | 198,489 | 0,974 | 0,408 | 2,000 | 4,905 | Tidak Terjadi Likuifaksi |

**Lanjutan Tabel 5.54 Rekapitulasi Hasil Analisis Potensi Likuifaksi CPT-11**

| Depth<br>m | qc (kN/m <sup>2</sup> ) |                   | $\sigma$ | $\sigma'$ | IC    | qcIN    | rd    | CSR   | CRR   | FS    | STATUS                   |
|------------|-------------------------|-------------------|----------|-----------|-------|---------|-------|-------|-------|-------|--------------------------|
|            | kg/cm <sup>2</sup>      | kN/m <sup>2</sup> |          |           |       |         |       |       |       |       |                          |
| 3,6        | 8,9186                  | 8918,6            | 50,532   | 30,422    | 2,652 | 160,637 | 0,972 | 0,420 | 2,000 | 4,762 | Tidak Terjadi Likuifaksi |
| 3,8        | 9,3139                  | 9313,9            | 53,171   | 31,099    | 2,100 | 165,921 | 0,971 | 0,432 | 2,000 | 4,634 | Tidak Terjadi Likuifaksi |
| 4          | 9,0585                  | 9058,5            | 55,810   | 31,776    | 2,098 | 159,644 | 0,969 | 0,443 | 2,000 | 4,518 | Tidak Terjadi Likuifaksi |
| 4,2        | 9,9611                  | 9961,1            | 58,449   | 32,452    | 2,051 | 173,711 | 0,968 | 0,453 | 2,000 | 4,413 | Tidak Terjadi Likuifaksi |
| 4,4        | 12,7919                 | 12791,9           | 61,088   | 33,129    | 0,000 | 220,786 | 0,966 | 0,463 | 2,000 | 4,317 | Tidak Terjadi Likuifaksi |
| 4,6        | 17,3421                 | 17342,1           | 63,726   | 33,806    | 1,000 | 296,311 | 0,965 | 0,473 | 2,000 | 4,229 | Tidak Terjadi Likuifaksi |
| 4,8        | 16,0359                 | 16035,9           | 66,365   | 34,483    | 2,000 | 271,290 | 0,963 | 0,482 | 2,000 | 4,149 | Tidak Terjadi Likuifaksi |
| 5          | 17,8217                 | 17821,7           | 69,004   | 35,160    | 3,000 | 298,586 | 0,962 | 0,491 | 2,000 | 4,075 | Tidak Terjadi Likuifaksi |

Berdasarkan pada hasil perhitungan data CPT setelah pemandatan di titik CPT-11 didapatkan grafik seperti pada Gambar 5.29 yang berisikan sumbu x terdiri dari 3 variabel yaitu nilai CSR, CRR, dan FS dan pada sumbu y merupakan kedalaman titik uji pada CPT. Dimana apabila nilai FS lebih dari 1 menunjukkan bahwa aman dari potensi likuifaksi dan pada titik CPT-01 ini semua lapisan tanah di setiap kedalaman aman dari likuifaksi selain karena memiliki nilai *Safety Factor* > 1 dan karena nilai  $(q_{cIN})_{cs} > 211$  sehingga didapatkan nilai  $CRR_{7,5} = 2$ .

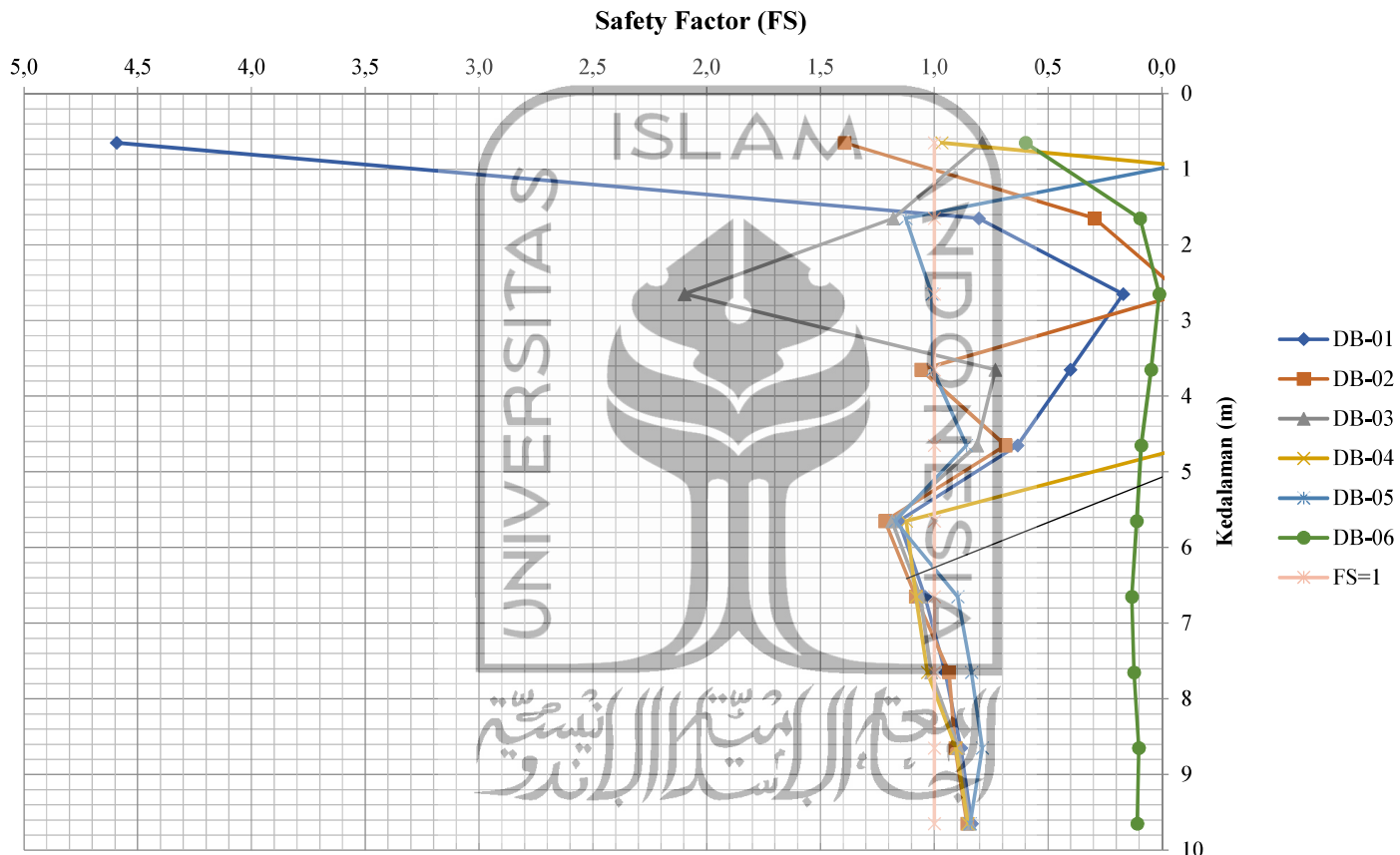


**Gambar 5.29 Grafik CSR, CRR, FS vs Kedalaman (CPT-11)**

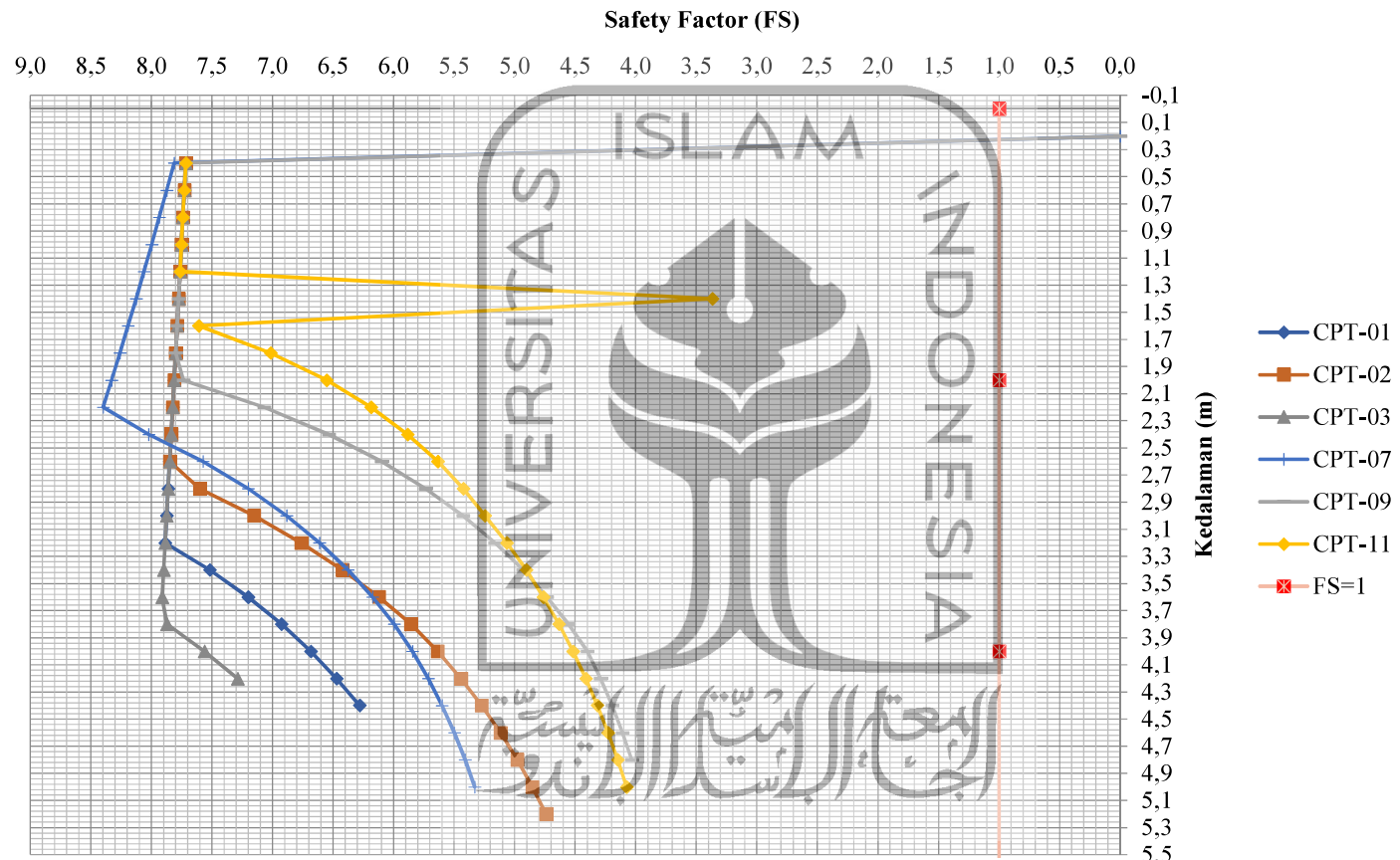
Berdasarkan hasil perhitungan dari 6 titik landasan pacu setelah dilakukan pemadatan dari data SPT di titik DB-01, DB-02, DB-03, DB-04, DB-05, DB-06 dan CPT di titik CPT-01, CPT-02, CPT-03, CPT-07, CPT-09, CPT-11 diatas dapat diperoleh hasil bahwa terdapat potensi terjadinya likufaksi pada Proyek Pembangunan *New Yogyakarta International Airport* (NYIA). Terdapat 5 garis tinjauan pada grafik hasil pengolahan data, yaitu garis berwarna biru tua menggambarkan nilai CSR, garis berwarna jingga menggambarkan nilai CRR, garis berwarna abu-abu menggambarkan nilai FS, garis berwarna biru muda menggambarkan nilai muka air tanah pada titik tersebut, dan garis kuning menggambarkan faktor keamanan. Apabila garis berwarna abu-abu yakni yang menunjukkan nilai FS tidak melebihi garis berwarna kuning, yakni garis faktor keamanan, berarti menunjukkan bahwa adanya potensi terjadi likuifaksi di daerah tersebut. Namun sebaliknya, jika garis berwarna abu-abu yakni yang menunjukkan nilai FS melebihi garis berwarna kuning, yakni garis faktor keamanan, berarti menunjukkan bahwa adanya potensi terjadi likuifaksi di daerah tersebut.

Jika melihat dari jenis tanah di lokasi Proyek Pembangunan *New Yogyakarta International Airport* (NYIA) termasuk jenis tanah berpasir yang berarti tanah tersebut memiliki gradasi butiran yang kurang baik. Pada 6 titik yang telah ditinjau untuk dianalisis dengan menggunakan data SPT dan CPT dapat diketahui bahwa seluruh titik aman dari potensi terjadinya likuifaksi.





Gambar 5.30 Grafik FS vs Kedalaman Berdasarkan Nilai SPT



Gambar 5.31 Grafik FS vs Kedalaman Berdasarkan Nilai CPT

**Tabel 5.55 Rekapitulasi Perhitungan SPT Sebelum dan Setelah Pemadatan**

| SPT   | Lapisan | Kedalaman | Tanah Asli |        |        | Status                   | Kedalaman | Tanah Setelah Pemadatan |         |         | Status                   |
|-------|---------|-----------|------------|--------|--------|--------------------------|-----------|-------------------------|---------|---------|--------------------------|
|       |         |           | CSR        | CRR    | FS     |                          |           | CSR                     | CRR     | FS      |                          |
| DB-01 | 1       | 2         | 0,2560     | 0,3676 | 1,4357 | Tidak Terjadi Likuifaksi | 0,65      | 0,2587                  | 1,1882  | 4,5927  | Tidak Terjadi Likuifaksi |
|       | 2       | 4         | 0,2965     | 0,1748 | 0,5894 | Terjadi Likuifaksi       | 1,65      | 0,2567                  | 0,2065  | 0,8044  | Tidak Terjadi Likuifaksi |
|       | 3       | 6         | 0,3724     | 0,2822 | 0,7577 | Terjadi Likuifaksi       | 2,65      | 0,2547                  | 0,0434  | 0,1703  | Tidak Terjadi Likuifaksi |
|       | 4       | 8         | 0,4205     | 0,7473 | 1,7771 | Tidak Terjadi Likuifaksi | 3,65      | 0,3158                  | 0,1268  | 0,4015  | Tidak Terjadi Likuifaksi |
|       | 5       | 10        | 0,4439     | 0,3799 | 0,8558 | Tidak Terjadi Likuifaksi | 4,65      | 0,3670                  | 0,2325  | 0,6336  | Tidak Terjadi Likuifaksi |
|       | 6       | 12        | 0,4442     | 0,3522 | 0,7928 | Tidak Terjadi Likuifaksi | 5,65      | 0,4038                  | 0,4666  | 1,1555  | Tidak Terjadi Likuifaksi |
|       | 7       | 14        | 0,4461     | 0,3397 | 0,7614 | Tidak Terjadi Likuifaksi | 6,65      | 0,4321                  | 0,4497  | 1,0409  | Tidak Terjadi Likuifaksi |
|       | 8       | -         | -          | -      | -      | -                        | 7,65      | 0,0000                  | 0,4394  | 0,9524  | Tidak Terjadi Likuifaksi |
|       | 9       | -         | -          | -      | -      | -                        | 8,65      | 0,4614                  | 0,4294  | 0,8827  | Tidak Terjadi Likuifaksi |
|       | 10      | -         | -          | -      | -      | -                        | 9,65      | 0,0000                  | 0,4197  | 0,8349  | Tidak Terjadi Likuifaksi |
| DB-02 | 1       | 2         | 0,2560     | 0,1674 | 0,6540 | Terjadi Likuifaksi       | 0,65      | 0,2587                  | 0,3608  | 1,3948  | Tidak Terjadi Likuifaksi |
|       | 2       | 4         | 0,3488     | 0,1426 | 0,4089 | Terjadi Likuifaksi       | 1,65      | 0,2567                  | 0,0756  | 0,2944  | Tidak Terjadi Likuifaksi |
|       | 3       | 6         | 0,4473     | 0,4877 | 1,0901 | Tidak Terjadi Likuifaksi | 2,65      | 0,2547                  | -0,0232 | -0,0912 | Tidak Terjadi Likuifaksi |
|       | 4       | 8         | 0,5120     | 0,4635 | 0,9052 | Tidak Terjadi Likuifaksi | 3,65      | 0,2900                  | 0,3066  | 1,0572  | Tidak Terjadi Likuifaksi |
|       | 5       | 10        | 0,5453     | 0,4404 | 0,8076 | Tidak Terjadi Likuifaksi | 4,65      | 0,3458                  | 0,2376  | 0,6871  | Tidak Terjadi Likuifaksi |
|       | 6       | 12        | 0,5370     | 0,4114 | 0,7661 | Tidak Terjadi Likuifaksi | 5,65      | 0,3914                  | 0,4761  | 1,2163  | Tidak Terjadi Likuifaksi |
|       | 7       | -         | -          | -      | -      | -                        | 6,65      | 0,4290                  | 0,4641  | 1,0820  | Tidak Terjadi Likuifaksi |
|       | 8       | -         | -          | -      | -      | -                        | 7,65      | 0,0000                  | 0,4302  | 0,9348  | Tidak Terjadi Likuifaksi |
|       | 9       | -         | -          | -      | -      | -                        | 8,65      | 0,4602                  | 0,4414  | 0,9073  | Tidak Terjadi Likuifaksi |
|       | 10      | -         | -          | -      | -      | -                        | 9,65      | 0,0000                  | 0,4305  | 0,8557  | Tidak Terjadi Likuifaksi |

**Lanjutan Tabel 5.55 Rekapitulasi Perhitungan SPT Sebelum dan Setelah Pemadatan**

| SPT   | Lapisan | Kedalaman | Tanah Asli |        |        | Status                   | Kedalaman | Tanah Setelah Pemadatan |         |         | Status                   |
|-------|---------|-----------|------------|--------|--------|--------------------------|-----------|-------------------------|---------|---------|--------------------------|
|       |         |           | CSR        | CRR    | FS     |                          |           | CSR                     | CRR     | FS      |                          |
| DB-03 | 1       | 2         | 0,2560     | 0,1811 | 0,7075 | Terjadi Likuifaksi       | 0,65      | 0,2587                  | 0,2042  | 0,7893  | Terjadi Likuifaksi       |
|       | 2       | 4         | 0,2638     | 0,2002 | 0,7588 | Terjadi Likuifaksi       | 1,65      | 0,2567                  | 0,3029  | 1,1798  | Tidak Terjadi Likuifaksi |
|       | 3       | 6         | 0,3465     | 0,2595 | 0,7488 | Terjadi Likuifaksi       | 2,65      | 0,2547                  | 0,5344  | 2,0979  | Tidak Terjadi Likuifaksi |
|       | 4       | 8         | 0,4078     | 0,4184 | 1,0260 | Tidak Terjadi Likuifaksi | 3,65      | 0,3007                  | 0,2202  | 0,7323  | Tidak Terjadi Likuifaksi |
|       | 5       | 10        | 0,4407     | 0,3942 | 0,8946 | Tidak Terjadi Likuifaksi | 4,65      | 0,3528                  | 0,2866  | 0,8123  | Tidak Terjadi Likuifaksi |
|       | 6       | 12        | 0,4367     | 0,3593 | 0,8227 | Tidak Terjadi Likuifaksi | 5,65      | 0,3960                  | 0,4695  | 1,1855  | Tidak Terjadi Likuifaksi |
|       | 7       | 14        | 0,4245     | 0,3262 | 0,7685 | Tidak Terjadi Likuifaksi | 6,65      | 0,4322                  | 0,4582  | 1,0603  | Tidak Terjadi Likuifaksi |
|       | 8       | -         | -          | -      | -      | -                        | 7,65      | 0,0000                  | 0,4692  | 1,0140  | Tidak Terjadi Likuifaksi |
|       | 9       | -         | -          | -      | -      | -                        | 8,65      | 0,4627                  | 0,4368  | 0,8941  | Tidak Terjadi Likuifaksi |
|       | 10      | -         | -          | -      | -      | -                        | 9,65      | 0,0000                  | 0,4240  | 0,8458  | Tidak Terjadi Likuifaksi |
| DB-04 | 1       | 2         | 0,2560     | 0,1649 | 0,6441 | Terjadi Likuifaksi       | 0,65      | 0,2587                  | 0,2499  | 0,9661  | Terjadi Likuifaksi       |
|       | 2       | 4         | 0,3370     | 0,1130 | 0,3352 | Terjadi Likuifaksi       | 1,65      | 0,2567                  | -0,6428 | -2,5040 | Tidak Terjadi Likuifaksi |
|       | 3       | 6         | 0,4281     | 0,2847 | 0,6650 | Terjadi Likuifaksi       | 2,65      | 0,2547                  | -0,1109 | -0,4354 | Tidak Terjadi Likuifaksi |
|       | 4       | 8         | 0,5019     | 0,4574 | 0,9113 | Tidak Terjadi Likuifaksi | 3,65      | 0,2897                  | -0,6400 | -2,2092 | Tidak Terjadi Likuifaksi |
|       | 5       | 10        | 0,5495     | 0,4427 | 0,8056 | Tidak Terjadi Likuifaksi | 4,65      | 0,3409                  | -0,0470 | -0,1380 | Tidak Terjadi Likuifaksi |
|       | 6       | 12        | 0,5151     | 0,3978 | 0,7723 | Tidak Terjadi Likuifaksi | 5,65      | 0,3836                  | 0,4305  | 1,1221  | Tidak Terjadi Likuifaksi |
|       | 7       | 14        | 0,4753     | 0,3519 | 0,7403 | Tidak Terjadi Likuifaksi | 6,65      | 0,4196                  | 0,4535  | 1,0808  | Tidak Terjadi Likuifaksi |
|       | 8       | -         | -          | -      | -      | -                        | 7,65      | 0,4542                  | 0,4679  | 1,0301  | Tidak Terjadi Likuifaksi |
|       | 9       | -         | -          | -      | -      | -                        | 8,65      | 0,4851                  | 0,4389  | 0,9048  | Tidak Terjadi Likuifaksi |
|       | 10      | -         | -          | -      | -      | -                        | 9,65      | 0,5072                  | 0,4319  | 0,8514  | Tidak Terjadi Likuifaksi |

**Lanjutan Tabel 5.55 Rekapitulasi Perhitungan SPT Sebelum dan Setelah Pemadatan**

| SPT   | Lapisan | Kedalaman | Tanah Asli |        |        | Status                   | Kedalaman | Tanah Setelah Pemadatan |         |         | Status                   |
|-------|---------|-----------|------------|--------|--------|--------------------------|-----------|-------------------------|---------|---------|--------------------------|
|       |         |           | CSR        | CRR    | FS     |                          |           | CSR                     | CRR     | FS      |                          |
| DB-05 | 1       | 2         | 0,2560     | 0,1373 | 0,5363 | Terjadi Likuifaksi       | 0,65      | 0,2587                  | -0,1492 | -0,5768 | Tidak Terjadi Likuifaksi |
|       | 2       | 4         | 0,4054     | 0,3056 | 0,7539 | Terjadi Likuifaksi       | 1,65      | 0,2567                  | 0,2888  | 1,1248  | Tidak Terjadi Likuifaksi |
|       | 3       | 6         | 0,4917     | 0,4960 | 1,0089 | Tidak Terjadi Likuifaksi | 2,65      | 0,2547                  | 0,2573  | 1,0102  | Tidak Terjadi Likuifaksi |
|       | 4       | 8         | 0,5420     | 0,4660 | 0,8597 | Tidak Terjadi Likuifaksi | 3,65      | 0,3112                  | 0,3130  | 1,0057  | Tidak Terjadi Likuifaksi |
|       | 5       | 10        | 0,5641     | 0,4392 | 0,7785 | Tidak Terjadi Likuifaksi | 4,65      | 0,3649                  | 0,3130  | 0,8579  | Tidak Terjadi Likuifaksi |
|       | 6       | 12        | 0,5567     | 0,4130 | 0,7418 | Tidak Terjadi Likuifaksi | 5,65      | 0,4062                  | 0,4758  | 1,1713  | Tidak Terjadi Likuifaksi |
|       | 7       | -         | -          | -      | -      | -                        | 6,65      | 0,5521                  | 0,4951  | 0,8968  | Tidak Terjadi Likuifaksi |
|       | 8       | -         | -          | -      | -      | -                        | 7,65      | 0,5744                  | 0,4803  | 0,8362  | Tidak Terjadi Likuifaksi |
|       | 9       | -         | -          | -      | -      | -                        | 8,65      | 0,5916                  | 0,4661  | 0,7879  | Tidak Terjadi Likuifaksi |
|       | 10      | -         | -          | -      | -      | -                        | 9,65      | 0,5014                  | 0,4222  | 0,8420  | Tidak Terjadi Likuifaksi |
| DB-06 | 1       | 2         | 0,2560     | 0,1173 | 0,4581 | Terjadi Likuifaksi       | 0,65      | 1,8612                  | 1,1134  | 0,5982  | Tidak Terjadi Likuifaksi |
|       | 2       | 4         | 0,3482     | 0,2277 | 0,6539 | Terjadi Likuifaksi       | 1,65      | 1,8468                  | 0,1778  | 0,0963  | Tidak Terjadi Likuifaksi |
|       | 3       | 6         | 0,4293     | 0,4603 | 1,0722 | Tidak Terjadi Likuifaksi | 2,65      | 1,8324                  | 0,0206  | 0,0112  | Tidak Terjadi Likuifaksi |
|       | 4       | 8         | 0,4836     | 0,4361 | 0,9016 | Tidak Terjadi Likuifaksi | 3,65      | 2,1077                  | 0,0979  | 0,0465  | Tidak Terjadi Likuifaksi |
|       | 5       | 10        | 0,5122     | 0,4133 | 0,8069 | Tidak Terjadi Likuifaksi | 4,65      | 2,4283                  | 0,2184  | 0,0899  | Tidak Terjadi Likuifaksi |
|       | 6       | 12        | 0,5139     | 0,3908 | 0,7605 | Tidak Terjadi Likuifaksi | 5,65      | 2,6971                  | 0,2967  | 0,1100  | Tidak Terjadi Likuifaksi |
|       | 7       | -         | -          | -      | -      | -                        | 6,65      | 3,5280                  | 0,4641  | 0,1316  | Tidak Terjadi Likuifaksi |
|       | 8       | -         | -          | -      | -      | -                        | 7,65      | 3,7077                  | 0,4517  | 0,1218  | Tidak Terjadi Likuifaksi |
|       | 9       | -         | -          | -      | -      | -                        | 8,65      | 3,8143                  | 0,3831  | 0,1004  | Tidak Terjadi Likuifaksi |
|       | 10      | -         | -          | -      | -      | -                        | 9,65      | 3,7089                  | 0,3996  | 0,1077  | Tidak Terjadi Likuifaksi |

**Tabel 5.56 Rekapitulasi Perhitungan CPT Sebelum dan Setelah Pemadatan**

| CPT    | Kedalaman | Tanah Asli |       |       | Status                   | Tanah setelah pemadatan |       |       | Status                   |
|--------|-----------|------------|-------|-------|--------------------------|-------------------------|-------|-------|--------------------------|
|        |           | CSR        | CRR   | FS    |                          | CSR                     | CRR   | FS    |                          |
| CPT-01 | 0,2       |            |       |       |                          |                         |       |       |                          |
|        | 0,4       | 0,259      | 0,087 | 0,336 | Likuifaksi               | 0,259                   | 2,000 | 7,716 | Tidak Terjadi Likuifaksi |
|        | 0,6       | 0,259      | 0,147 | 0,569 | Likuifaksi               | 0,259                   | 2,000 | 7,728 | Tidak Terjadi Likuifaksi |
|        | 0,8       | 0,258      | 0,192 | 0,742 | Likuifaksi               | 0,258                   | 2,000 | 7,740 | Tidak Terjadi Likuifaksi |
|        | 1         | 0,258      | 0,273 | 1,057 | Tidak Terjadi Likuifaksi | 0,258                   | 2,000 | 7,752 | Tidak Terjadi Likuifaksi |
|        | 1,2       | 0,258      | 2,000 | 7,764 | Tidak Terjadi Likuifaksi | 0,258                   | 2,000 | 7,764 | Tidak Terjadi Likuifaksi |
|        | 1,4       | 0,257      | 1,316 | 5,117 | Tidak Terjadi Likuifaksi | 0,257                   | 2,000 | 7,776 | Tidak Terjadi Likuifaksi |
|        | 1,6       | 0,257      | 2,000 | 7,788 | Tidak Terjadi Likuifaksi | 0,257                   | 2,000 | 7,788 | Tidak Terjadi Likuifaksi |
|        | 1,8       | 0,256      | 0,431 | 1,679 | Tidak Terjadi Likuifaksi | 0,256                   | 2,000 | 7,800 | Tidak Terjadi Likuifaksi |
|        | 2         | 0,256      | 0,330 | 1,290 | Tidak Terjadi Likuifaksi | 0,256                   | 2,000 | 7,812 | Tidak Terjadi Likuifaksi |
|        | 2,2       | 0,256      | 1,254 | 4,906 | Tidak Terjadi Likuifaksi | 0,256                   | 2,000 | 7,824 | Tidak Terjadi Likuifaksi |
|        | 2,4       | 0,255      | 2,000 | 7,836 | Tidak Terjadi Likuifaksi | 0,255                   | 2,000 | 7,836 | Tidak Terjadi Likuifaksi |
|        | 2,6       | 0,255      | 0,507 | 1,990 | Tidak Terjadi Likuifaksi | 0,255                   | 2,000 | 7,848 | Tidak Terjadi Likuifaksi |
|        | 2,8       | 0,254      | 0,215 | 0,846 | Likuifaksi               | 0,254                   | 2,000 | 7,861 | Tidak Terjadi Likuifaksi |
|        | 3         | 0,254      | 0,561 | 2,209 | Tidak Terjadi Likuifaksi | 0,254                   | 2,000 | 7,873 | Tidak Terjadi Likuifaksi |
|        | 3,2       | 0,254      | 2,000 | 7,885 | Tidak Terjadi Likuifaksi | 0,254                   | 2,000 | 7,885 | Tidak Terjadi Likuifaksi |
|        | 3,4       | 0,266      | 0,249 | 0,937 | Likuifaksi               | 0,266                   | 2,000 | 7,518 | Tidak Terjadi Likuifaksi |
|        | 3,6       | 0,278      | 0,212 | 0,762 | Likuifaksi               | 0,278                   | 2,000 | 7,202 | Tidak Terjadi Likuifaksi |
|        | 3,8       | 0,289      | 0,283 | 0,979 | Likuifaksi               | 0,289                   | 2,000 | 6,926 | Tidak Terjadi Likuifaksi |
|        | 4         | 0,299      | 0,228 | 0,764 | Likuifaksi               | 0,299                   | 2,000 | 6,685 | Tidak Terjadi Likuifaksi |
|        | 4,2       | 0,309      | 0,402 | 1,300 | Tidak Terjadi Likuifaksi | 0,309                   | 2,000 | 6,471 | Tidak Terjadi Likuifaksi |

**Lanjutan Tabel 5.56 Rekapitulasi Perhitungan CPT Sebelum dan Setelah Pemadatan**

| CPT    | Kedalaman | Tanah Asli |       |       | Status                   | Tanah setelah pemadatan |       |       | Status                   |
|--------|-----------|------------|-------|-------|--------------------------|-------------------------|-------|-------|--------------------------|
|        |           | CSR        | CRR   | FS    |                          | CSR                     | CRR   | FS    |                          |
| CPT-02 | 4,4       | 0,318      | 0,255 | 0,800 | Likuifaksi               | 0,318                   | 2,000 | 6,281 | Tidak Terjadi Likuifaksi |
|        | 4,6       | 0,327      | 0,365 | 1,116 | Tidak Terjadi Likuifaksi |                         |       |       |                          |
|        | 4,8       | 0,336      | 2,000 | 5,957 | Tidak Terjadi Likuifaksi |                         |       |       |                          |
|        | 5         | 0,344      | 0,439 | 1,277 | Tidak Terjadi Likuifaksi |                         |       |       |                          |
|        | 0,2       |            |       |       |                          |                         |       |       |                          |
|        | 0,4       | 0,26       | 0,12  | 0,46  | Likuifaksi               | 0,26                    | 2,00  | 7,72  | Tidak Terjadi Likuifaksi |
|        | 0,6       | 0,26       | 0,16  | 0,62  | Likuifaksi               | 0,26                    | 2,00  | 7,73  | Tidak Terjadi Likuifaksi |
|        | 0,8       | 0,26       | 0,16  | 0,61  | Likuifaksi               | 0,26                    | 2,00  | 7,74  | Tidak Terjadi Likuifaksi |
|        | 1         | 0,26       | 0,13  | 0,49  | Likuifaksi               | 0,26                    | 2,00  | 7,75  | Tidak Terjadi Likuifaksi |
|        | 1,2       | 0,26       | 0,13  | 0,50  | Likuifaksi               | 0,26                    | 2,00  | 7,76  | Tidak Terjadi Likuifaksi |
|        | 1,4       | 0,26       | 0,57  | 2,20  | Tidak Terjadi Likuifaksi | 0,26                    | 2,00  | 7,78  | Tidak Terjadi Likuifaksi |
|        | 1,6       | 0,26       | 0,66  | 2,57  | Tidak Terjadi Likuifaksi | 0,26                    | 2,00  | 7,79  | Tidak Terjadi Likuifaksi |
|        | 1,8       | 0,26       | 0,38  | 1,48  | Tidak Terjadi Likuifaksi | 0,26                    | 2,00  | 7,80  | Tidak Terjadi Likuifaksi |
|        | 2         | 0,26       | 2,00  | 7,81  | Tidak Terjadi Likuifaksi | 0,26                    | 2,00  | 7,81  | Tidak Terjadi Likuifaksi |
|        | 2,2       | 0,26       | 1,78  | 6,96  | Tidak Terjadi Likuifaksi | 0,26                    | 2,00  | 7,82  | Tidak Terjadi Likuifaksi |
|        | 2,4       | 0,26       | 0,57  | 2,25  | Tidak Terjadi Likuifaksi | 0,26                    | 2,00  | 7,84  | Tidak Terjadi Likuifaksi |
|        | 2,6       | 0,25       | 1,10  | 4,32  | Tidak Terjadi Likuifaksi | 0,25                    | 2,00  | 7,85  | Tidak Terjadi Likuifaksi |
|        | 2,8       | 0,26       | 0,26  | 0,98  | Likuifaksi               | 0,26                    | 2,00  | 7,60  | Tidak Terjadi Likuifaksi |
|        | 3         | 0,28       | 0,52  | 1,87  | Tidak Terjadi Likuifaksi | 0,28                    | 2,00  | 7,15  | Tidak Terjadi Likuifaksi |
|        | 3,2       | 0,30       | 0,11  | 0,37  | Likuifaksi               | 0,30                    | 2,00  | 6,76  | Tidak Terjadi Likuifaksi |
|        | 3,4       | 0,31       | 0,10  | 0,32  | Likuifaksi               | 0,31                    | 2,00  | 6,42  | Tidak Terjadi Likuifaksi |

**Lanjutan Tabel 5.56 Rekapitulasi Perhitungan CPT Sebelum dan Setelah Pemadatan**

| CPT    | Kedalaman | Tanah Asli |       |       | Status                   | Tanah setelah pemadatan |       |       | Status                   |
|--------|-----------|------------|-------|-------|--------------------------|-------------------------|-------|-------|--------------------------|
|        |           | CSR        | CRR   | FS    |                          | CSR                     | CRR   | FS    |                          |
| CPT-03 | 3,6       | 0,33       | 0,21  | 0,64  | Likuifaksi               | 0,33                    | 2,00  | 6,12  | Tidak Terjadi Likuifaksi |
|        | 3,8       | 0,34       | 0,09  | 0,28  | Likuifaksi               | 0,34                    | 2,00  | 5,86  | Tidak Terjadi Likuifaksi |
|        | 4         | 0,35       | 0,10  | 0,27  | Likuifaksi               | 0,35                    | 2,00  | 5,64  | Tidak Terjadi Likuifaksi |
|        | 4,2       | 0,37       | 0,09  | 0,24  | Likuifaksi               | 0,37                    | 2,00  | 5,44  | Tidak Terjadi Likuifaksi |
|        | 4,4       | 0,38       | 0,12  | 0,31  | Likuifaksi               | 0,38                    | 2,00  | 5,27  | Tidak Terjadi Likuifaksi |
|        | 4,6       | 0,39       | 0,13  | 0,34  | Likuifaksi               | 0,39                    | 2,00  | 5,12  | Tidak Terjadi Likuifaksi |
|        | 4,8       | 0,40       | 0,27  | 0,68  | Likuifaksi               | 0,40                    | 2,00  | 4,98  | Tidak Terjadi Likuifaksi |
|        | 5         | 0,41       | 0,70  | 1,69  | Tidak Terjadi Likuifaksi | 0,41                    | 2,00  | 4,85  | Tidak Terjadi Likuifaksi |
|        | 5,2       | 0,42       | 2,00  | 4,74  | Tidak Terjadi Likuifaksi | 0,42                    | 2,00  | 4,74  | Tidak Terjadi Likuifaksi |
|        | 5,4       | 0,43       | 2,00  | 4,64  | Tidak Terjadi Likuifaksi |                         |       |       |                          |
|        | 5,6       | 0,44       | 2,00  | 4,54  | Tidak Terjadi Likuifaksi |                         |       |       |                          |
| CPT-03 | 0,2       |            |       |       |                          |                         |       |       |                          |
|        | 0,4       | 0,259      | 0,106 | 0,408 | Likuifaksi               | 0,259                   | 2,000 | 7,716 | Tidak Terjadi Likuifaksi |
|        | 0,6       | 0,259      | 0,099 | 0,384 | Likuifaksi               | 0,259                   | 2,000 | 7,728 | Tidak Terjadi Likuifaksi |
|        | 0,8       | 0,258      | 0,113 | 0,436 | Likuifaksi               | 0,258                   | 2,000 | 7,740 | Tidak Terjadi Likuifaksi |
|        | 1         | 0,258      | 0,126 | 0,490 | Likuifaksi               | 0,258                   | 2,000 | 7,752 | Tidak Terjadi Likuifaksi |
|        | 1,2       | 0,258      | 0,187 | 0,727 | Likuifaksi               | 0,258                   | 2,000 | 7,764 | Tidak Terjadi Likuifaksi |
|        | 1,4       | 0,257      | 0,135 | 0,524 | Likuifaksi               | 0,257                   | 2,000 | 7,776 | Tidak Terjadi Likuifaksi |
|        | 1,6       | 0,257      | 0,150 | 0,583 | Likuifaksi               | 0,257                   | 2,000 | 7,788 | Tidak Terjadi Likuifaksi |
|        | 1,8       | 0,256      | 0,168 | 0,653 | Likuifaksi               | 0,256                   | 2,000 | 7,800 | Tidak Terjadi Likuifaksi |
|        | 2         | 0,256      | 0,210 | 0,818 | Likuifaksi               | 0,256                   | 2,000 | 7,812 | Tidak Terjadi Likuifaksi |

**Lanjutan Tabel 5.56 Rekapitulasi Perhitungan CPT Sebelum dan Setelah Pemadatan**

| CPT    | Kedalaman | Tanah Asli |       |       | Status                   | Tanah setelah pemadatan |       |       | Status                   |
|--------|-----------|------------|-------|-------|--------------------------|-------------------------|-------|-------|--------------------------|
|        |           | CSR        | CRR   | FS    |                          | CSR                     | CRR   | FS    |                          |
| CPT-07 | 2,2       | 0,256      | 1,018 | 3,982 | Tidak Terjadi Likuifaksi | 0,256                   | 2,000 | 7,824 | Tidak Terjadi Likuifaksi |
|        | 2,4       | 0,255      | 0,287 | 1,125 | Tidak Terjadi Likuifaksi | 0,255                   | 2,000 | 7,836 | Tidak Terjadi Likuifaksi |
|        | 2,6       | 0,255      | 2,000 | 7,848 | Tidak Terjadi Likuifaksi | 0,255                   | 2,000 | 7,848 | Tidak Terjadi Likuifaksi |
|        | 2,8       | 0,254      | 0,469 | 1,845 | Tidak Terjadi Likuifaksi | 0,254                   | 2,000 | 7,861 | Tidak Terjadi Likuifaksi |
|        | 3         | 0,254      | 0,540 | 2,127 | Tidak Terjadi Likuifaksi | 0,254                   | 2,000 | 7,873 | Tidak Terjadi Likuifaksi |
|        | 3,2       | 0,254      | 1,467 | 5,783 | Tidak Terjadi Likuifaksi | 0,254                   | 2,000 | 7,885 | Tidak Terjadi Likuifaksi |
|        | 3,4       | 0,253      | 0,381 | 1,505 | Tidak Terjadi Likuifaksi | 0,253                   | 2,000 | 7,898 | Tidak Terjadi Likuifaksi |
|        | 3,6       | 0,253      | 0,469 | 1,854 | Tidak Terjadi Likuifaksi | 0,253                   | 2,000 | 7,910 | Tidak Terjadi Likuifaksi |
|        | 3,8       | 0,254      | 0,616 | 2,424 | Tidak Terjadi Likuifaksi | 0,254                   | 2,000 | 7,871 | Tidak Terjadi Likuifaksi |
|        | 4         | 0,264      | 1,592 | 6,020 | Tidak Terjadi Likuifaksi | 0,264                   | 2,000 | 7,563 | Tidak Terjadi Likuifaksi |
|        | 4,2       | 0,274      | 1,083 | 3,946 | Tidak Terjadi Likuifaksi | 0,274                   | 2,000 | 7,288 | Tidak Terjadi Likuifaksi |
|        | 0,2       |            |       |       |                          |                         |       |       |                          |
|        | 0,4       | 0,256      | 0,264 | 1,031 | Tidak Terjadi Likuifaksi | 0,256                   | 2,000 | 7,812 | Tidak Terjadi Likuifaksi |
|        | 0,6       | 0,254      | 0,198 | 0,779 | Likuifaksi               | 0,254                   | 2,000 | 7,873 | Tidak Terjadi Likuifaksi |
|        | 0,8       | 0,252      | 0,602 | 2,389 | Tidak Terjadi Likuifaksi | 0,252                   | 2,000 | 7,935 | Tidak Terjadi Likuifaksi |
|        | 1         | 0,250      | 0,516 | 2,065 | Tidak Terjadi Likuifaksi | 0,250                   | 2,000 | 7,998 | Tidak Terjadi Likuifaksi |
|        | 1,2       | 0,248      | 2,000 | 8,062 | Tidak Terjadi Likuifaksi | 0,248                   | 2,000 | 8,062 | Tidak Terjadi Likuifaksi |
|        | 1,4       | 0,246      | 2,000 | 8,128 | Tidak Terjadi Likuifaksi | 0,246                   | 2,000 | 8,128 | Tidak Terjadi Likuifaksi |
|        | 1,6       | 0,244      | 0,351 | 1,436 | Tidak Terjadi Likuifaksi | 0,244                   | 2,000 | 8,194 | Tidak Terjadi Likuifaksi |
|        | 1,8       | 0,242      | 2,000 | 8,261 | Tidak Terjadi Likuifaksi | 0,242                   | 2,000 | 8,261 | Tidak Terjadi Likuifaksi |
|        | 2         | 0,240      | 0,213 | 0,887 | Likuifaksi               | 0,240                   | 2,000 | 8,330 | Tidak Terjadi Likuifaksi |

**Lanjutan Tabel 5.56 Rekapitulasi Perhitungan CPT Sebelum dan Setelah Pemadatan**

| CPT    | Kedalaman | Tanah Asli |       |       | Status                   | Tanah setelah pemadatan |       |       | Status                   |
|--------|-----------|------------|-------|-------|--------------------------|-------------------------|-------|-------|--------------------------|
|        |           | CSR        | CRR   | FS    |                          | CSR                     | CRR   | FS    |                          |
| CPT-09 | 2,2       | 0,238      | 0,344 | 1,443 | Tidak Terjadi Likuifaksi | 0,238                   | 2,000 | 8,399 | Tidak Terjadi Likuifaksi |
|        | 2,4       | 0,249      | 0,268 | 1,074 | Tidak Terjadi Likuifaksi | 0,249                   | 2,000 | 8,022 | Tidak Terjadi Likuifaksi |
|        | 2,6       | 0,264      | 0,213 | 0,806 | Likuifaksi               | 0,264                   | 2,000 | 7,576 | Tidak Terjadi Likuifaksi |
|        | 2,8       | 0,278      | 0,210 | 0,756 | Likuifaksi               | 0,278                   | 2,000 | 7,201 | Tidak Terjadi Likuifaksi |
|        | 3         | 0,291      | 2,000 | 6,884 | Tidak Terjadi Likuifaksi | 0,291                   | 2,000 | 6,884 | Tidak Terjadi Likuifaksi |
|        | 3,2       | 0,302      | 0,714 | 2,359 | Tidak Terjadi Likuifaksi | 0,302                   | 2,000 | 6,612 | Tidak Terjadi Likuifaksi |
|        | 3,4       | 0,314      | 0,292 | 0,931 | Likuifaksi               | 0,314                   | 2,000 | 6,378 | Tidak Terjadi Likuifaksi |
|        | 3,6       | 0,324      | 2,000 | 6,173 | Tidak Terjadi Likuifaksi | 0,324                   | 2,000 | 6,173 | Tidak Terjadi Likuifaksi |
|        | 3,8       | 0,334      | 2,000 | 5,995 | Tidak Terjadi Likuifaksi | 0,334                   | 2,000 | 5,995 | Tidak Terjadi Likuifaksi |
|        | 4         | 0,342      | 0,544 | 1,590 | Tidak Terjadi Likuifaksi | 0,342                   | 2,000 | 5,845 | Tidak Terjadi Likuifaksi |
|        | 4,2       | 0,350      | 0,214 | 0,612 | Likuifaksi               | 0,350                   | 2,000 | 5,714 | Tidak Terjadi Likuifaksi |
|        | 4,4       | 0,357      | 0,510 | 1,427 | Tidak Terjadi Likuifaksi | 0,357                   | 2,000 | 5,599 | Tidak Terjadi Likuifaksi |
|        | 4,6       | 0,364      | 2,000 | 5,498 | Tidak Terjadi Likuifaksi | 0,364                   | 2,000 | 5,498 | Tidak Terjadi Likuifaksi |
|        | 4,8       | 0,370      | 2,000 | 5,409 | Tidak Terjadi Likuifaksi | 0,370                   | 2,000 | 5,409 | Tidak Terjadi Likuifaksi |
|        | 5         | 0,375      | 0,957 | 2,550 | Tidak Terjadi Likuifaksi | 0,375                   | 2,000 | 5,330 | Tidak Terjadi Likuifaksi |
| CPT-09 | 0,2       |            |       |       |                          |                         |       |       |                          |
|        | 0,4       | 0,259      | 0,131 | 0,504 | Likuifaksi               | 0,259                   | 2,000 | 7,716 | Tidak Terjadi Likuifaksi |
|        | 0,6       | 0,259      | 0,125 | 0,482 | Likuifaksi               | 0,259                   | 2,000 | 7,728 | Tidak Terjadi Likuifaksi |
|        | 0,8       | 0,258      | 0,163 | 0,629 | Likuifaksi               | 0,258                   | 2,000 | 7,740 | Tidak Terjadi Likuifaksi |
|        | 1         | 0,258      | 0,154 | 0,597 | Likuifaksi               | 0,258                   | 2,000 | 7,752 | Tidak Terjadi Likuifaksi |
|        | 1,2       | 0,258      | 0,240 | 0,931 | Likuifaksi               | 0,258                   | 2,000 | 7,764 | Tidak Terjadi Likuifaksi |

**Lanjutan Tabel 5.56 Rekapitulasi Perhitungan CPT Sebelum dan Setelah Pemadatan**

| CPT    | Kedalaman | Tanah Asli |       |                          | Status | Tanah setelah pemadatan |       |                          | Status |
|--------|-----------|------------|-------|--------------------------|--------|-------------------------|-------|--------------------------|--------|
|        |           | CSR        | CRR   | FS                       |        | CSR                     | CRR   | FS                       |        |
| 1,4    | 0,257     | 0,370      | 1,440 | Tidak Terjadi Likuifaksi | 0,257  | 2,000                   | 7,776 | Tidak Terjadi Likuifaksi |        |
|        | 0,257     | 0,179      | 0,696 | Likuifaksi               | 0,257  | 2,000                   | 7,788 | Tidak Terjadi Likuifaksi |        |
|        | 0,256     | 0,176      | 0,686 | Likuifaksi               | 0,256  | 2,000                   | 7,800 | Tidak Terjadi Likuifaksi |        |
|        | 0,259     | 0,191      | 0,740 | Likuifaksi               | 0,259  | 2,000                   | 7,735 | Tidak Terjadi Likuifaksi |        |
|        | 0,283     | 0,249      | 0,880 | Likuifaksi               | 0,283  | 2,000                   | 7,069 | Tidak Terjadi Likuifaksi |        |
|        | 0,306     | 0,339      | 1,108 | Tidak Terjadi Likuifaksi | 0,306  | 2,000                   | 6,536 | Tidak Terjadi Likuifaksi |        |
|        | 0,328     | 2,000      | 6,099 | Tidak Terjadi Likuifaksi | 0,328  | 2,000                   | 6,099 | Tidak Terjadi Likuifaksi |        |
|        | 0,349     | 0,185      | 0,529 | Likuifaksi               | 0,349  | 2,000                   | 5,735 | Tidak Terjadi Likuifaksi |        |
|        | 0,369     | 0,146      | 0,396 | Likuifaksi               | 0,369  | 2,000                   | 5,426 | Tidak Terjadi Likuifaksi |        |
|        | 0,387     | 0,192      | 0,495 | Likuifaksi               | 0,387  | 2,000                   | 5,162 | Tidak Terjadi Likuifaksi |        |
|        | 0,405     | 0,412      | 1,016 | Tidak Terjadi Likuifaksi | 0,405  | 2,000                   | 4,933 | Tidak Terjadi Likuifaksi |        |
|        | 0,423     | 0,430      | 1,017 | Tidak Terjadi Likuifaksi | 0,423  | 2,000                   | 4,732 | Tidak Terjadi Likuifaksi |        |
|        | 0,439     | 2,000      | 4,556 | Tidak Terjadi Likuifaksi | 0,439  | 2,000                   | 4,556 | Tidak Terjadi Likuifaksi |        |
|        | 0,455     | 0,239      | 0,526 | Likuifaksi               | 0,455  | 2,000                   | 4,399 | Tidak Terjadi Likuifaksi |        |
|        | 0,466     | 0,307      | 0,658 | Likuifaksi               | 0,466  | 2,000                   | 4,290 | Tidak Terjadi Likuifaksi |        |
| CPT-11 | 0,477     | 2,000      | 4,194 | Tidak Terjadi Likuifaksi | 0,477  | 2,000                   | 4,194 | Tidak Terjadi Likuifaksi |        |
|        | 0,487     | 2,000      | 4,109 | Tidak Terjadi Likuifaksi | 0,487  | 2,000                   | 4,109 | Tidak Terjadi Likuifaksi |        |
|        | 0,496     | 2,000      | 4,033 | Tidak Terjadi Likuifaksi | 0,496  | 2,000                   | 4,033 | Tidak Terjadi Likuifaksi |        |
| 0,2    |           |            |       |                          |        |                         |       |                          |        |
|        | 0,259     | 0,150      | 0,577 | Likuifaksi               | 0,259  | 2,000                   | 7,716 | Tidak Terjadi Likuifaksi |        |
|        | 0,259     | 0,161      | 0,622 | Likuifaksi               | 0,259  | 2,000                   | 7,728 | Tidak Terjadi Likuifaksi |        |

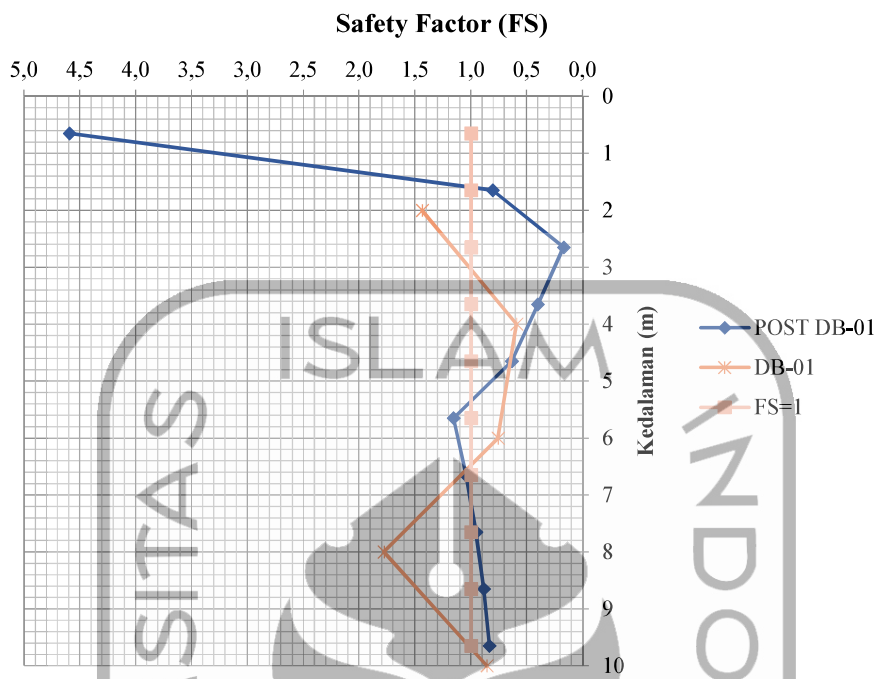
**Lanjutan Tabel 5.56 Rekapitulasi Perhitungan CPT Sebelum dan Setelah Pemadatan**

| CPT | Kedalaman | Tanah Asli |       |       | Status                   | Tanah setelah pemadatan |       |       | Status                   |
|-----|-----------|------------|-------|-------|--------------------------|-------------------------|-------|-------|--------------------------|
|     |           | CSR        | CRR   | FS    |                          | CSR                     | CRR   | FS    |                          |
|     | 0,8       | 0,258      | 0,187 | 0,722 | Likuifaksi               | 0,258                   | 2,000 | 7,740 | Tidak Terjadi Likuifaksi |
|     | 1         | 0,258      | 0,249 | 0,966 | Likuifaksi               | 0,258                   | 2,000 | 7,752 | Tidak Terjadi Likuifaksi |
|     | 1,2       | 0,258      | 0,189 | 0,733 | Likuifaksi               | 0,258                   | 2,000 | 7,764 | Tidak Terjadi Likuifaksi |
|     | 1,4       | 0,257      | 0,191 | 0,744 | Likuifaksi               | 0,257                   | 0,866 | 3,366 | Tidak Terjadi Likuifaksi |
|     | 1,6       | 0,263      | 0,210 | 0,797 | Likuifaksi               | 0,263                   | 2,000 | 7,608 | Tidak Terjadi Likuifaksi |
|     | 1,8       | 0,285      | 0,179 | 0,627 | Likuifaksi               | 0,285                   | 2,000 | 7,014 | Tidak Terjadi Likuifaksi |
|     | 2         | 0,305      | 0,166 | 0,545 | Likuifaksi               | 0,305                   | 2,000 | 6,553 | Tidak Terjadi Likuifaksi |
|     | 2,2       | 0,323      | 0,186 | 0,576 | Likuifaksi               | 0,323                   | 2,000 | 6,185 | Tidak Terjadi Likuifaksi |
|     | 2,4       | 0,340      | 0,185 | 0,546 | Likuifaksi               | 0,340                   | 2,000 | 5,885 | Tidak Terjadi Likuifaksi |
|     | 2,6       | 0,355      | 0,208 | 0,587 | Likuifaksi               | 0,355                   | 2,000 | 5,635 | Tidak Terjadi Likuifaksi |
|     | 2,8       | 0,369      | 0,148 | 0,402 | Likuifaksi               | 0,369                   | 2,000 | 5,425 | Tidak Terjadi Likuifaksi |
|     | 3         | 0,381      | 0,174 | 0,457 | Likuifaksi               | 0,381                   | 2,000 | 5,245 | Tidak Terjadi Likuifaksi |
|     | 3,2       | 0,395      | 0,213 | 0,539 | Likuifaksi               | 0,395                   | 2,000 | 5,065 | Tidak Terjadi Likuifaksi |
|     | 3,4       | 0,408      | 0,196 | 0,480 | Likuifaksi               | 0,408                   | 2,000 | 4,905 | Tidak Terjadi Likuifaksi |
|     | 3,6       | 0,420      | 0,223 | 0,532 | Likuifaksi               | 0,420                   | 2,000 | 4,762 | Tidak Terjadi Likuifaksi |
|     | 3,8       | 0,432      | 0,256 | 0,594 | Likuifaksi               | 0,432                   | 2,000 | 4,634 | Tidak Terjadi Likuifaksi |
|     | 4         | 0,443      | 0,396 | 0,894 | Likuifaksi               | 0,443                   | 2,000 | 4,518 | Tidak Terjadi Likuifaksi |
|     | 4,2       | 0,453      | 0,512 | 1,129 | Tidak Terjadi Likuifaksi | 0,453                   | 2,000 | 4,413 | Tidak Terjadi Likuifaksi |
|     | 4,4       | 0,463      | 0,426 | 0,920 | Likuifaksi               | 0,463                   | 2,000 | 4,317 | Tidak Terjadi Likuifaksi |
|     | 4,6       | 0,473      | 0,446 | 0,942 | Likuifaksi               | 0,473                   | 2,000 | 4,229 | Tidak Terjadi Likuifaksi |
|     | 4,8       | 0,482      | 2,000 | 4,149 | Tidak Terjadi Likuifaksi | 0,482                   | 2,000 | 4,149 | Tidak Terjadi Likuifaksi |

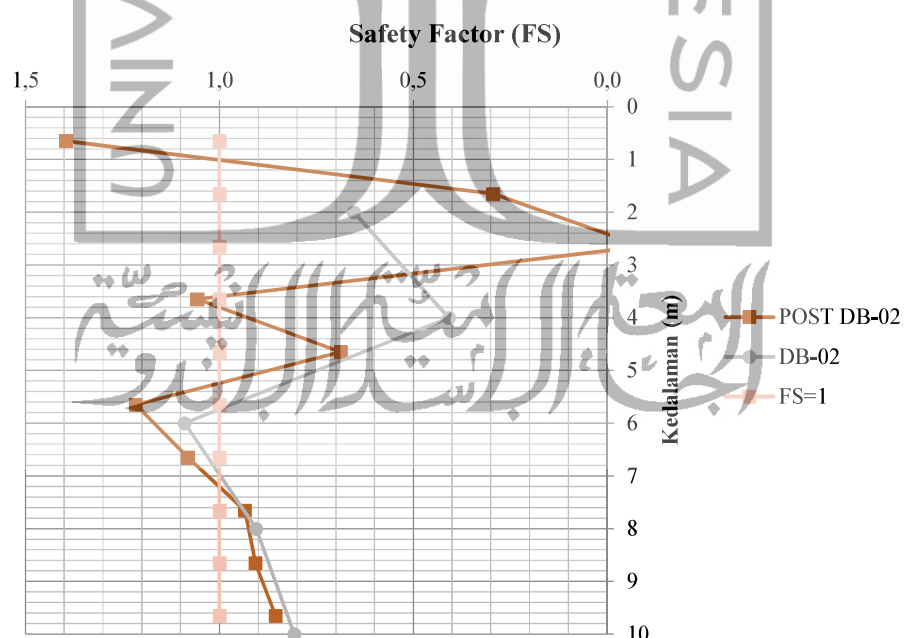
**Lanjutan Tabel 5.56 Rekapitulasi Perhitungan CPT Sebelum dan Setelah Pemadatan**

| CPT | Kedalaman | Tanah Asli |       |       | Status                   | Tanah setelah pemadatan |       |       | Status                   |
|-----|-----------|------------|-------|-------|--------------------------|-------------------------|-------|-------|--------------------------|
|     |           | CSR        | CRR   | FS    |                          | CSR                     | CRR   | FS    |                          |
|     | 5         | 0,491      | 1,332 | 2,714 | Tidak Terjadi Likuifaksi | 0,491                   | 2,000 | 4,075 | Tidak Terjadi Likuifaksi |

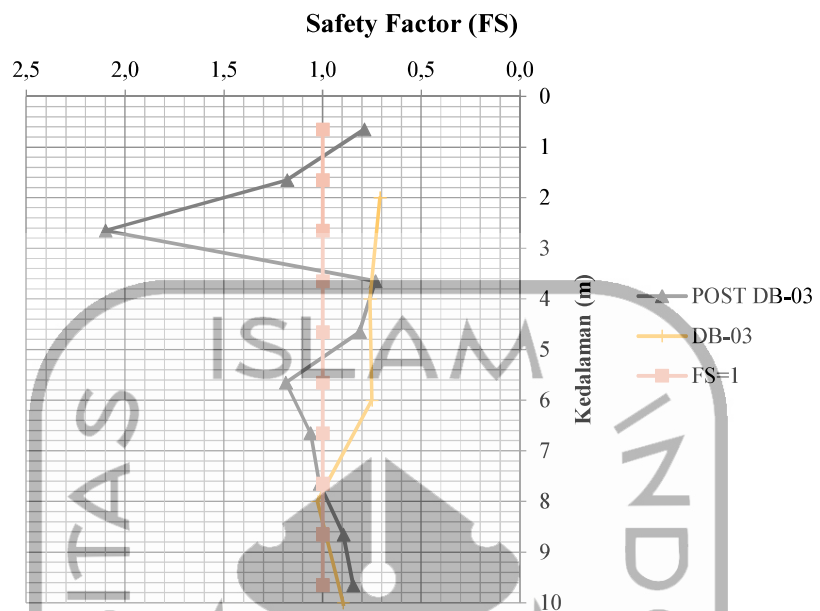




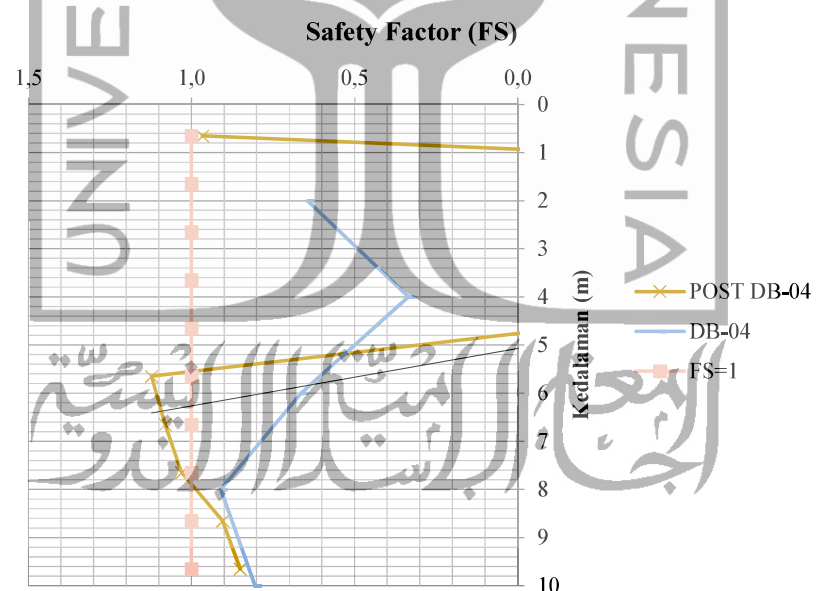
Gambar 5.32 Grafik Rekapitulasi FS vs Kedalaman Berdasarkan Nilai SPT pada Tanah Asli dan Tanah Setelah Pemadatan DB-01



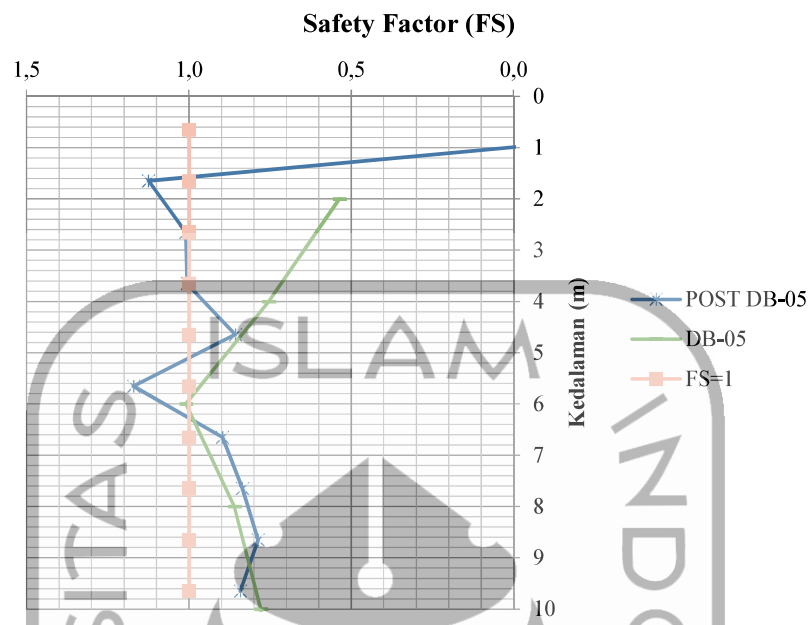
Gambar 5.33 Grafik Rekapitulasi FS vs Kedalaman Berdasarkan Nilai SPT pada Tanah Asli dan Tanah Setelah Pemadatan DB-02



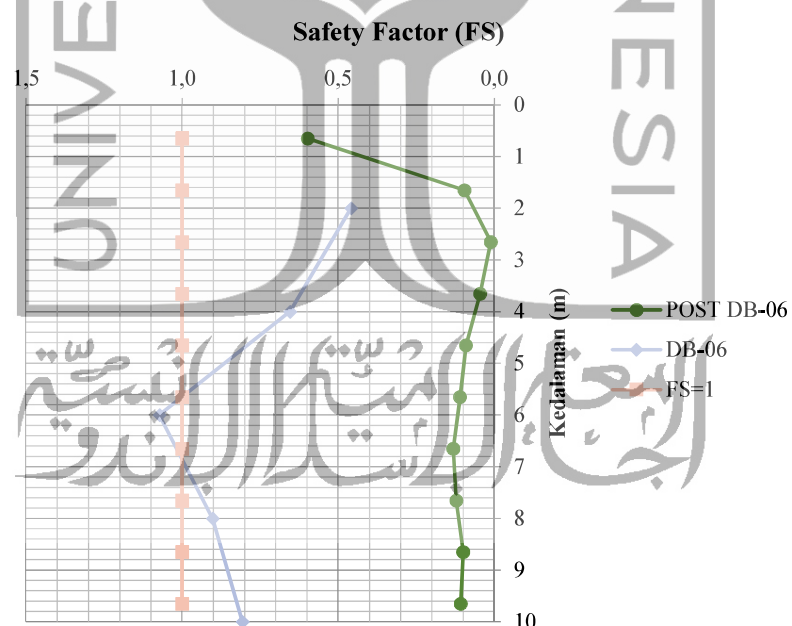
**Gambar 5.34** Grafik Rekapitulasi FS vs Kedalaman Berdasarkan Nilai SPT pada Tanah Asli dan Tanah Setelah Pemadatan DB-03



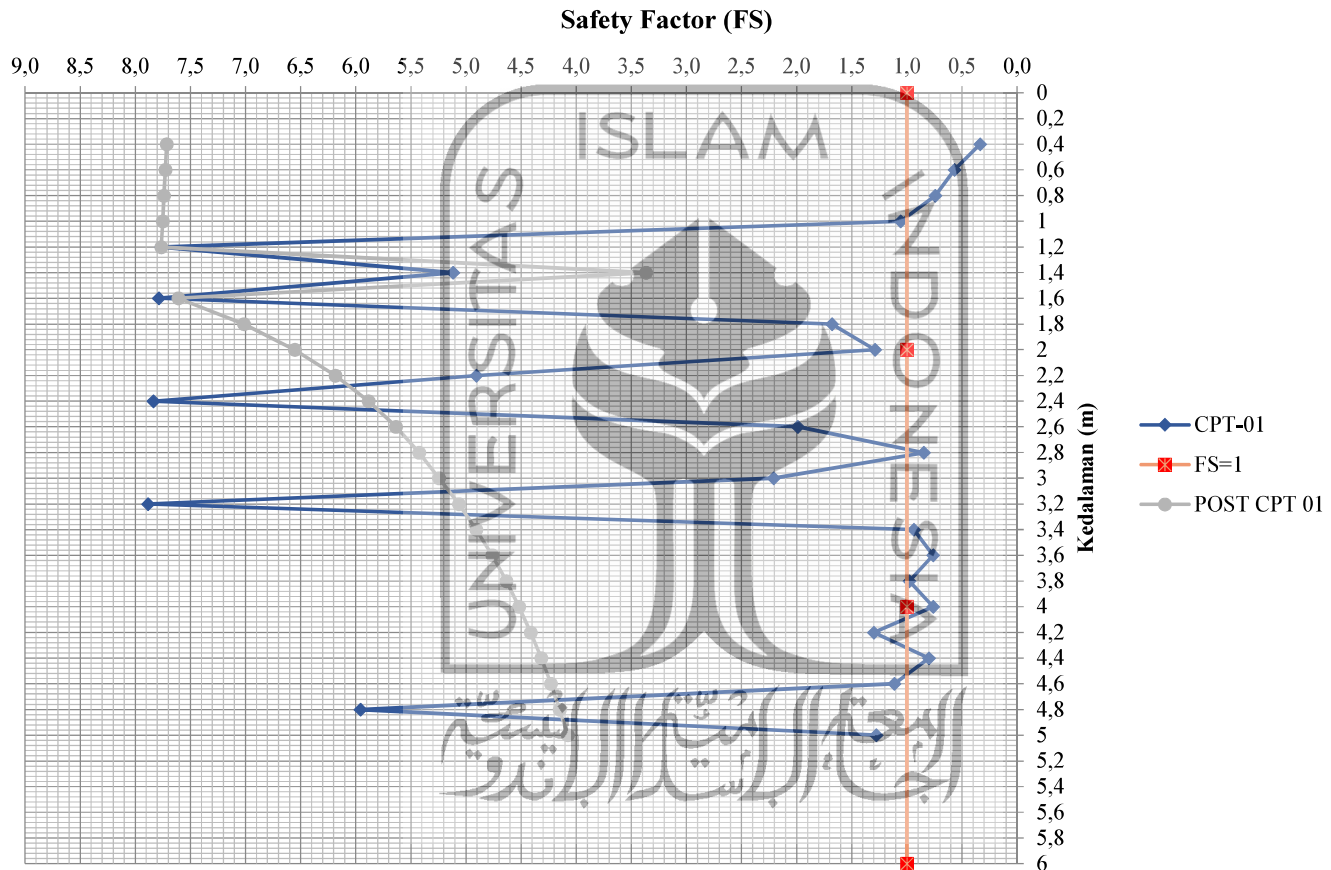
**Gambar 5.35** Grafik Rekapitulasi FS vs Kedalaman Berdasarkan Nilai SPT pada Tanah Asli dan Tanah Setelah Pemadatan DB-04



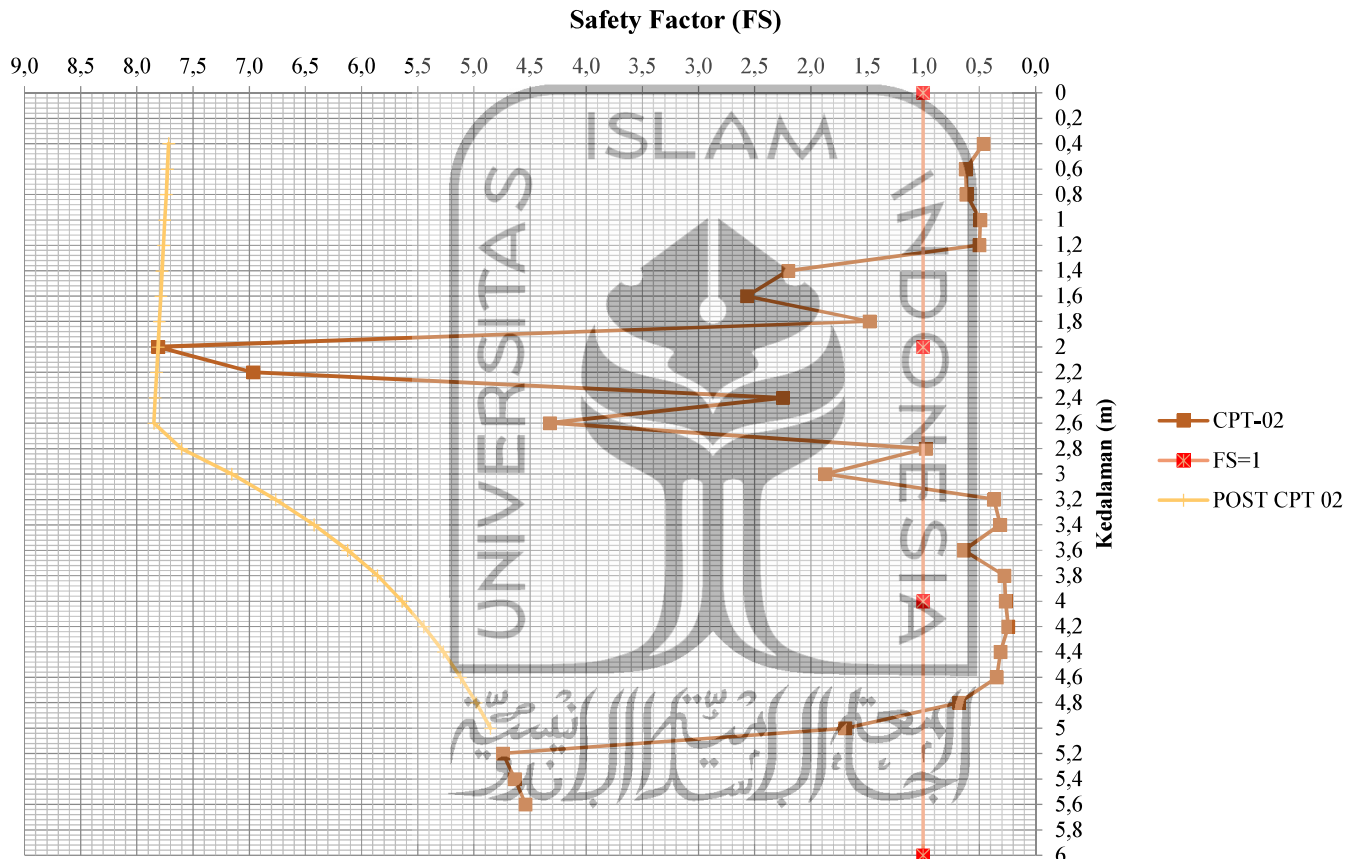
**Gambar 5.36 Grafik Rekapitulasi FS vs Kedalaman Berdasarkan Nilai SPT pada Tanah Asli dan Tanah Setelah Pemadatan DB-05**



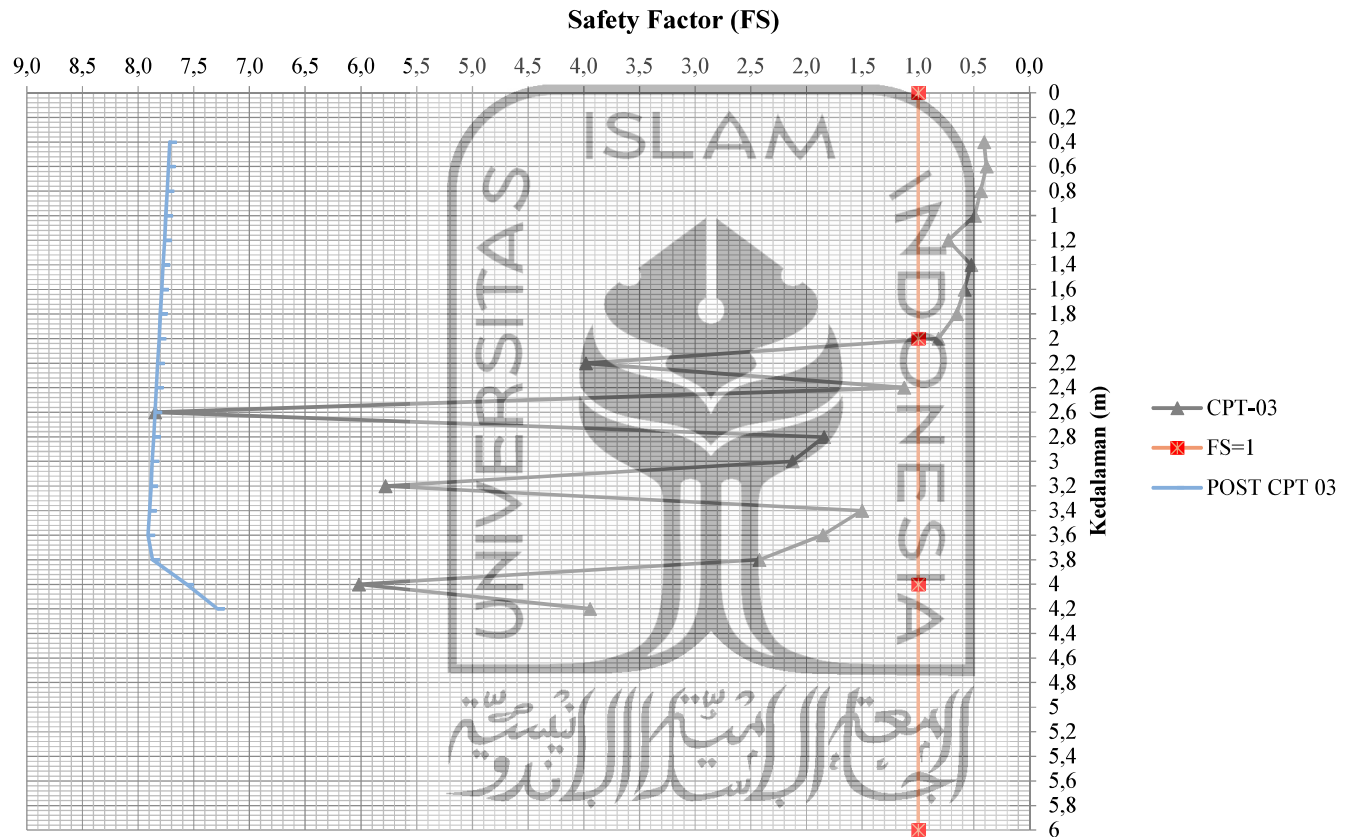
**Gambar 5.37 Grafik Rekapitulasi FS vs Kedalaman Berdasarkan Nilai SPT pada Tanah Asli dan Tanah Setelah Pemadatan DB-06**



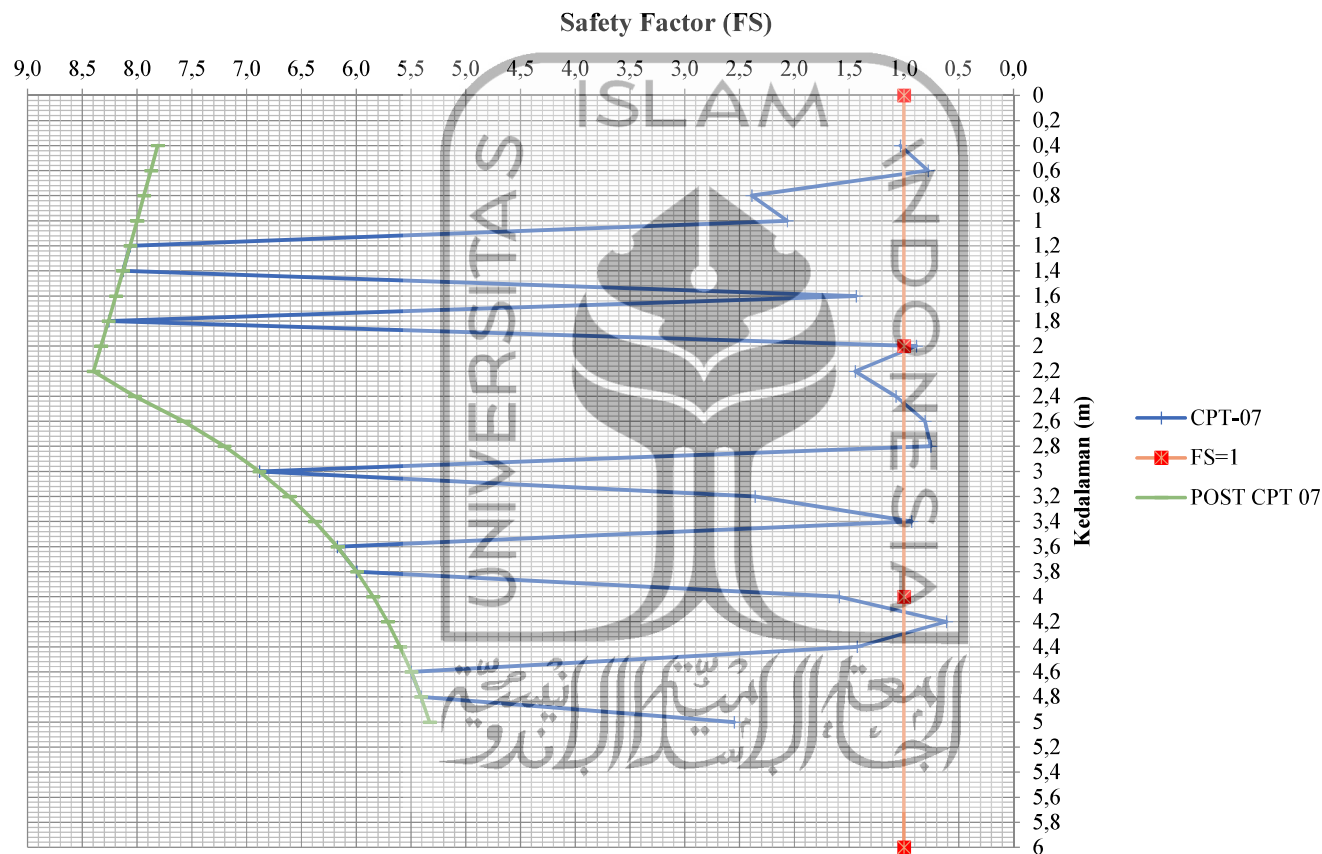
**Gambar 5.38 Grafik Rekapitulasi FS vs Kedalaman Berdasarkan Nilai CPT pada Tanah Asli dan Tanah Setelah Pemadatan CPT-01**



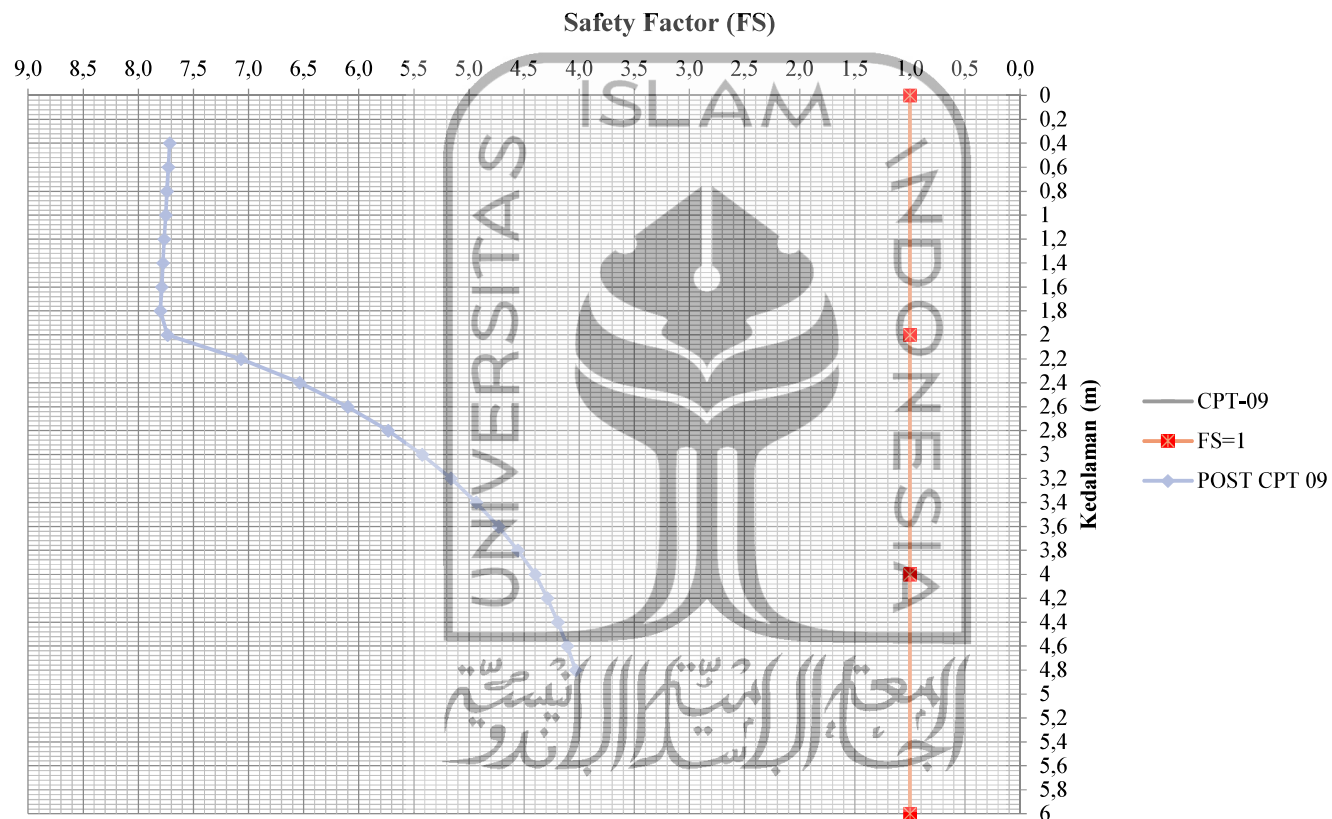
Gambar 5.39 Grafik Rekapitulasi FS vs Kedalaman Berdasarkan Nilai CPT pada Tanah Asli dan Tanah Setelah Pemadatan CPT-02



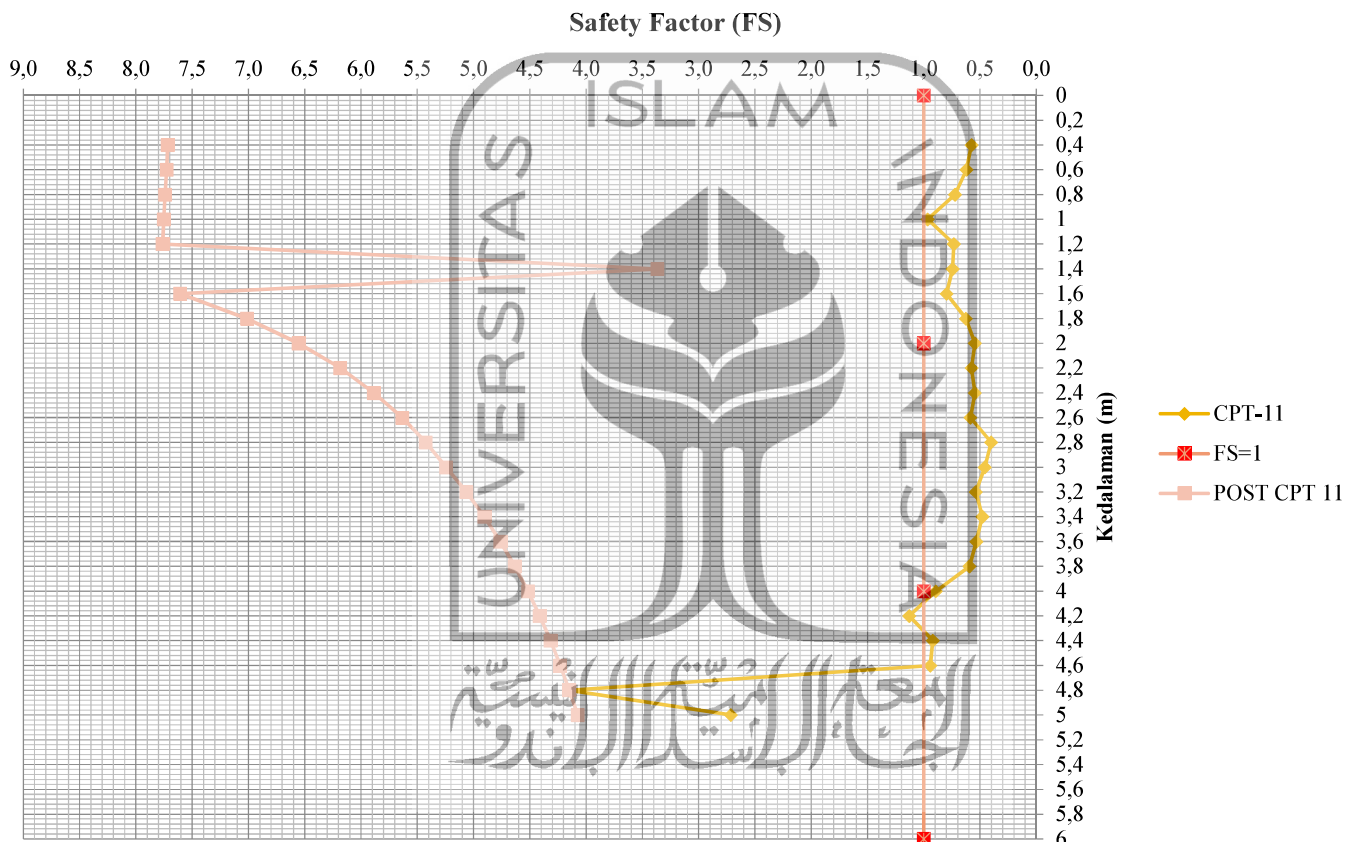
**Gambar 5.40 Grafik Rekapitulasi FS vs Kedalaman Berdasarkan Nilai CPT pada Tanah Asli dan Tanah Setelah Pemadatan CPT-03**



Gambar 5.41 Grafik Rekapitulasi FS vs Kedalaman Berdasarkan Nilai CPT pada Tanah Asli dan Tanah Setelah Pemadatan CPT-07



Gambar 5.42 Grafik Rekapitulasi FS vs Kedalaman Berdasarkan Nilai CPT pada Tanah Asli dan Tanah Setelah Pemadatan CPT-09



Gambar 5.43 Grafik Rekapitulasi FS vs Kedalaman Berdasarkan Nilai CPT pada Tanah Asli dan Tanah Setelah Pemadatan CPT-11